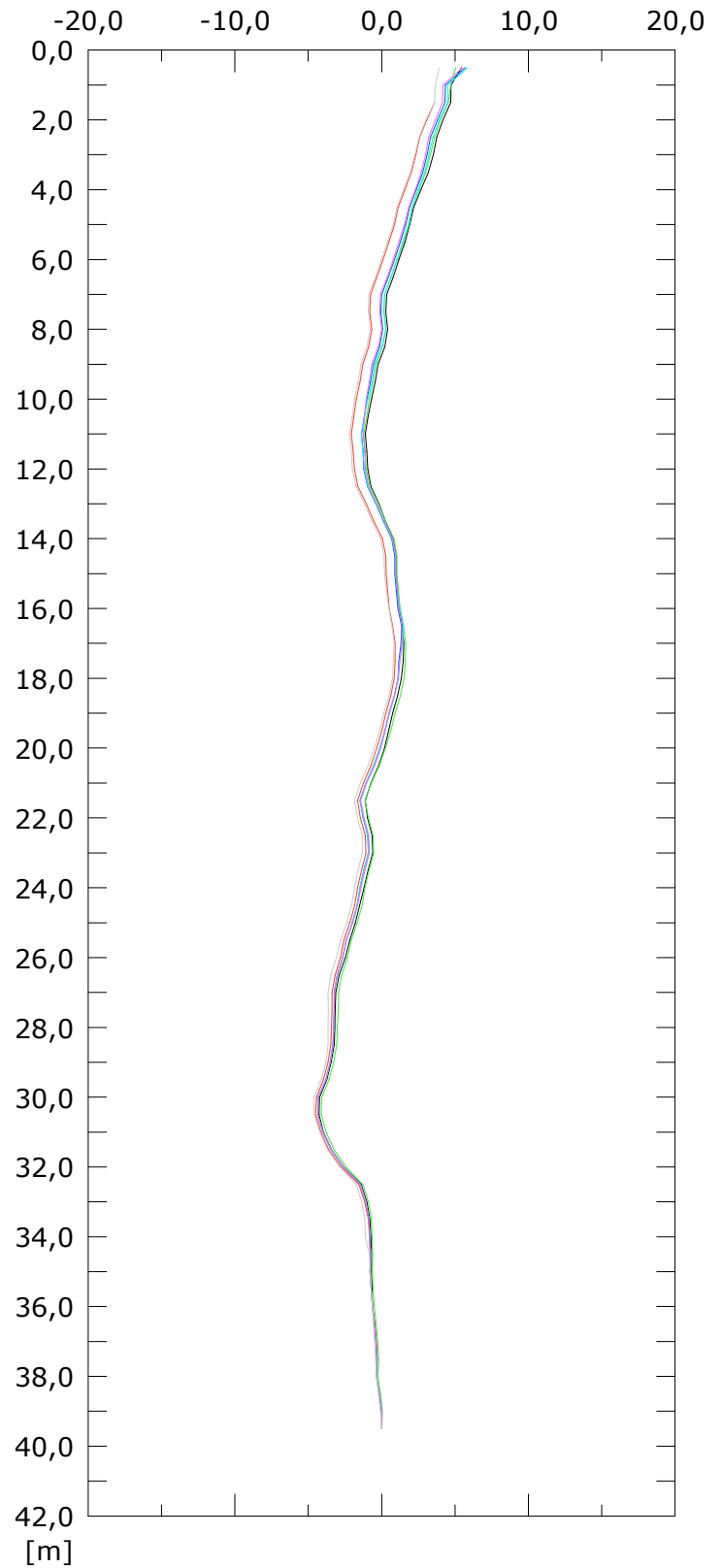
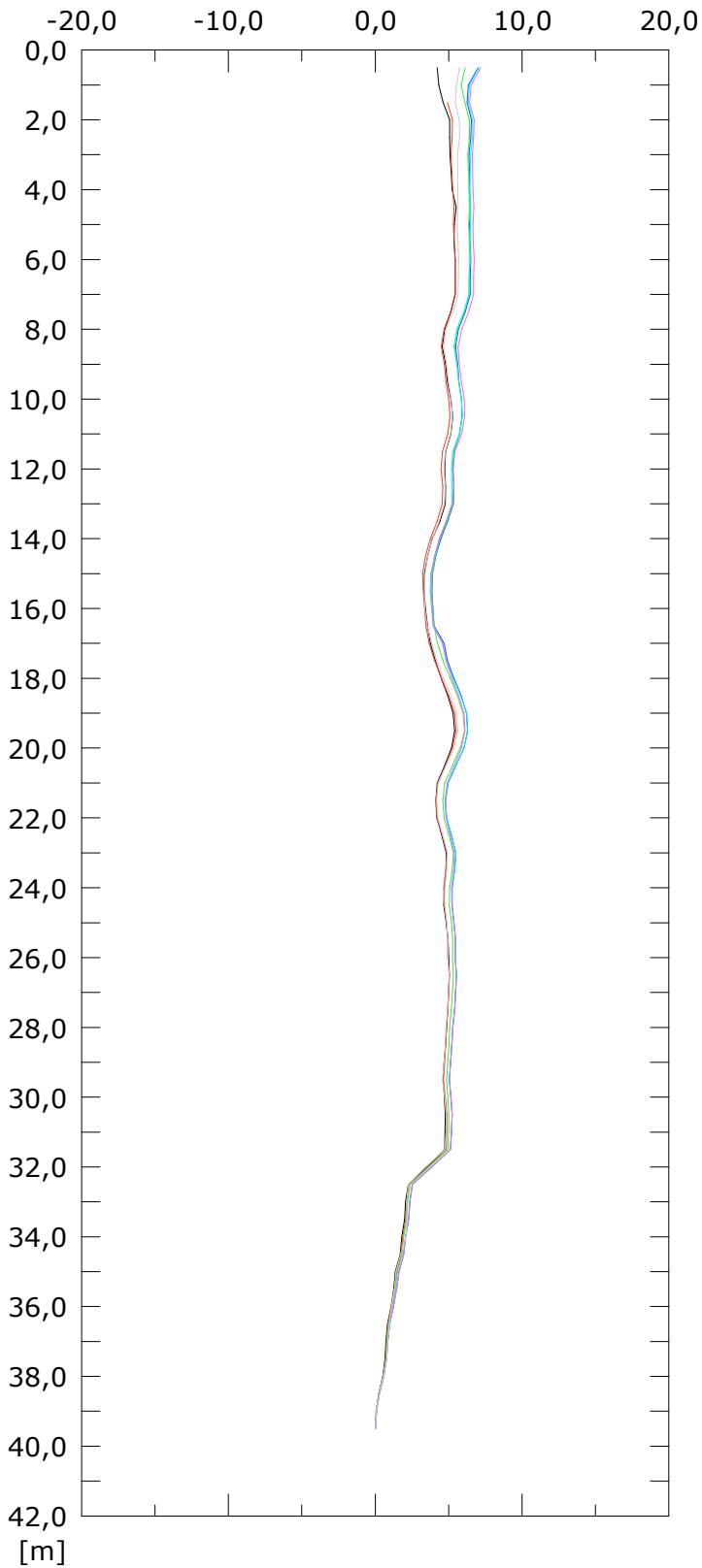


Elaborazione differenziale integrale dal basso

Riferimento 000:30/10/2017

Spost. EST [mm]

Spost. NORD [mm]



060:16/08/2019
063:06/09/2019
066:26/09/2019

061:23/08/2019
064:13/09/2019

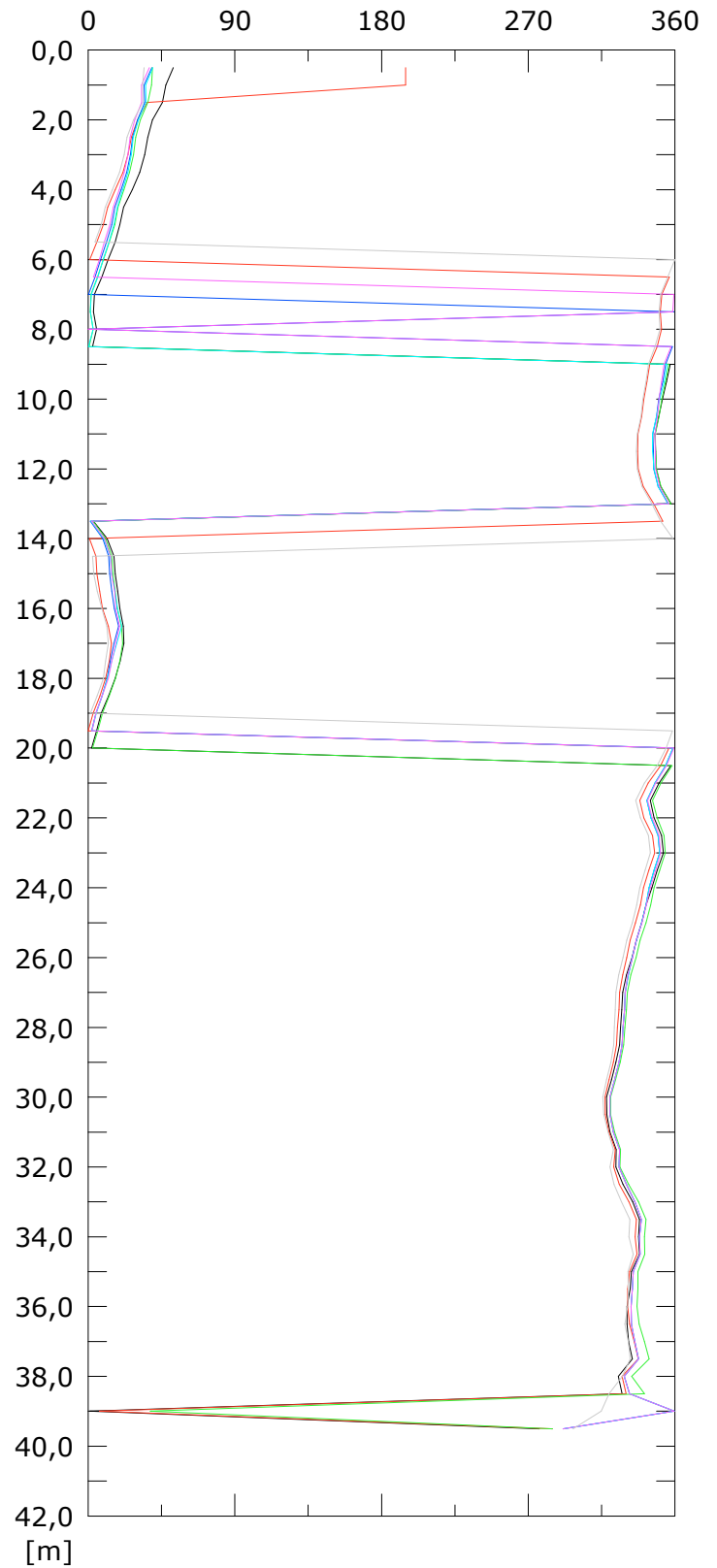
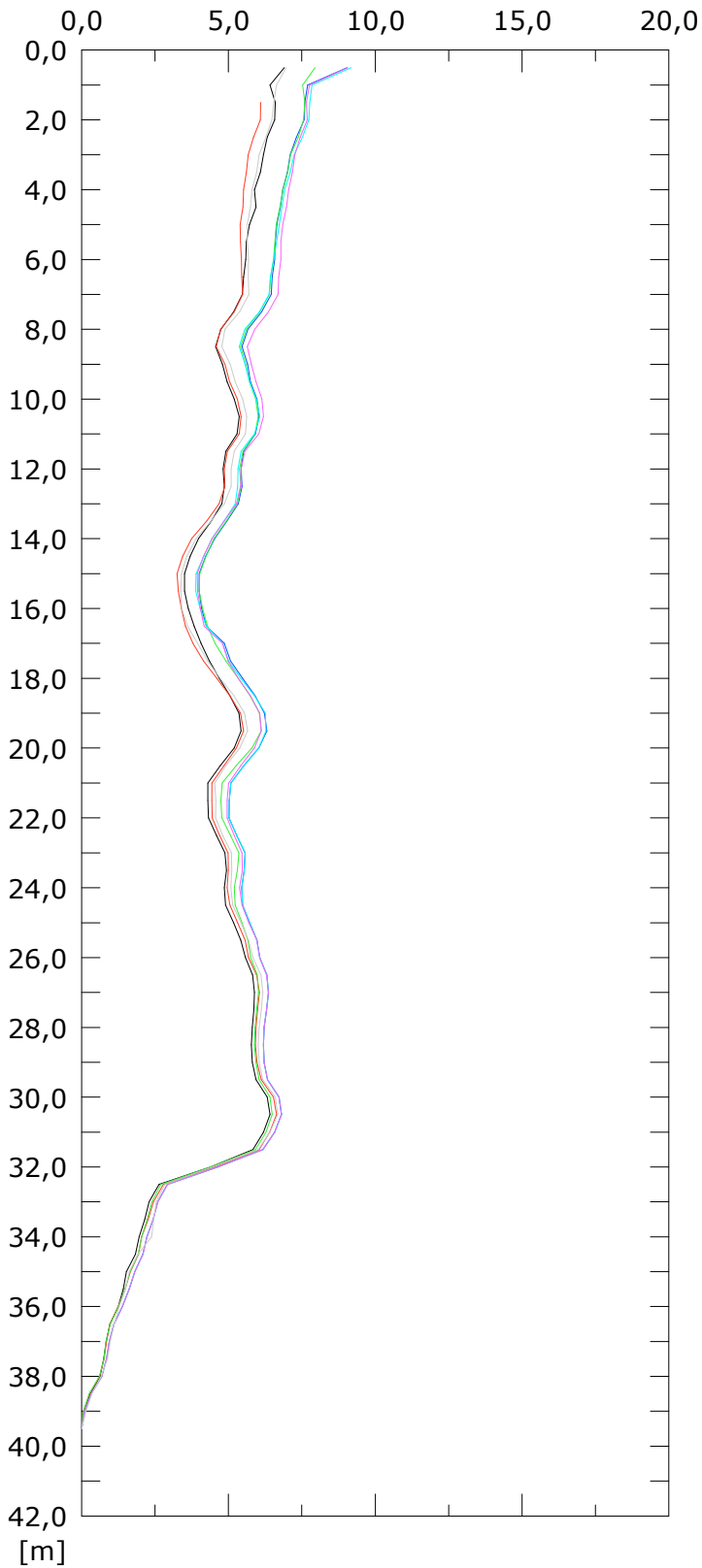
062:31/08/2019
065:20/09/2019

Elaborazione differenziale integrale dal basso

Riferimento 000:30/10/2017

Risultante spost. [mm]

Angolo [gradi]



060:16/08/2019
063:06/09/2019
066:26/09/2019

061:23/08/2019
064:13/09/2019

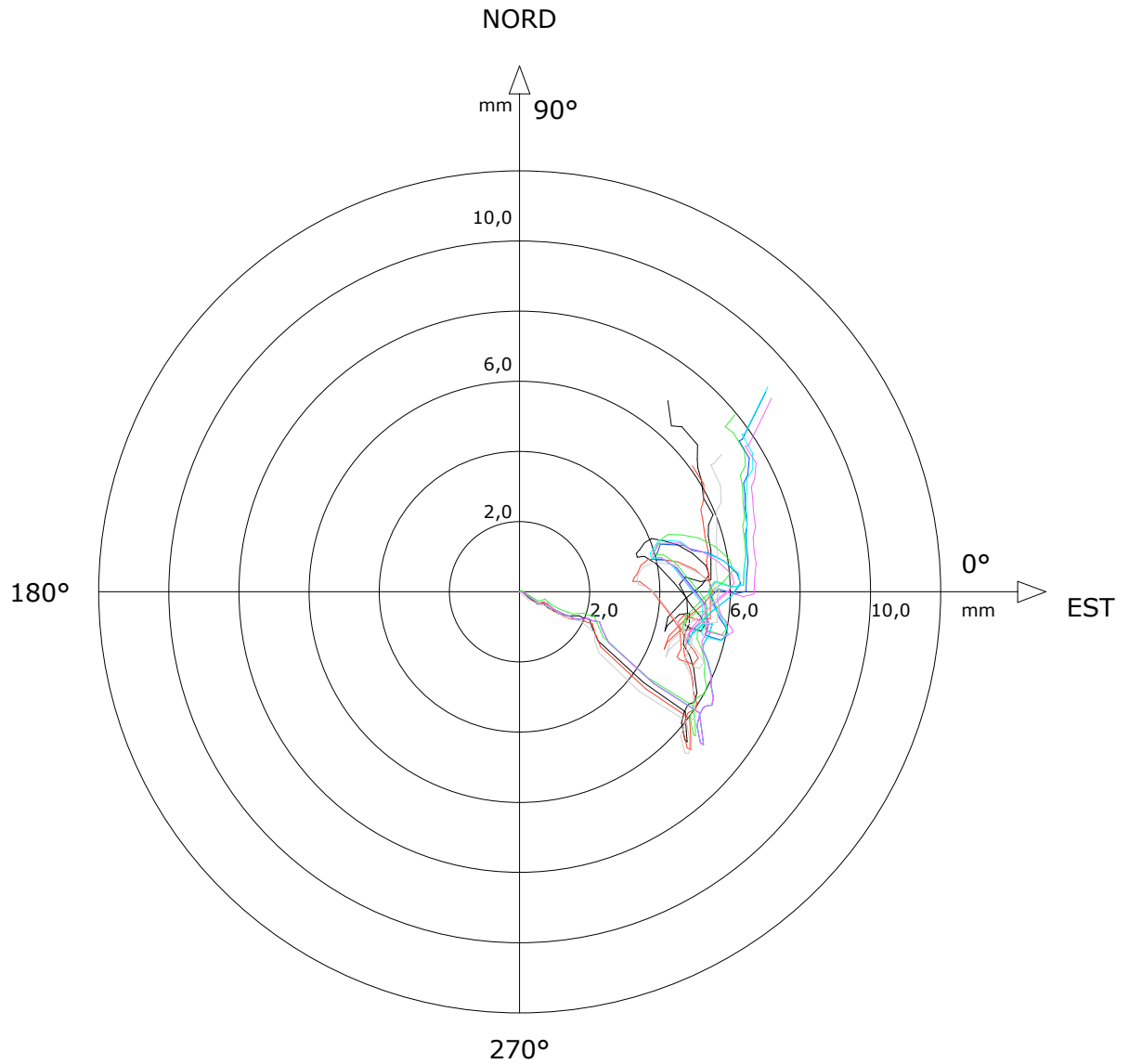
062:31/08/2019
065:20/09/2019

Sito: PMA-FS Tubo: SSI-SP02

Elaborazione differenziale integrale dal basso

Riferimento 000:30/10/2017

Diagramma polare della deviazione



— 060:16/08/2019

— 061:23/08/2019

— 062:31/08/2019

— 063:06/09/2019

— 064:13/09/2019

— 065:20/09/2019

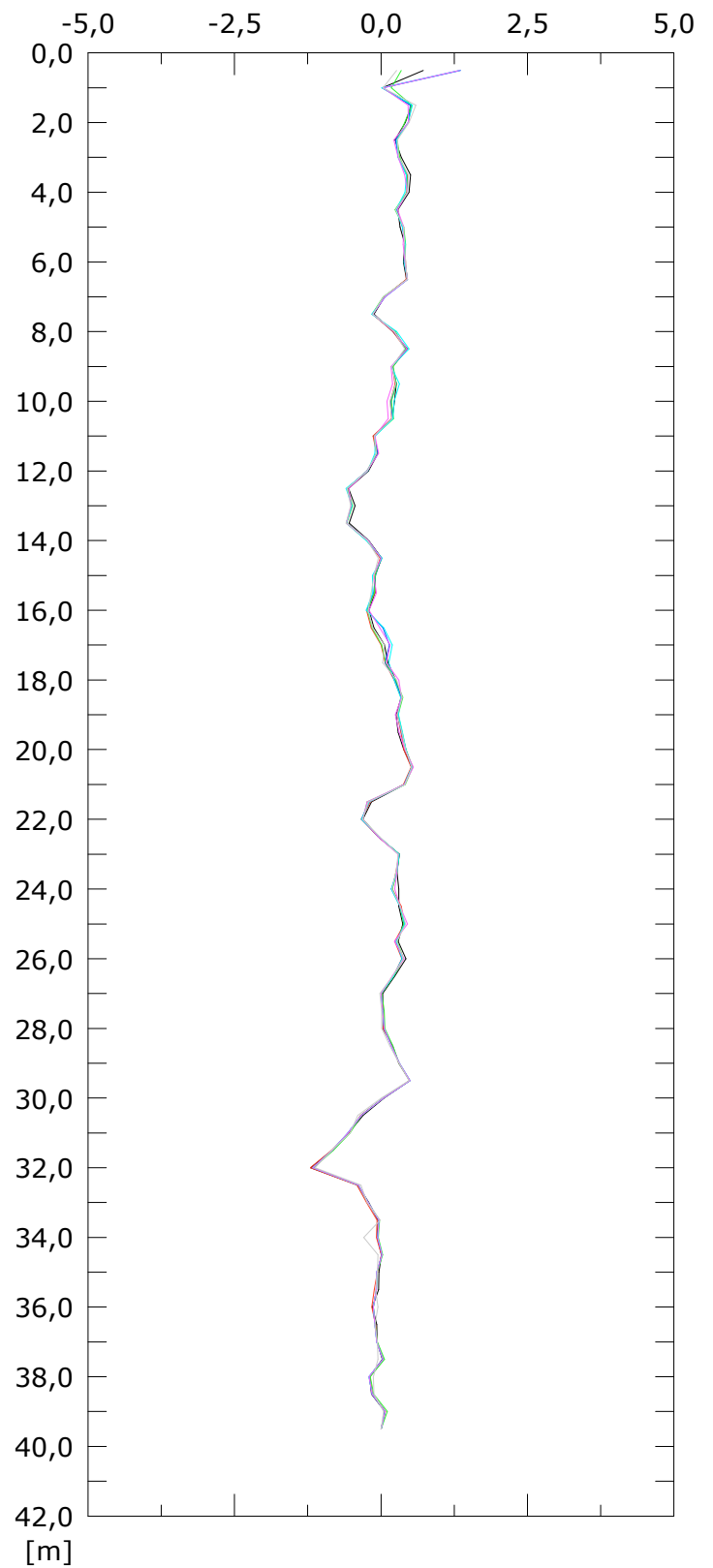
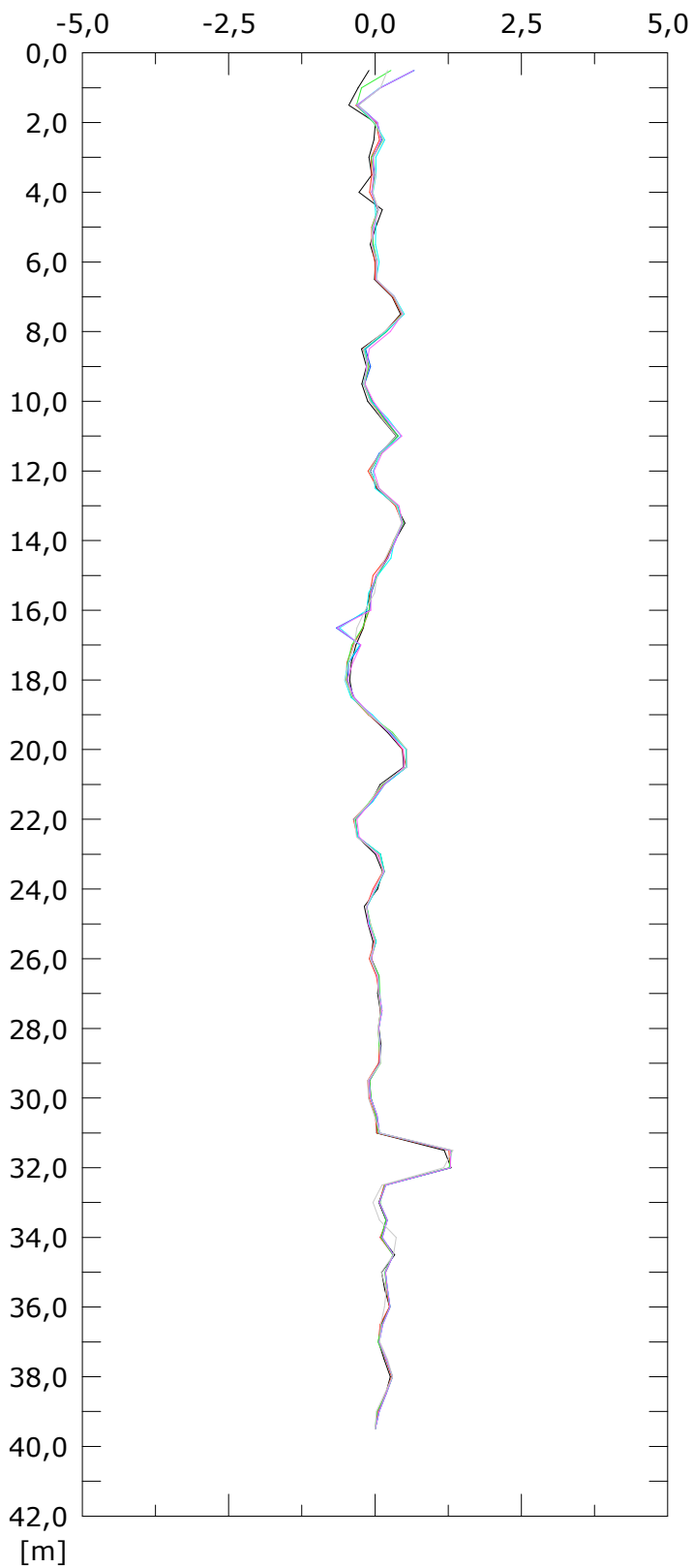
— 066:26/09/2019

Elaborazione differenziale locale dal basso

Riferimento 000:30/10/2017

Spost. EST [mm]

Spost. NORD [mm]



060:16/08/2019
063:06/09/2019
066:26/09/2019

061:23/08/2019
064:13/09/2019

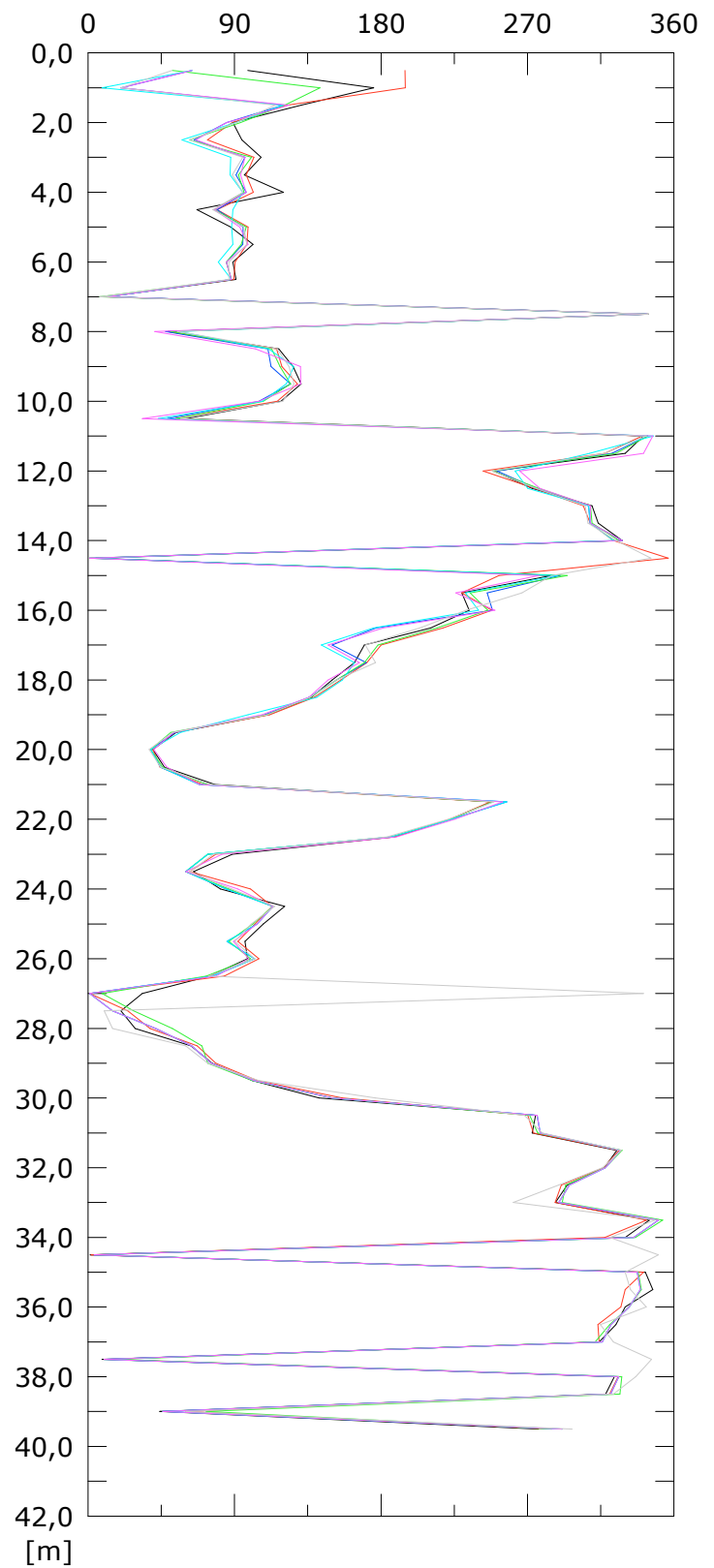
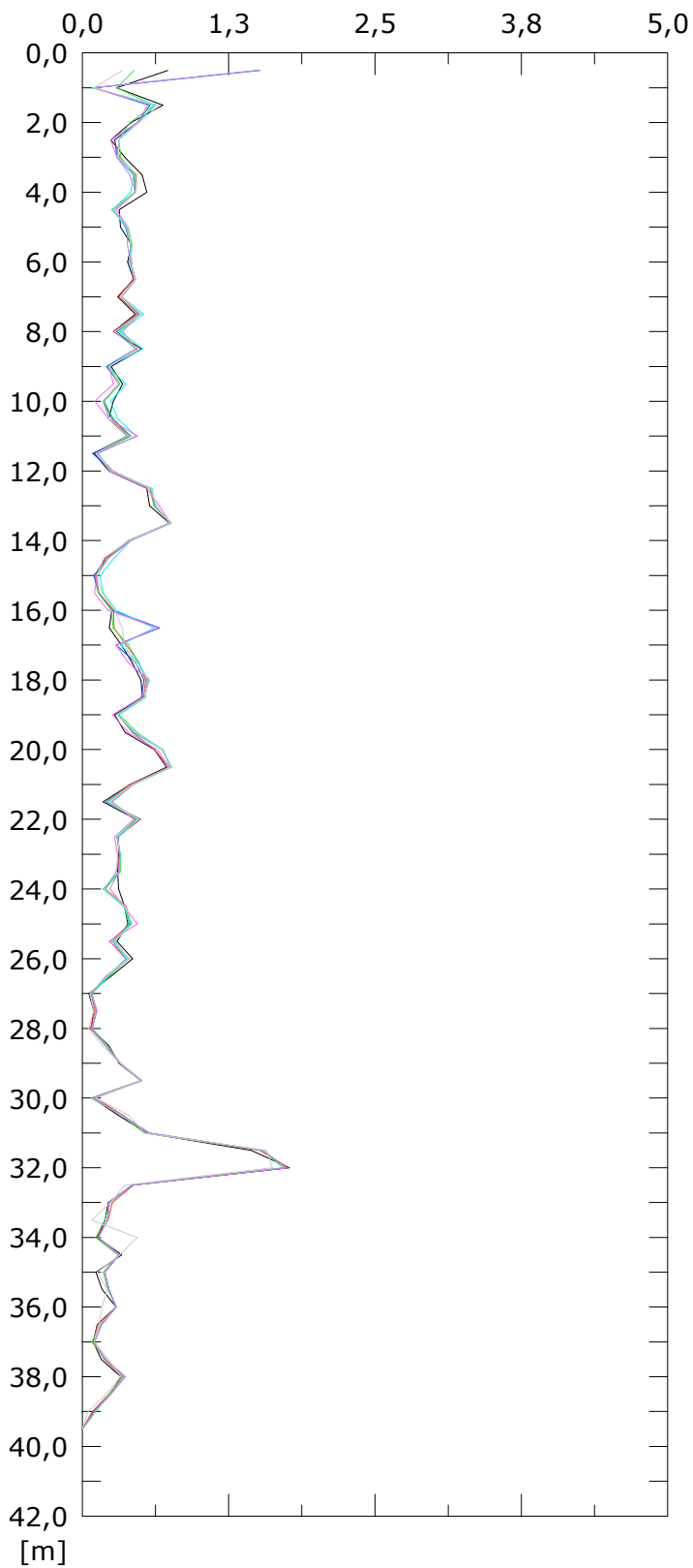
062:31/08/2019
065:20/09/2019

Elaborazione differenziale locale dal basso

Riferimento 000:30/10/2017

Risultante spost. [mm]

Angolo [gradi]



060:16/08/2019
063:06/09/2019
066:26/09/2019

061:23/08/2019
064:13/09/2019

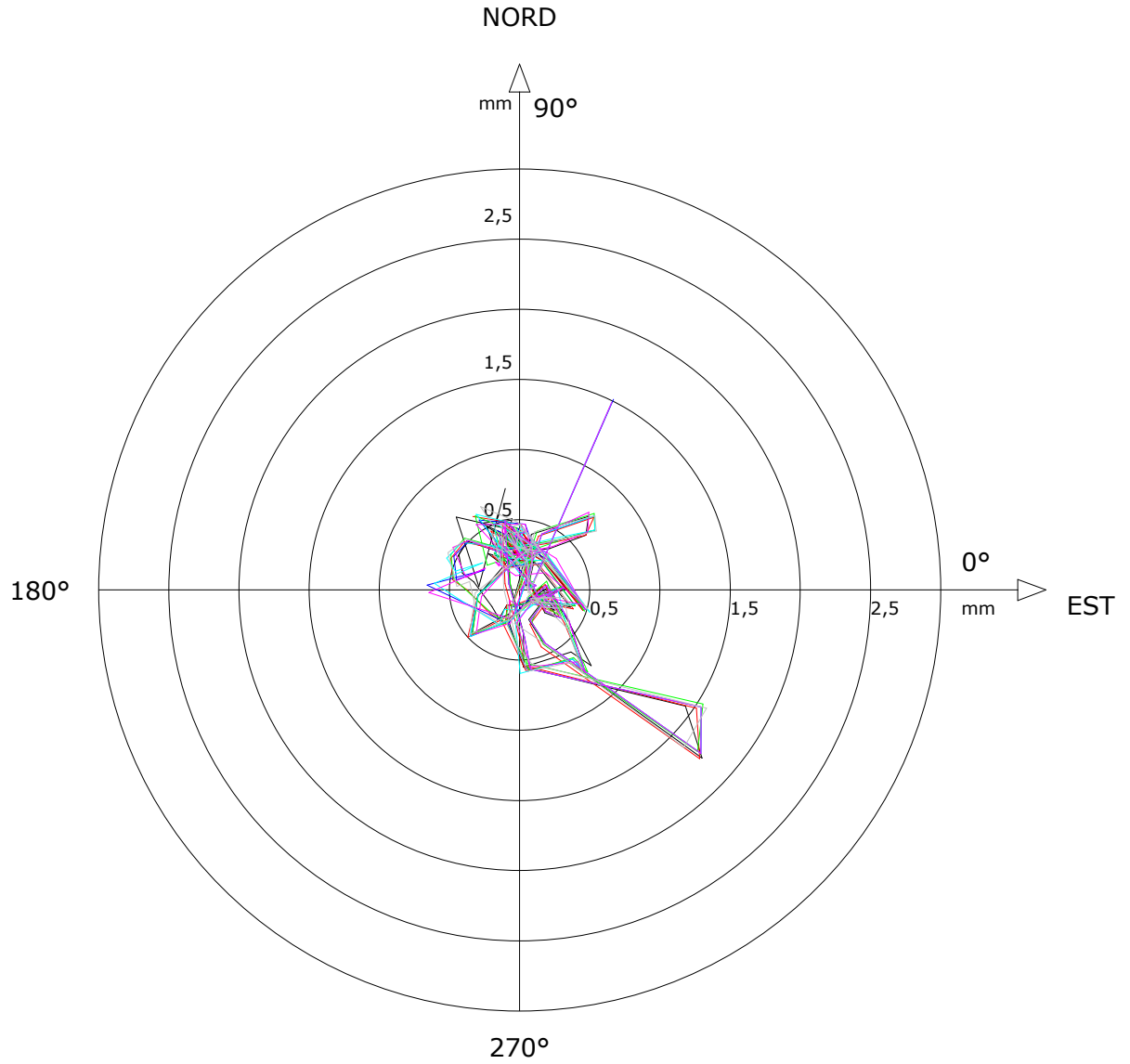
062:31/08/2019
065:20/09/2019

Sito: PMA-FS Tubo: SSI-SP02

Elaborazione differenziale locale dal basso

Riferimento 000:30/10/2017

Diagramma polare della deviazione



060:16/08/2019

061:23/08/2019

062:31/08/2019

063:06/09/2019

064:13/09/2019

065:20/09/2019

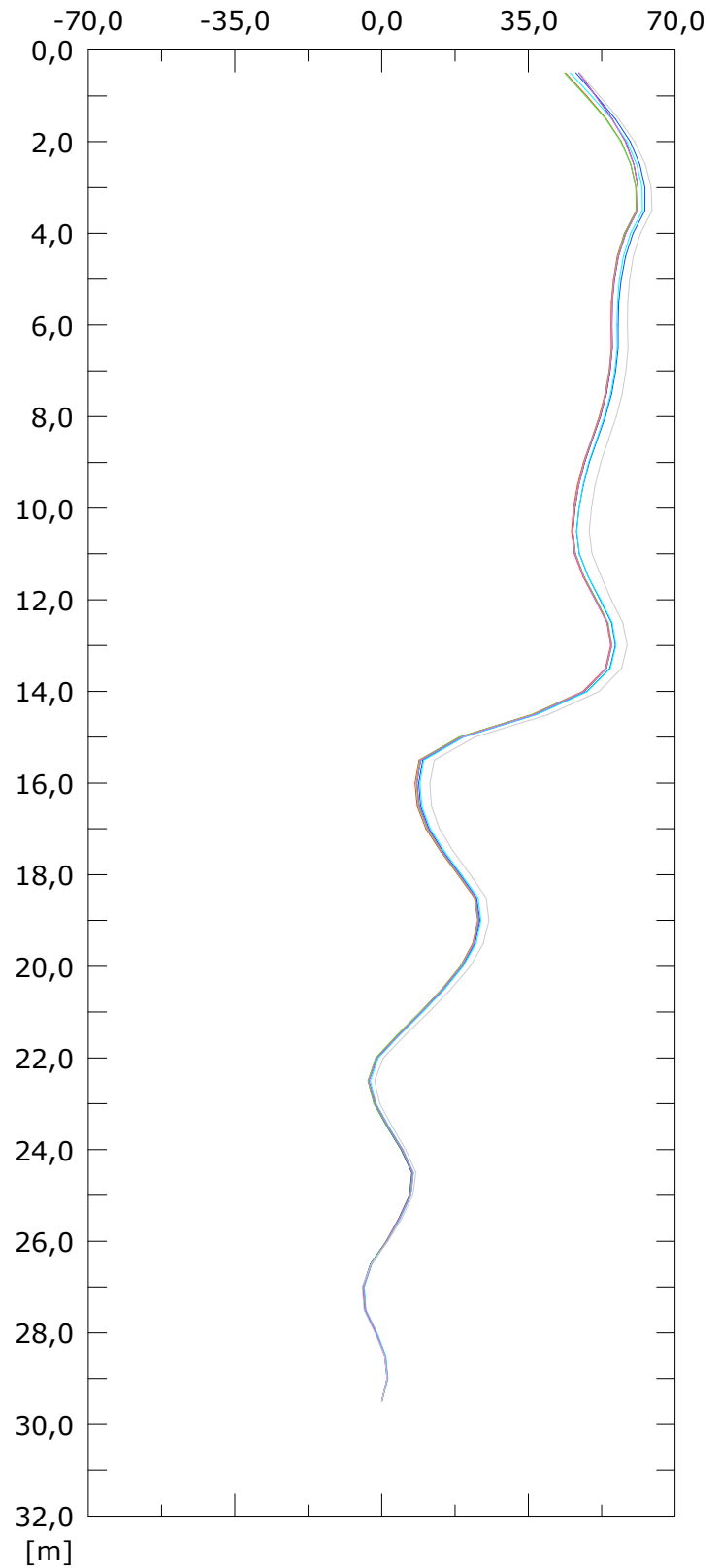
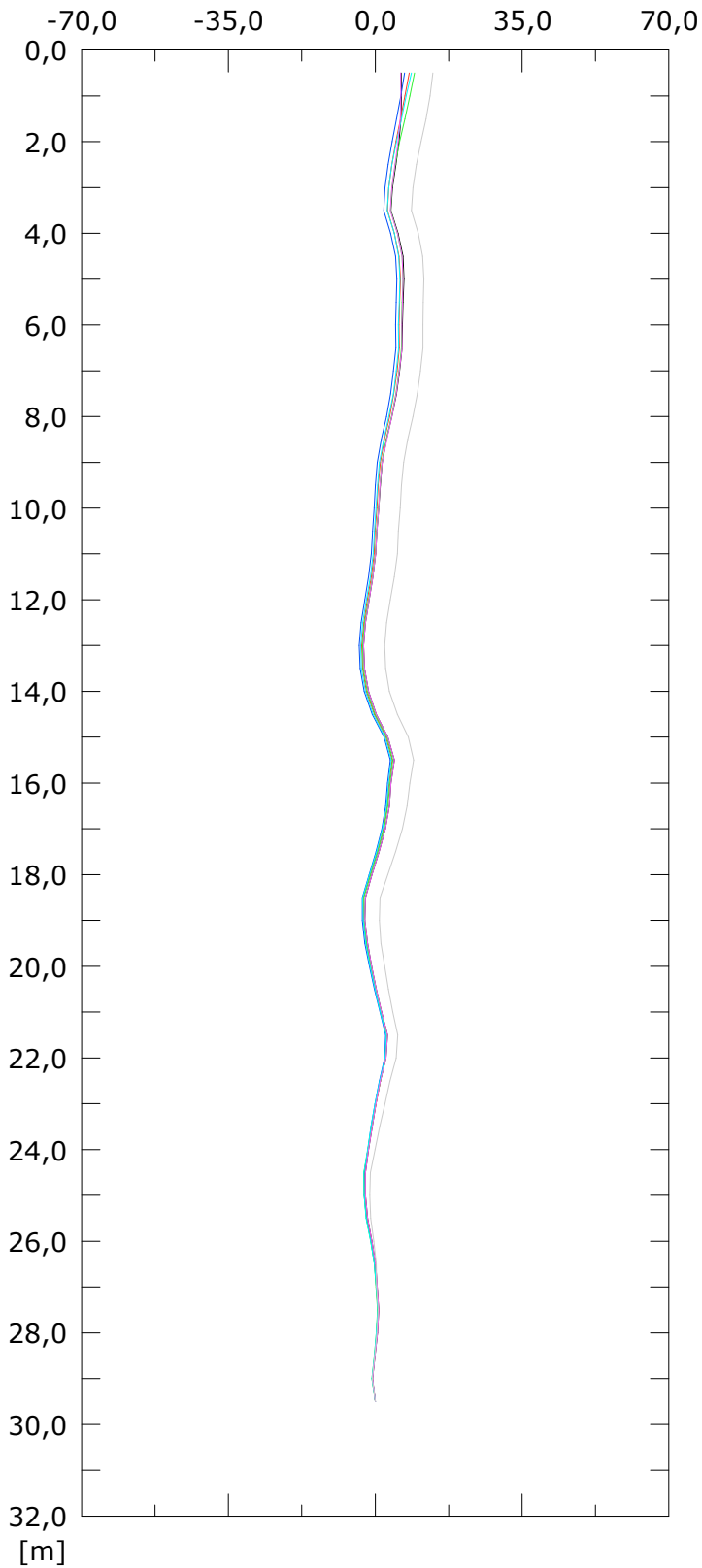
066:26/09/2019

Elaborazione differenziale integrale dal basso

Riferimento 000:30/10/2017

Spost. EST [mm]

Spost. NORD [mm]



115:16/08/2019

116:23/08/2019

117:31/08/2019

118:06/09/2019

119:13/09/2019

120:20/09/2019

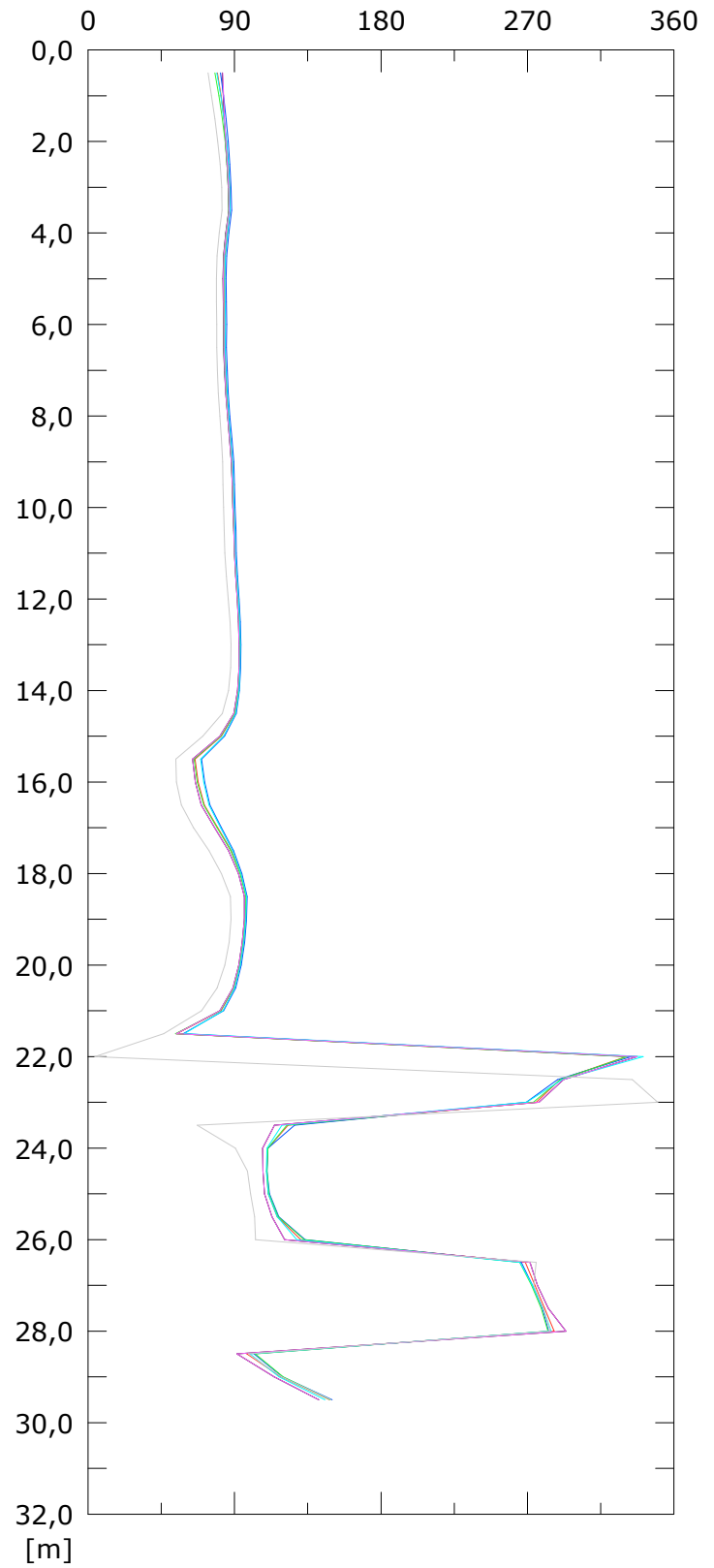
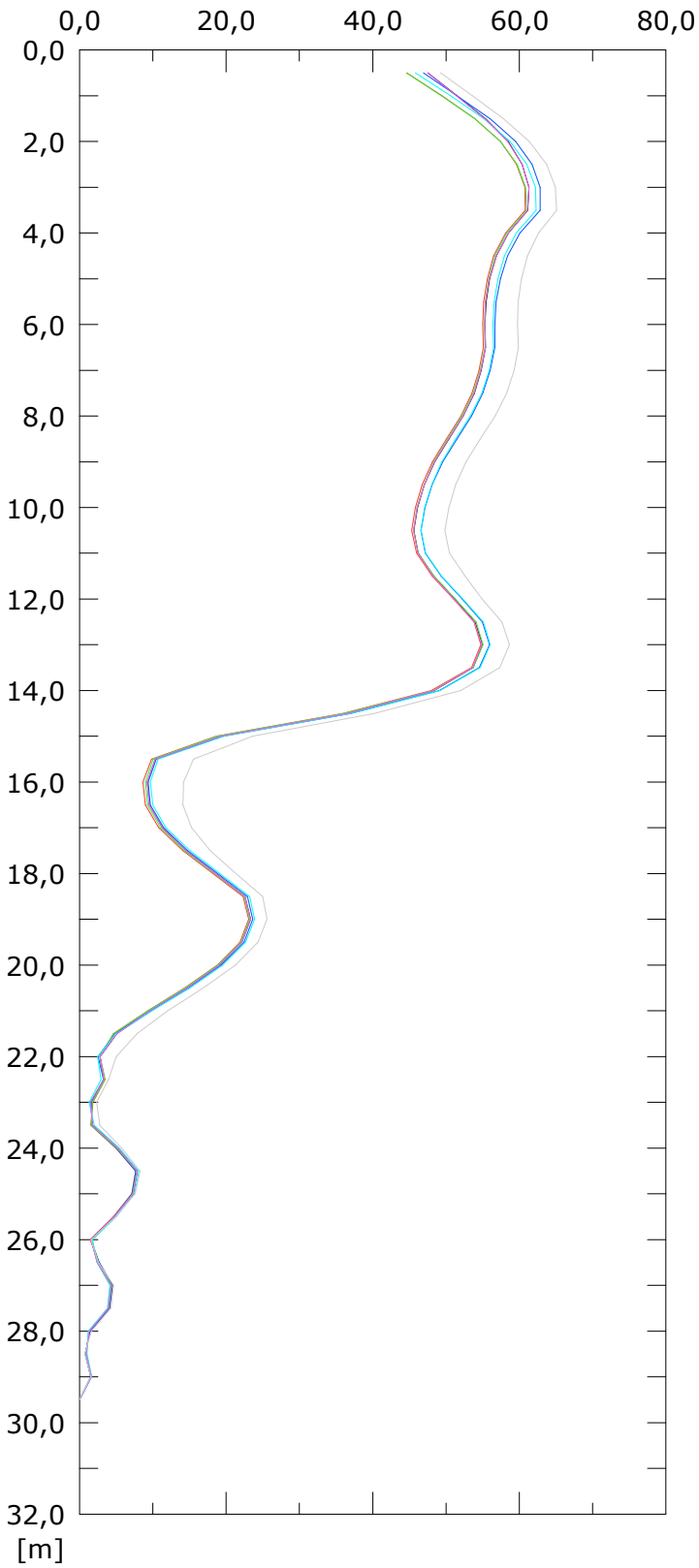
121:26/09/2019

Elaborazione differenziale integrale dal basso

Riferimento 000:30/10/2017

Risultante spost. [mm]

Angolo [gradi]



115:16/08/2019

116:23/08/2019

117:31/08/2019

118:06/09/2019

119:13/09/2019

120:20/09/2019

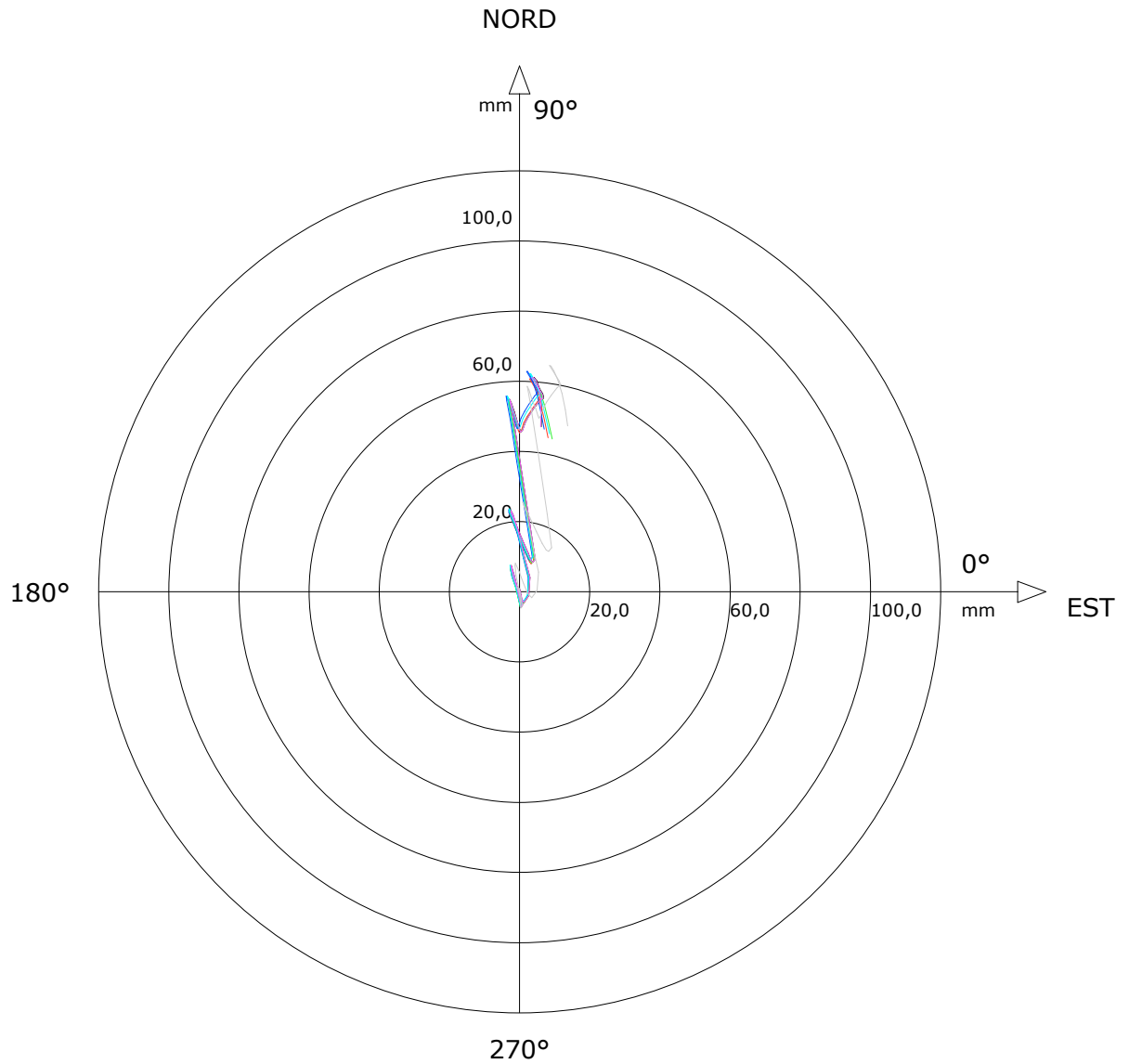
121:26/09/2019

Sito: PMA-FS Tubo: SSI-SP03

Elaborazione differenziale integrale dal basso

Riferimento 000:30/10/2017

Diagramma polare della deviazione



— 115:16/08/2019

— 116:23/08/2019

— 117:31/08/2019

— 118:06/09/2019

— 119:13/09/2019

— 120:20/09/2019

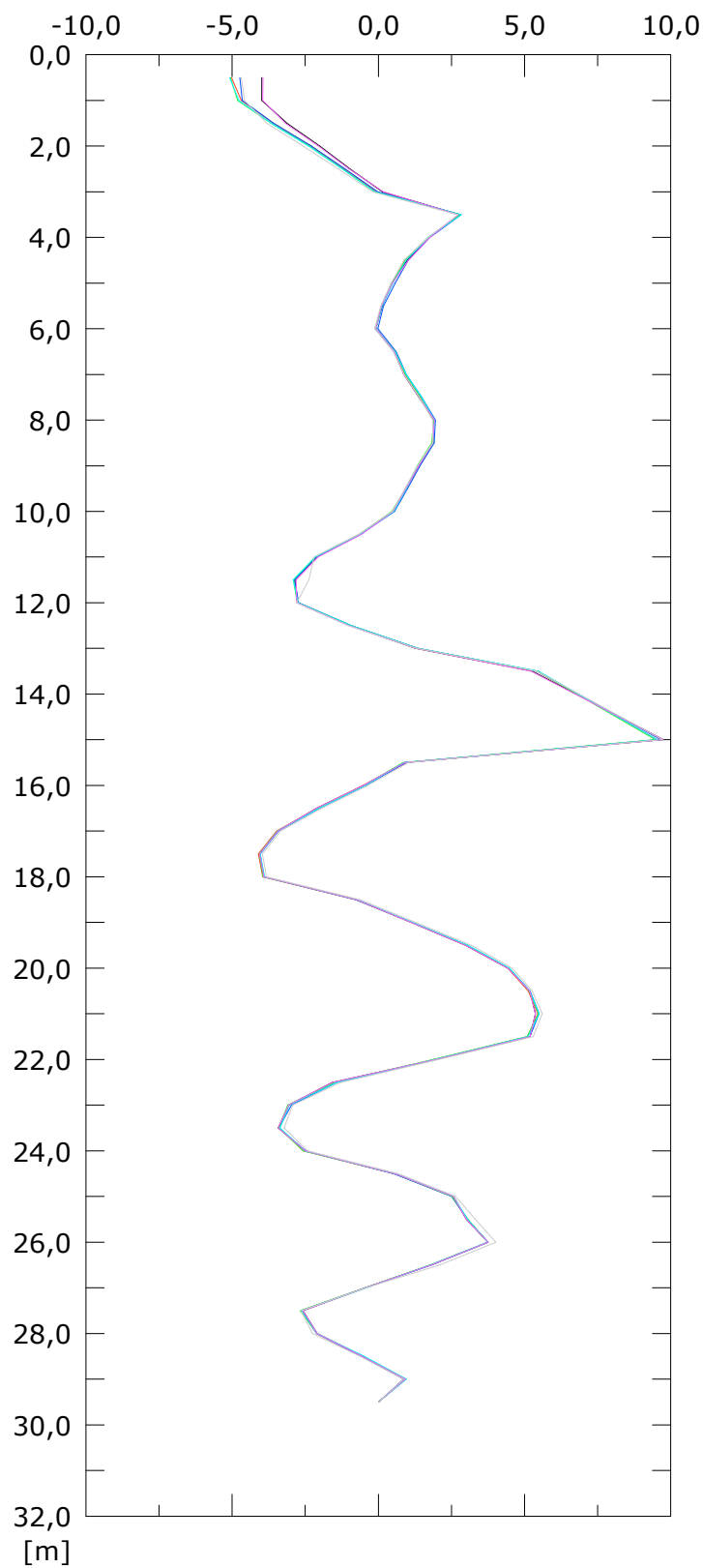
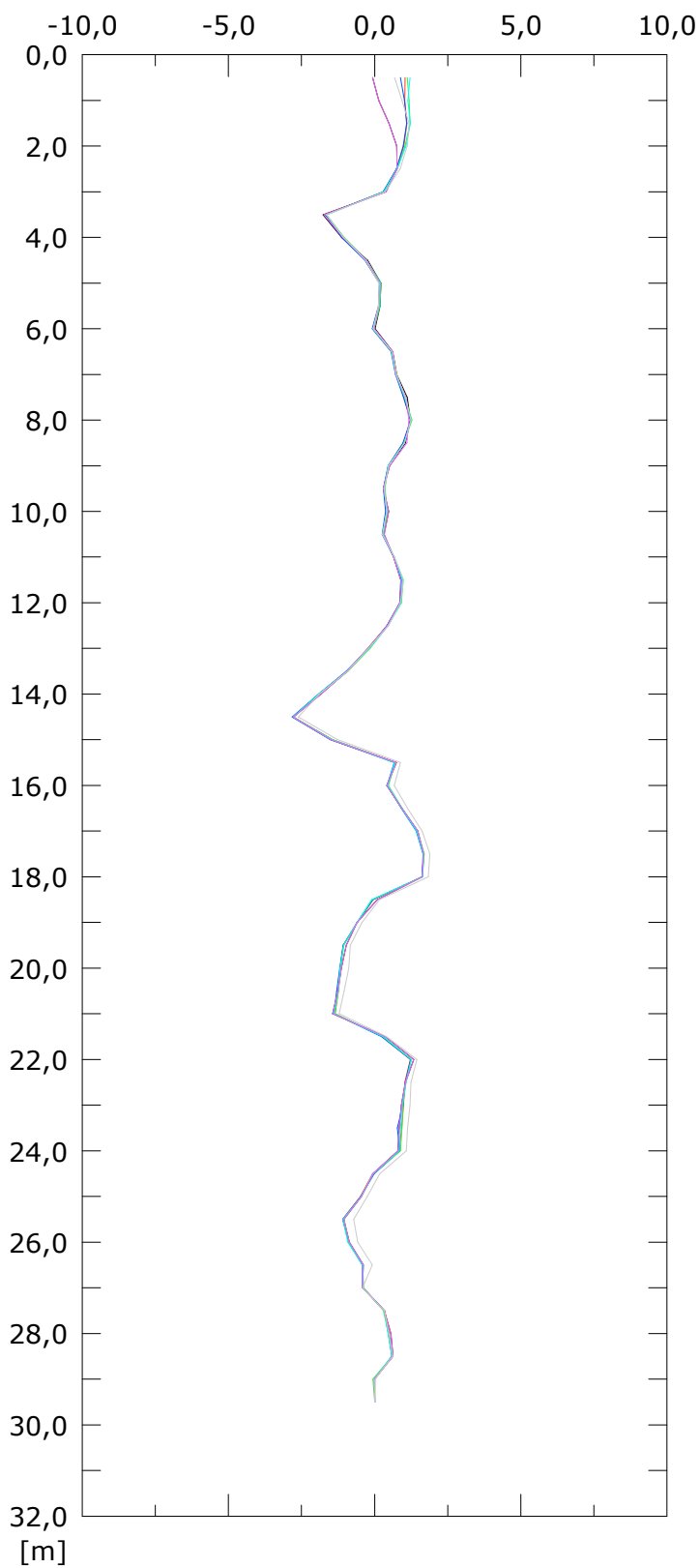
— 121:26/09/2019

Elaborazione differenziale locale dal basso

Riferimento 000:30/10/2017

Spost. EST [mm]

Spost. NORD [mm]



115:16/08/2019

116:23/08/2019

117:31/08/2019

118:06/09/2019

119:13/09/2019

120:20/09/2019

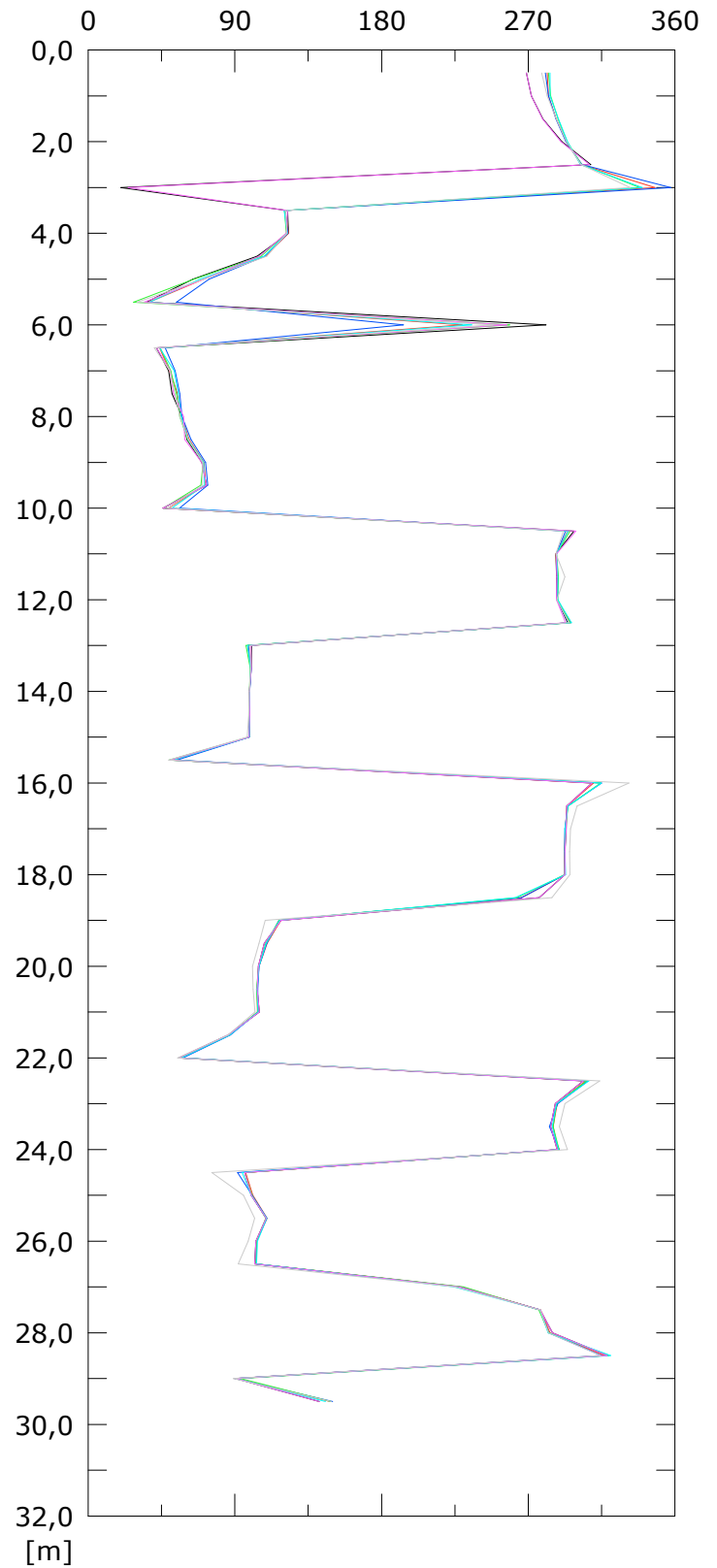
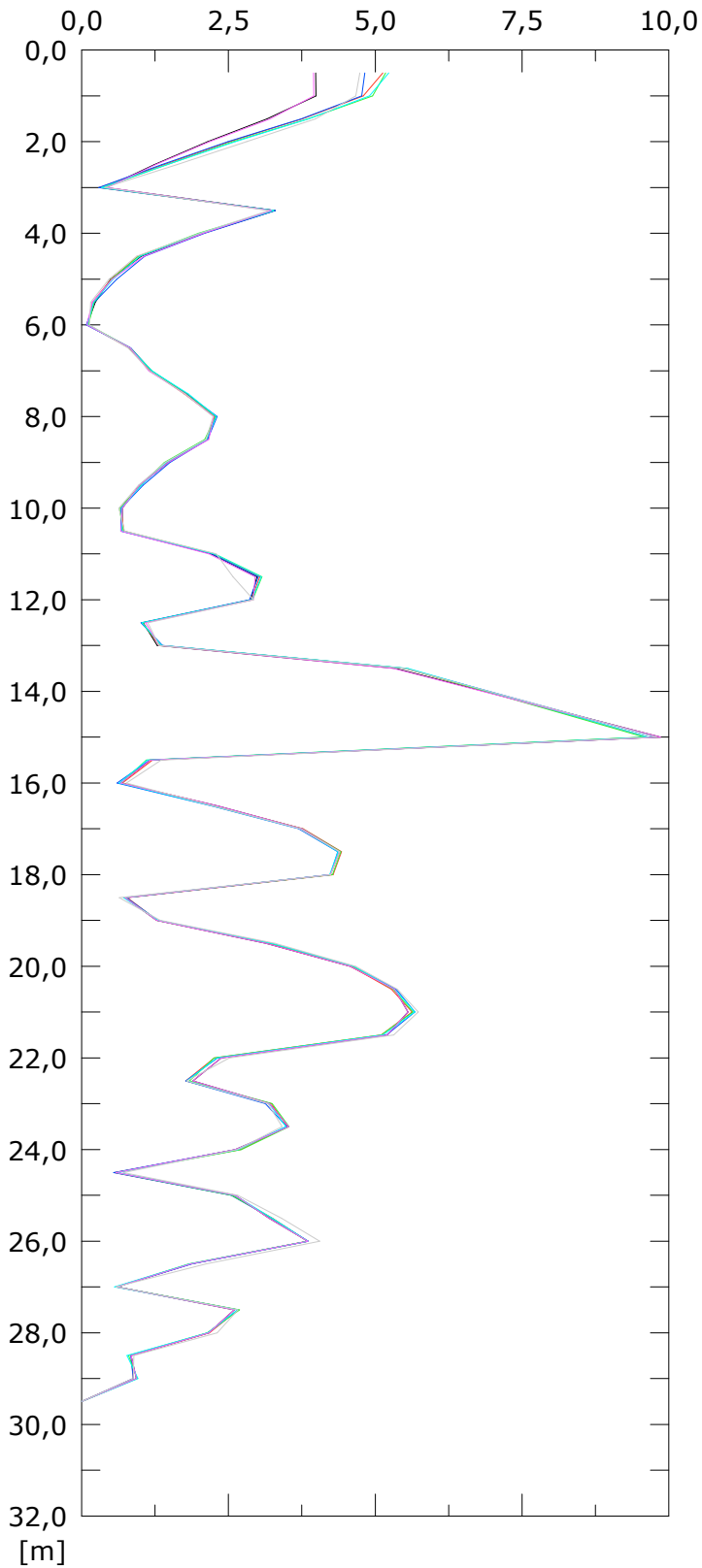
121:26/09/2019

Elaborazione differenziale locale dal basso

Riferimento 000:30/10/2017

Risultante spost. [mm]

Angolo [gradi]



115:16/08/2019

116:23/08/2019

117:31/08/2019

118:06/09/2019

119:13/09/2019

120:20/09/2019

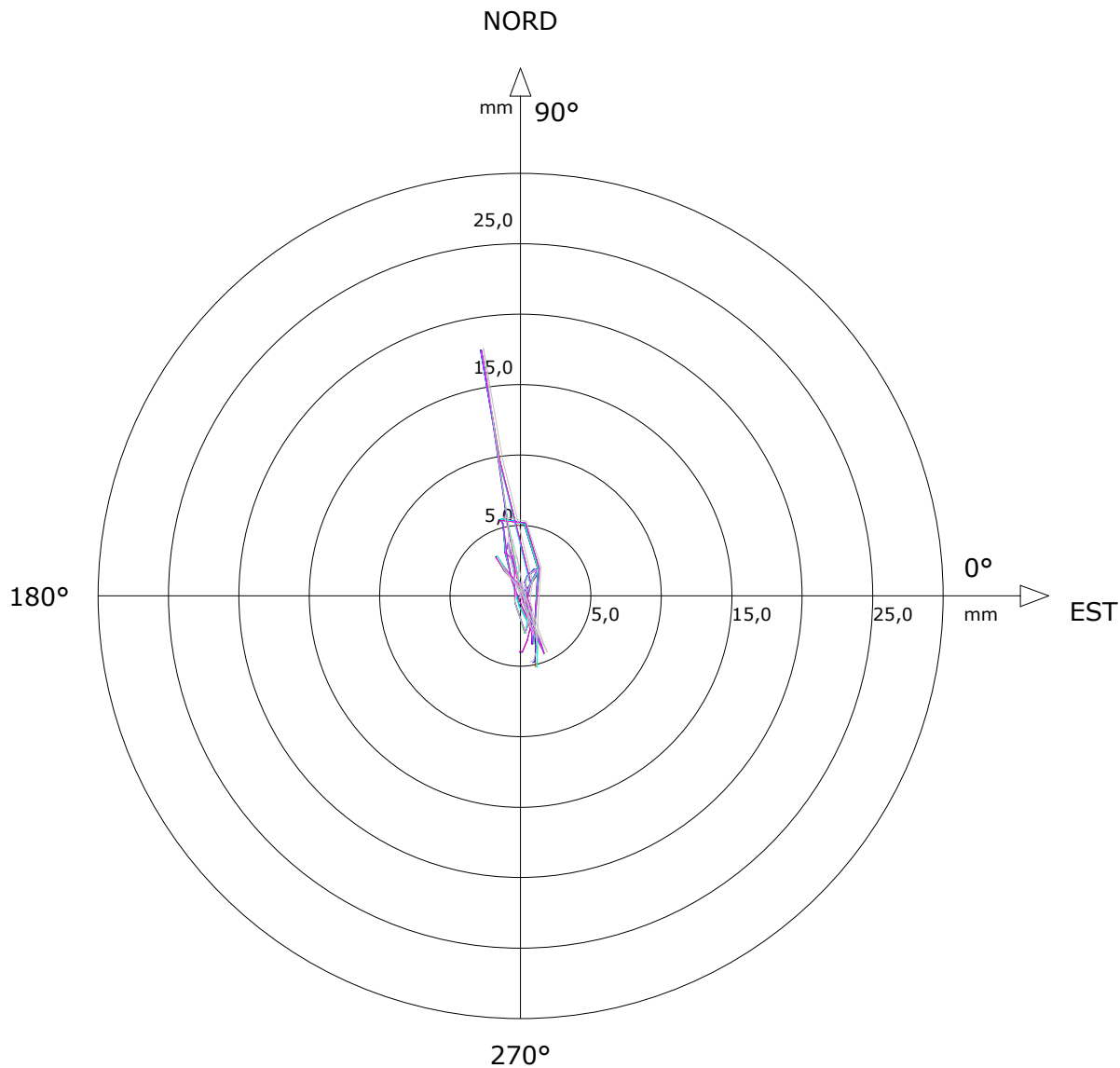
121:26/09/2019

Sito: PMA-FS Tubo: SSI-SP03

Elaborazione differenziale locale dal basso

Riferimento 000:30/10/2017

Diagramma polare della deviazione



— 115:16/08/2019

— 116:23/08/2019

— 117:31/08/2019

— 118:06/09/2019

— 119:13/09/2019

— 120:20/09/2019

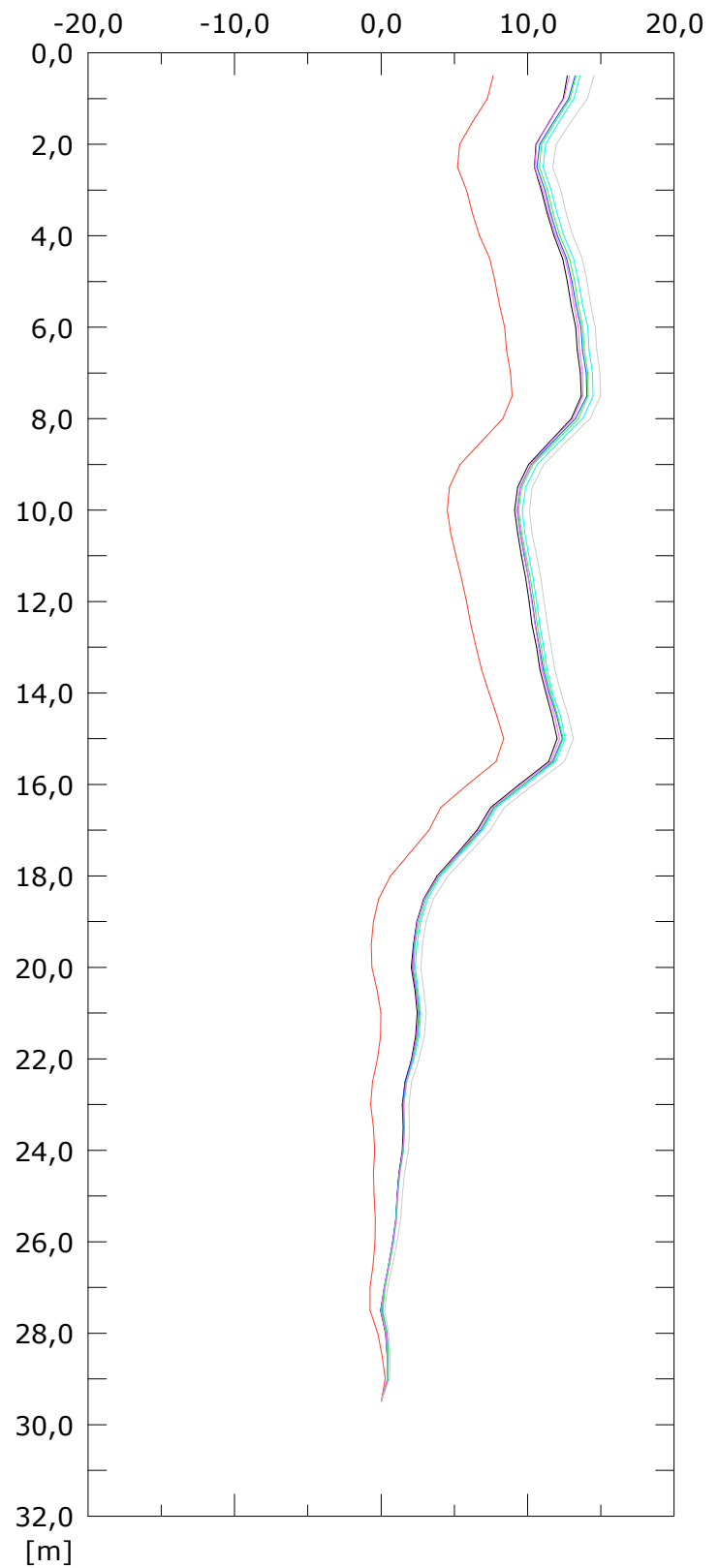
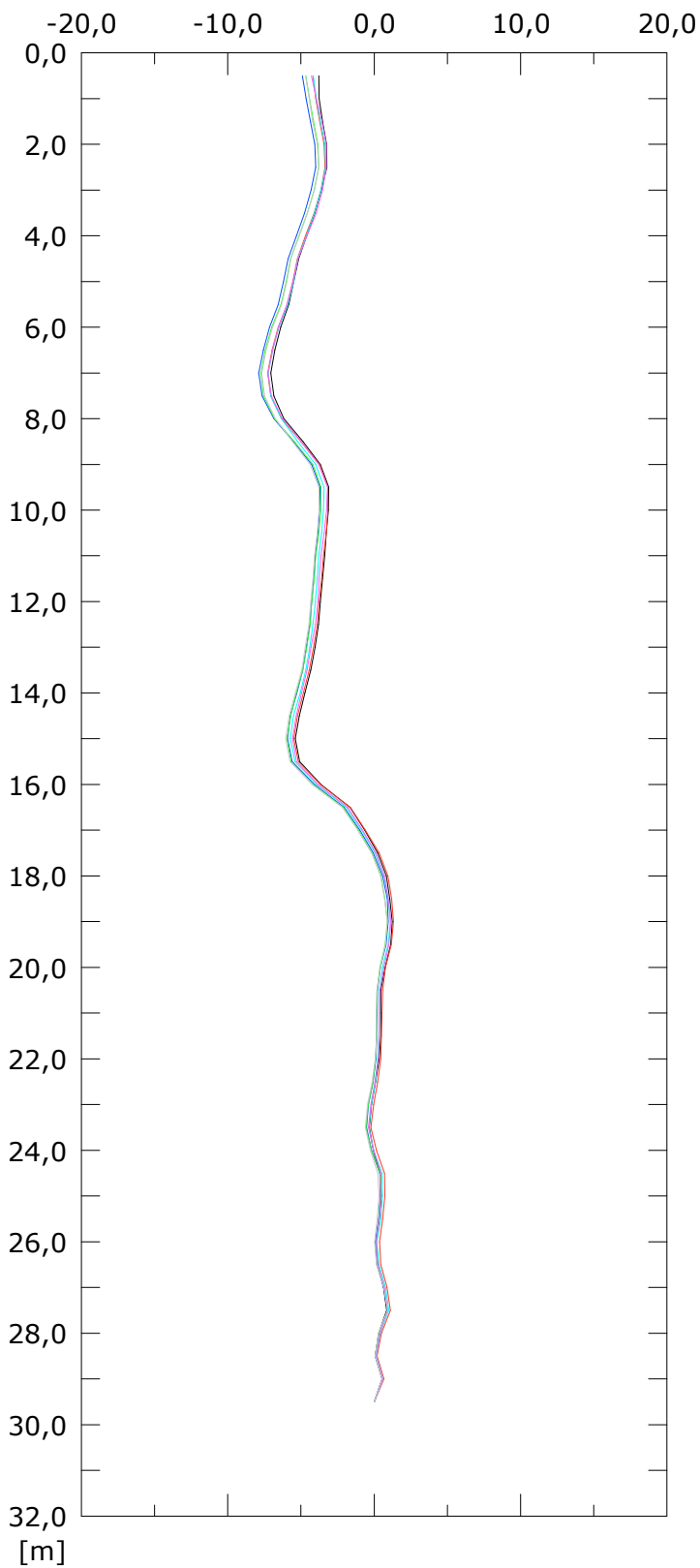
— 121:26/09/2019

Elaborazione differenziale integrale dal basso

Riferimento 000:30/10/2017

Spost. EST [mm]

Spost. NORD [mm]



115:16/08/2019
118:06/09/2019
121:26/09/2019

116:23/08/2019
119:13/09/2019

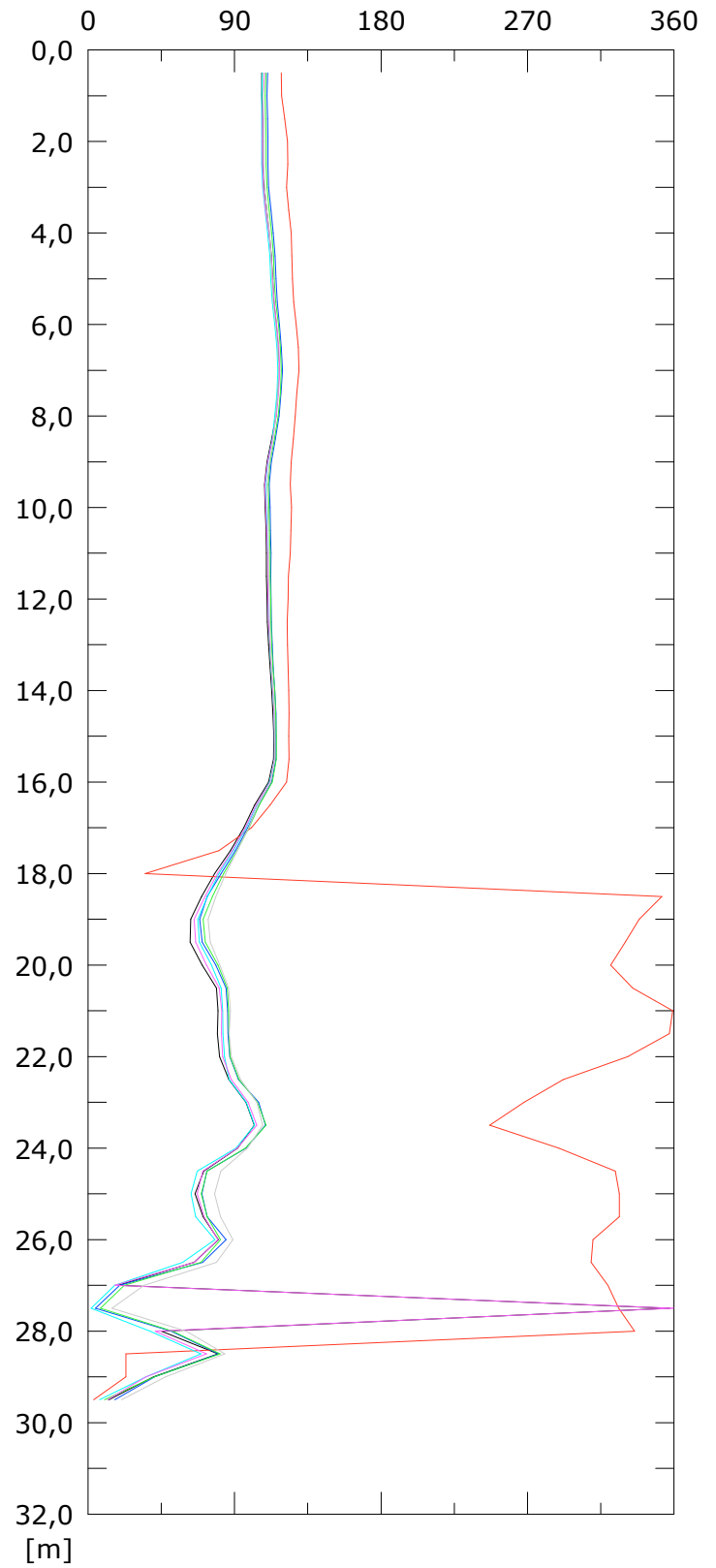
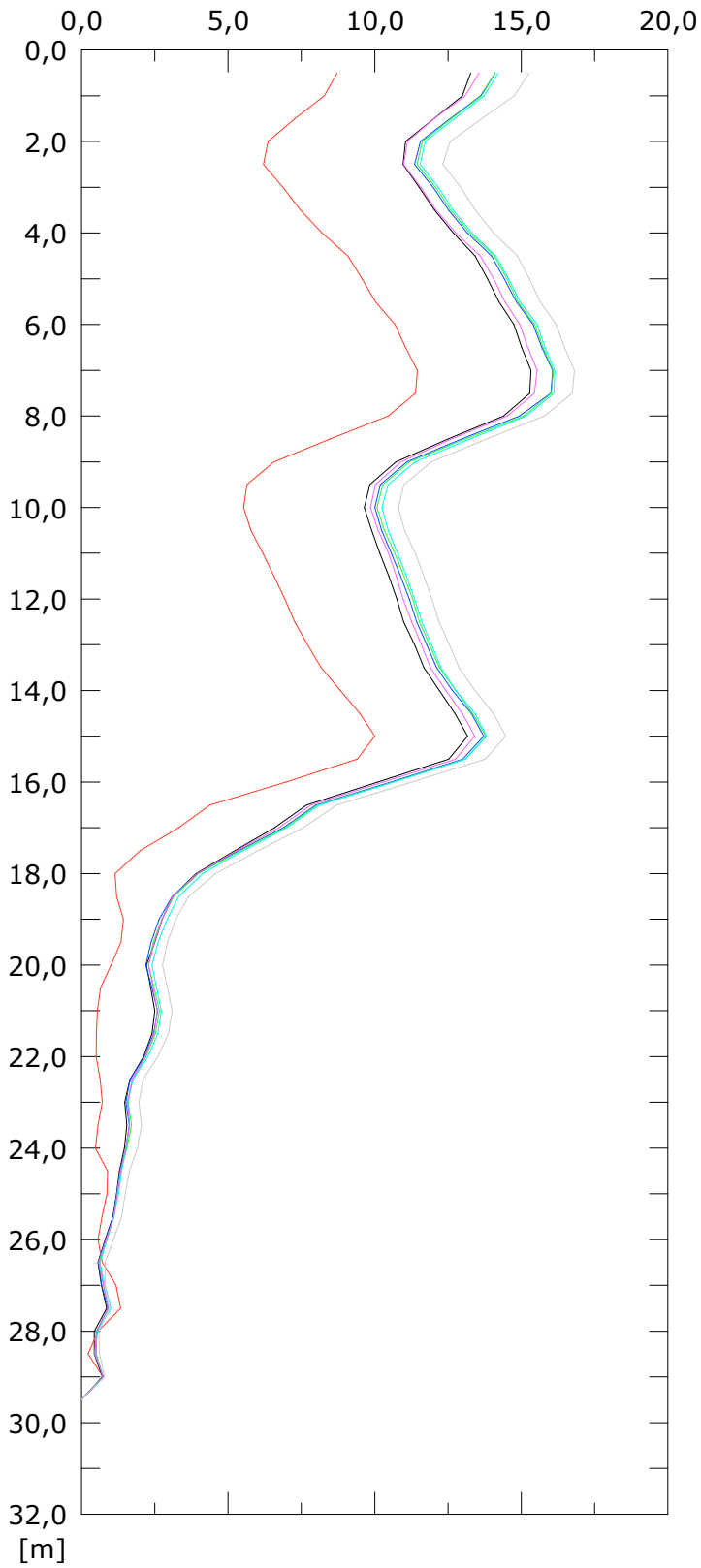
117:30/08/2019
120:20/09/2019

Elaborazione differenziale integrale dal basso

Riferimento 000:30/10/2017

Risultante spost. [mm]

Angolo [gradi]



115:16/08/2019

116:23/08/2019

117:30/08/2019

118:06/09/2019

119:13/09/2019

120:20/09/2019

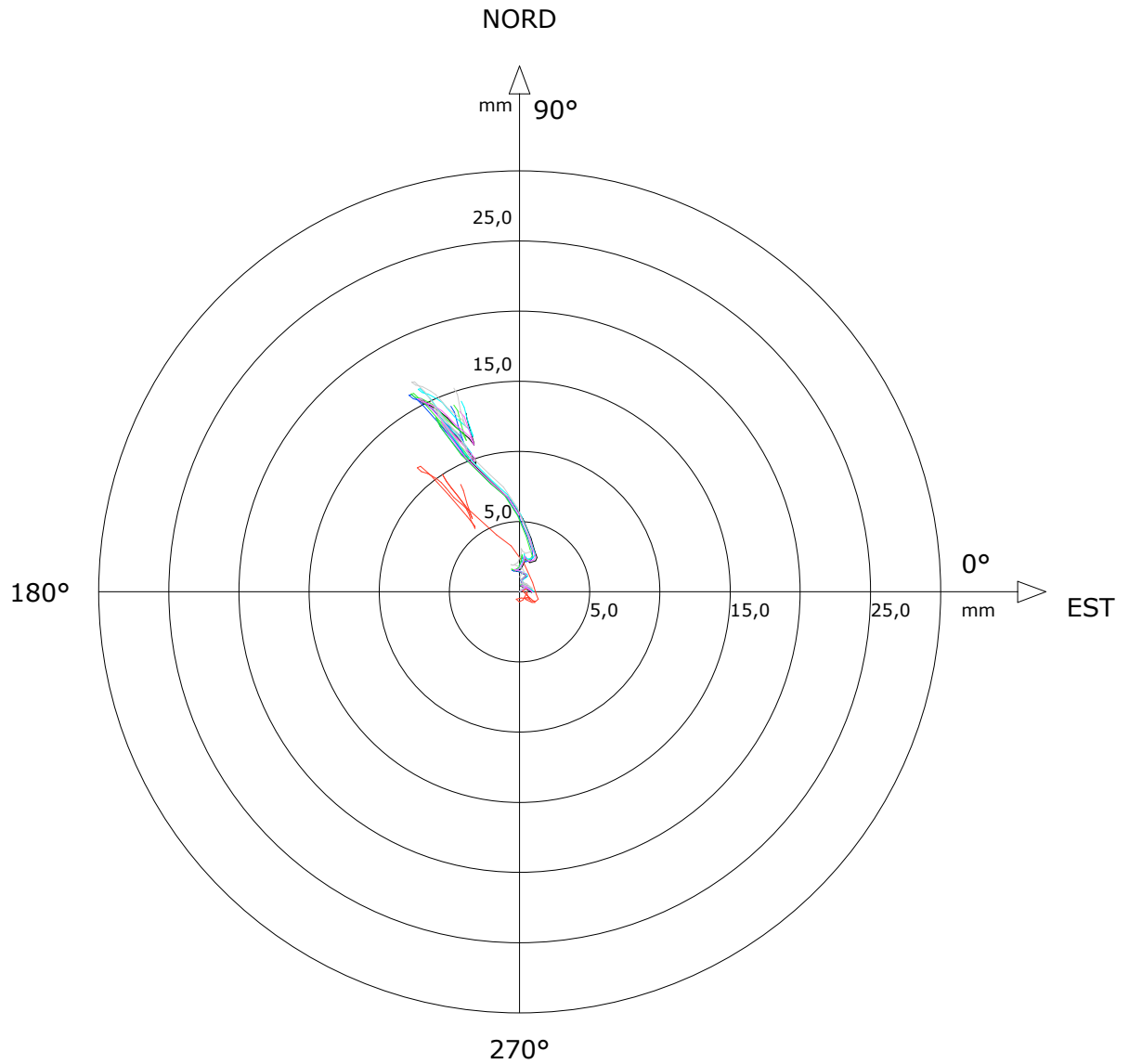
121:26/09/2019

Sito: PMA-FS Tubo: SSI-SP04

Elaborazione differenziale integrale dal basso

Riferimento 000:30/10/2017

Diagramma polare della deviazione



— 115:16/08/2019

— 116:23/08/2019

— 117:30/08/2019

— 118:06/09/2019

— 119:13/09/2019

— 120:20/09/2019

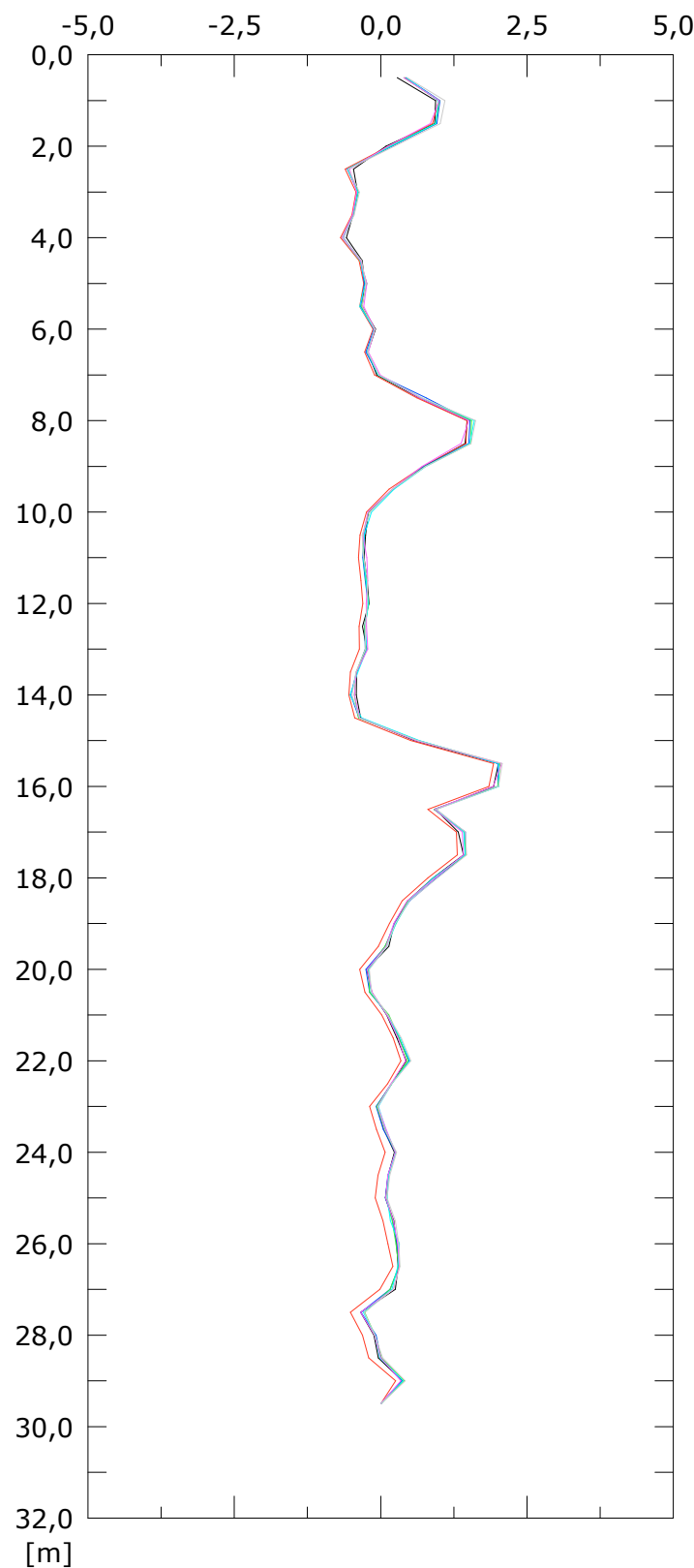
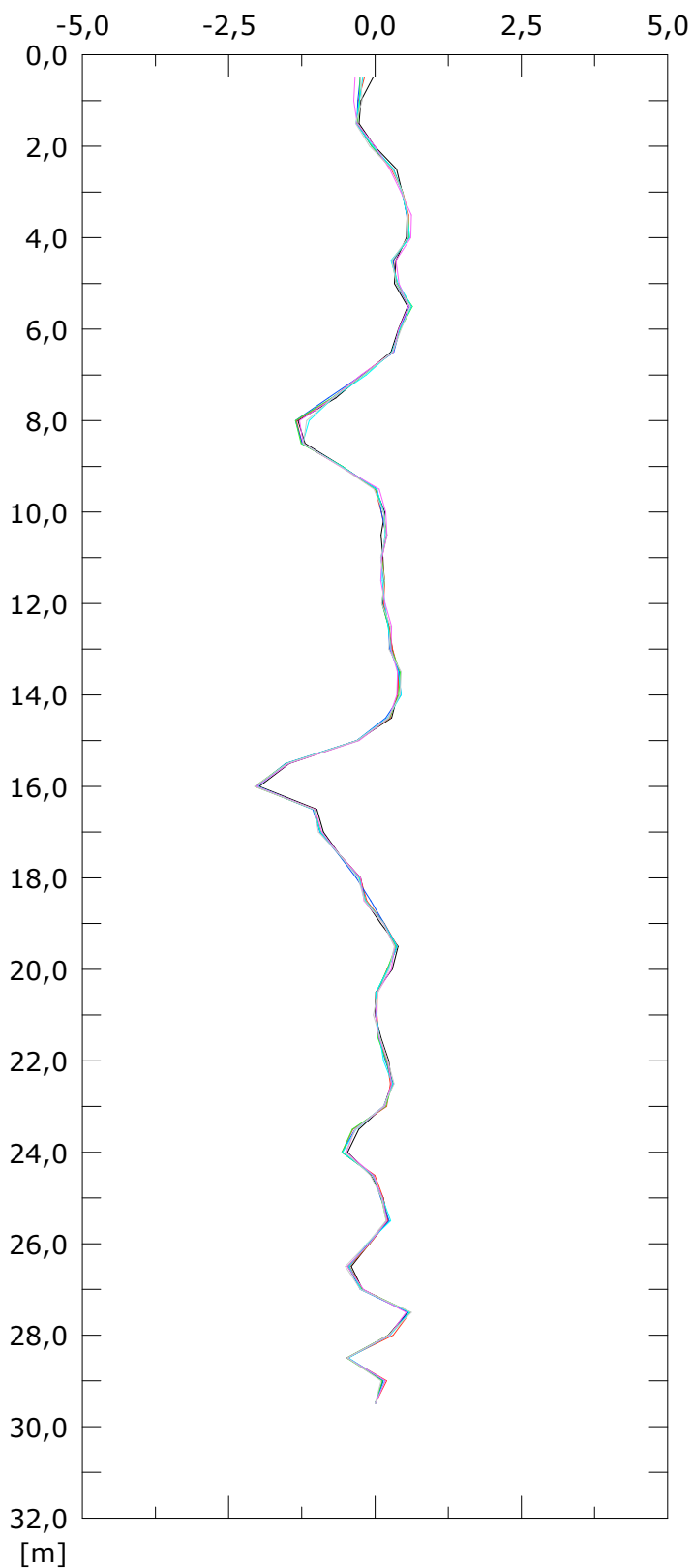
— 121:26/09/2019

Elaborazione differenziale locale dal basso

Riferimento 000:30/10/2017

Spost. EST [mm]

Spost. NORD [mm]



115:16/08/2019
118:06/09/2019
121:26/09/2019

116:23/08/2019
119:13/09/2019

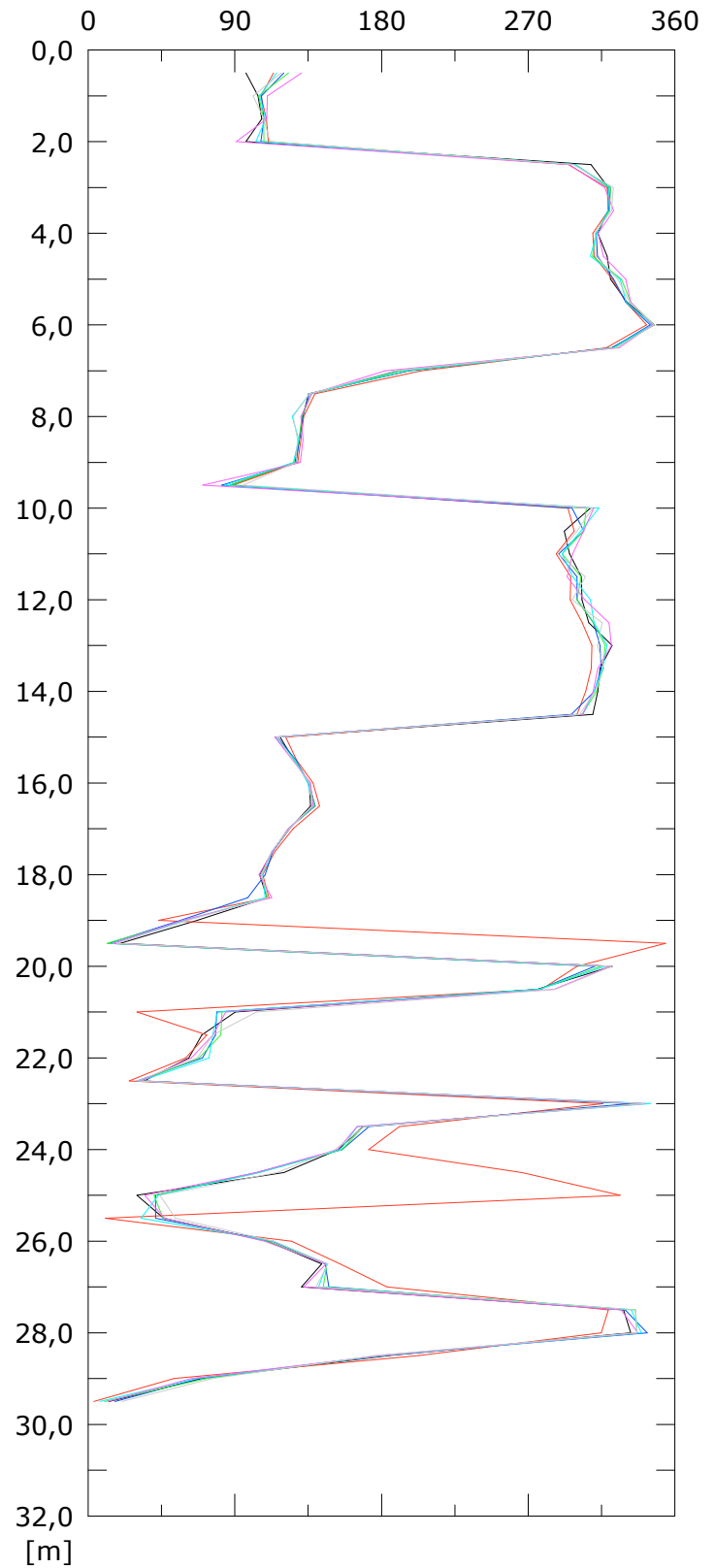
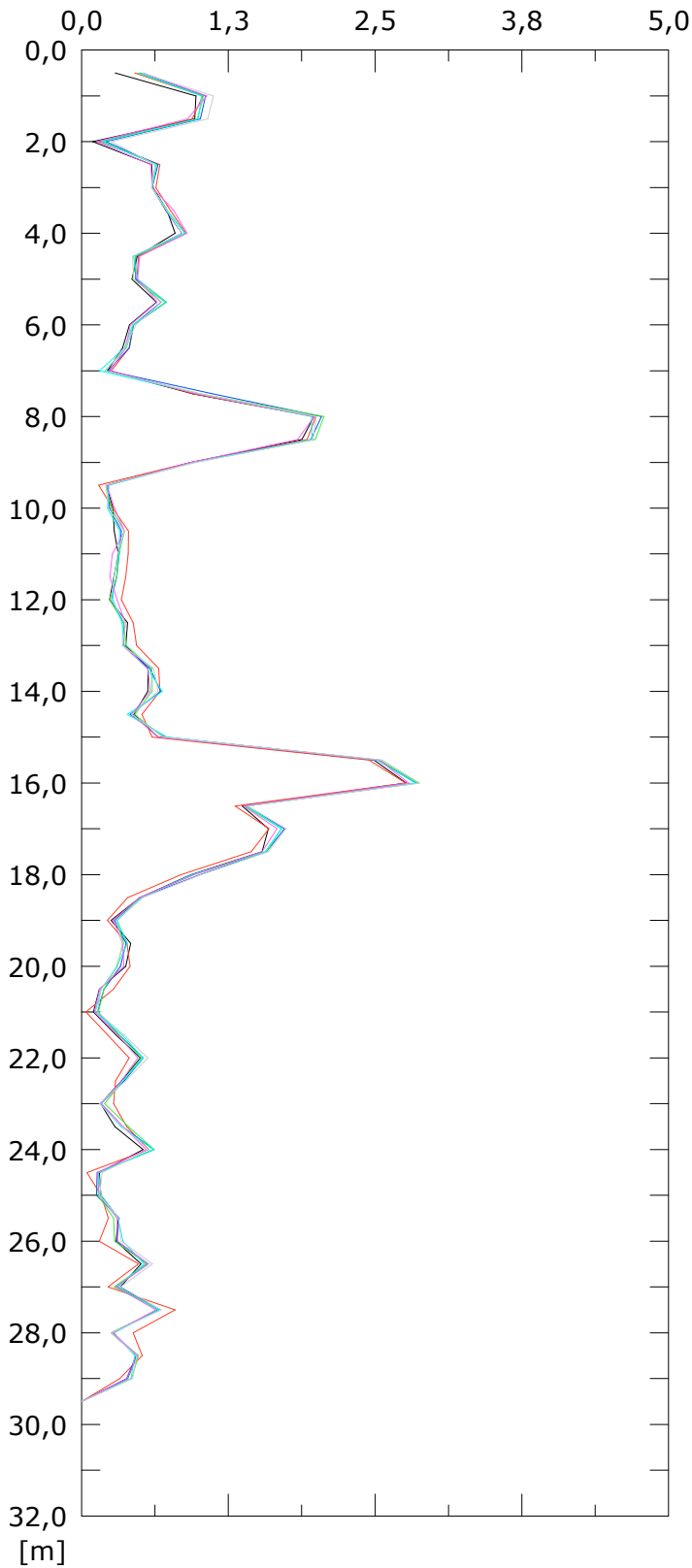
117:30/08/2019
120:20/09/2019

Elaborazione differenziale locale dal basso

Riferimento 000:30/10/2017

Resultante spost. [mm]

Angolo [gradi]



115:16/08/2019
118:06/09/2019
121:26/09/2019

116:23/08/2019
119:13/09/2019

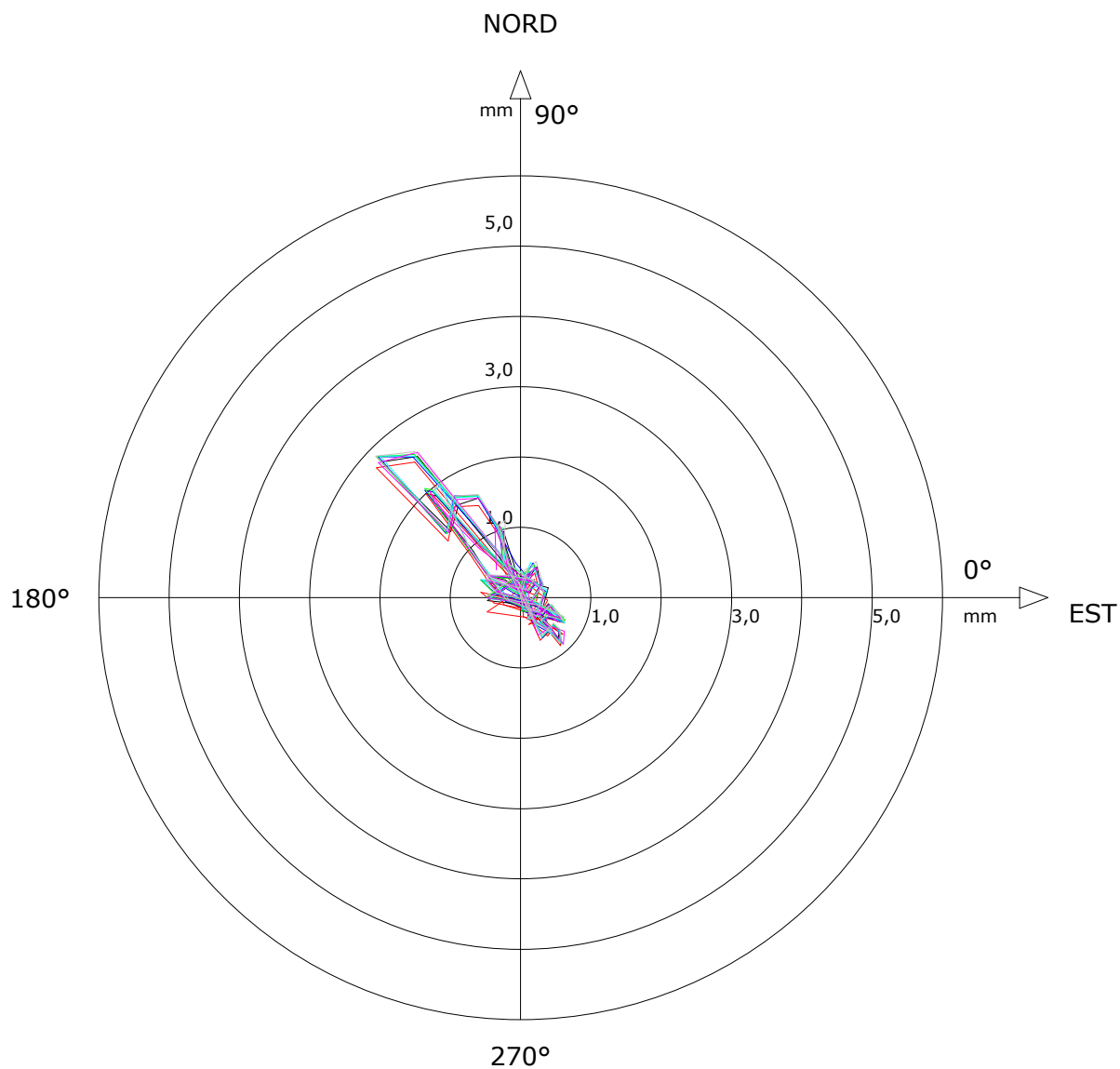
117:30/08/2019
120:20/09/2019

Sito: PMA-FS Tubo: SSI-SP04

Elaborazione differenziale locale dal basso

Riferimento 000:30/10/2017

Diagramma polare della deviazione



— 115:16/08/2019

— 116:23/08/2019

— 117:30/08/2019

— 118:06/09/2019

— 119:13/09/2019

— 120:20/09/2019

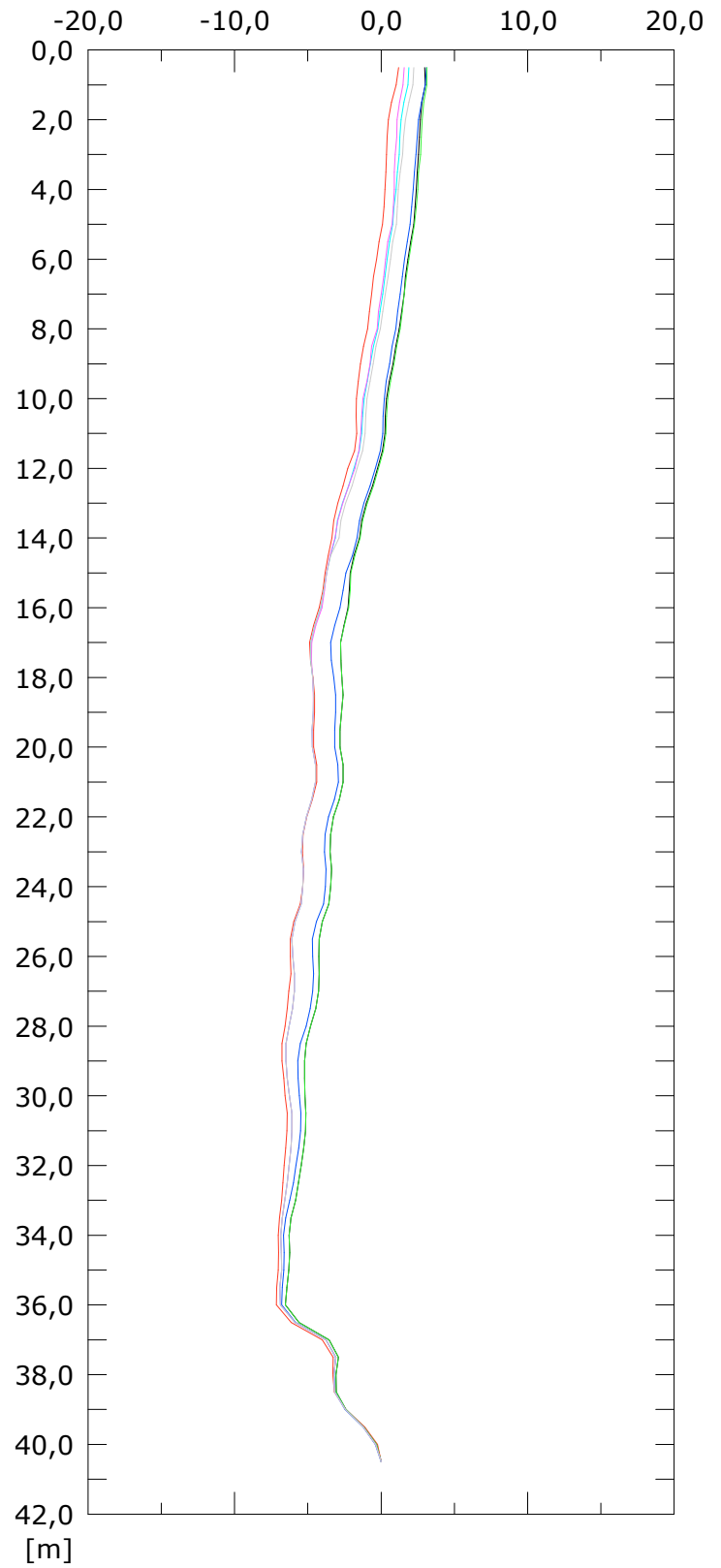
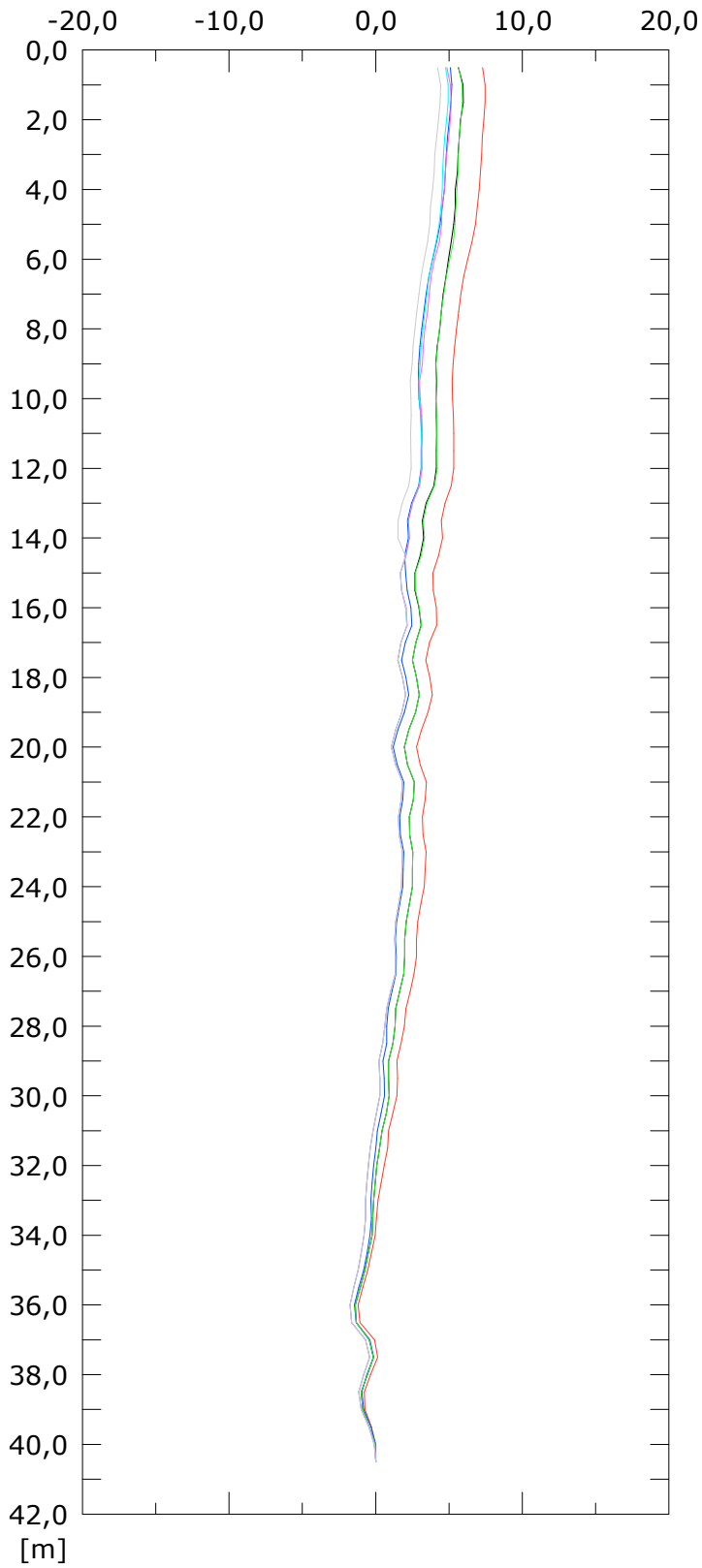
— 121:26/09/2019

Elaborazione differenziale integrale dal basso

Riferimento 000:30/10/2017

Spost. EST [mm]

Spost. NORD [mm]



060:16/08/2019
063:06/09/2019
066:26/09/2019

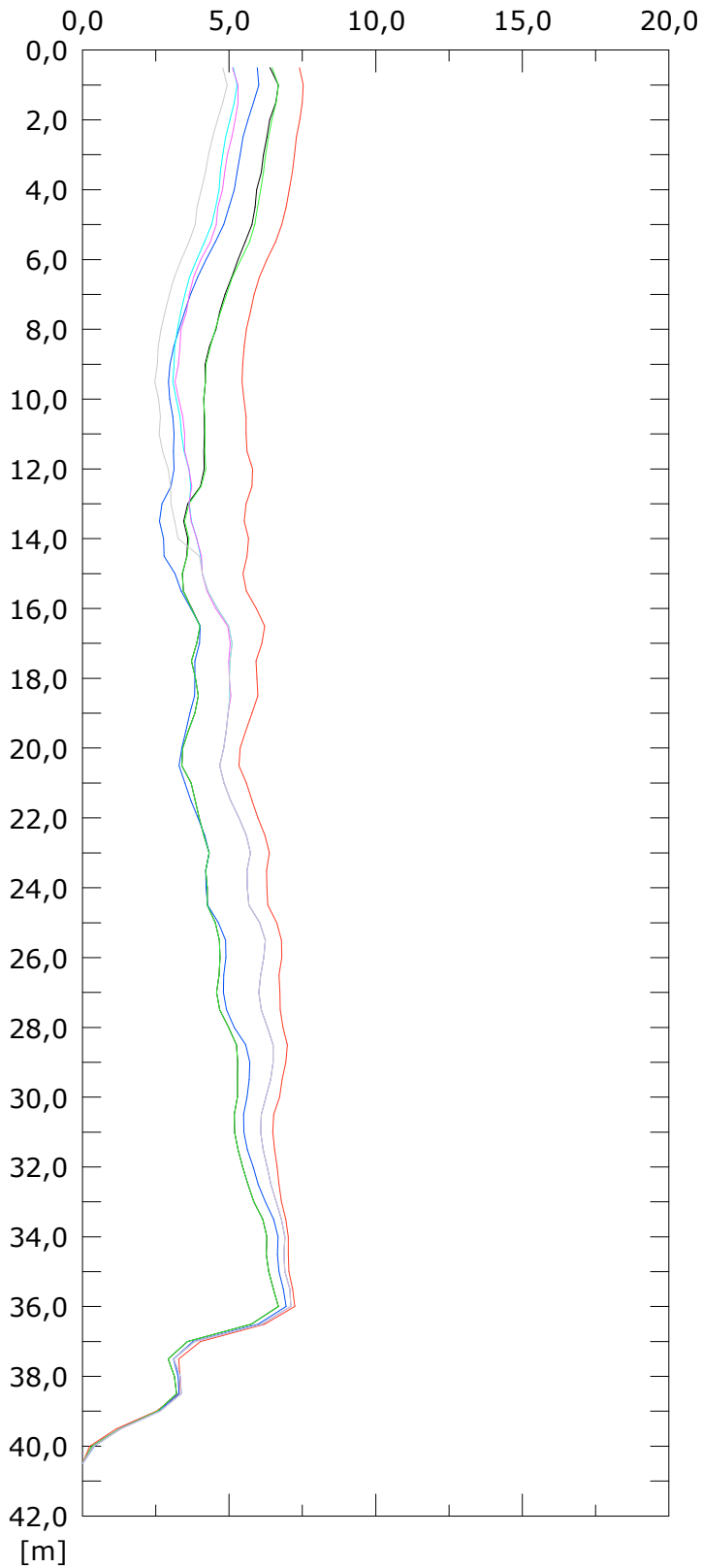
061:23/08/2019
064:13/09/2019

062:31/08/2019
065:20/09/2019

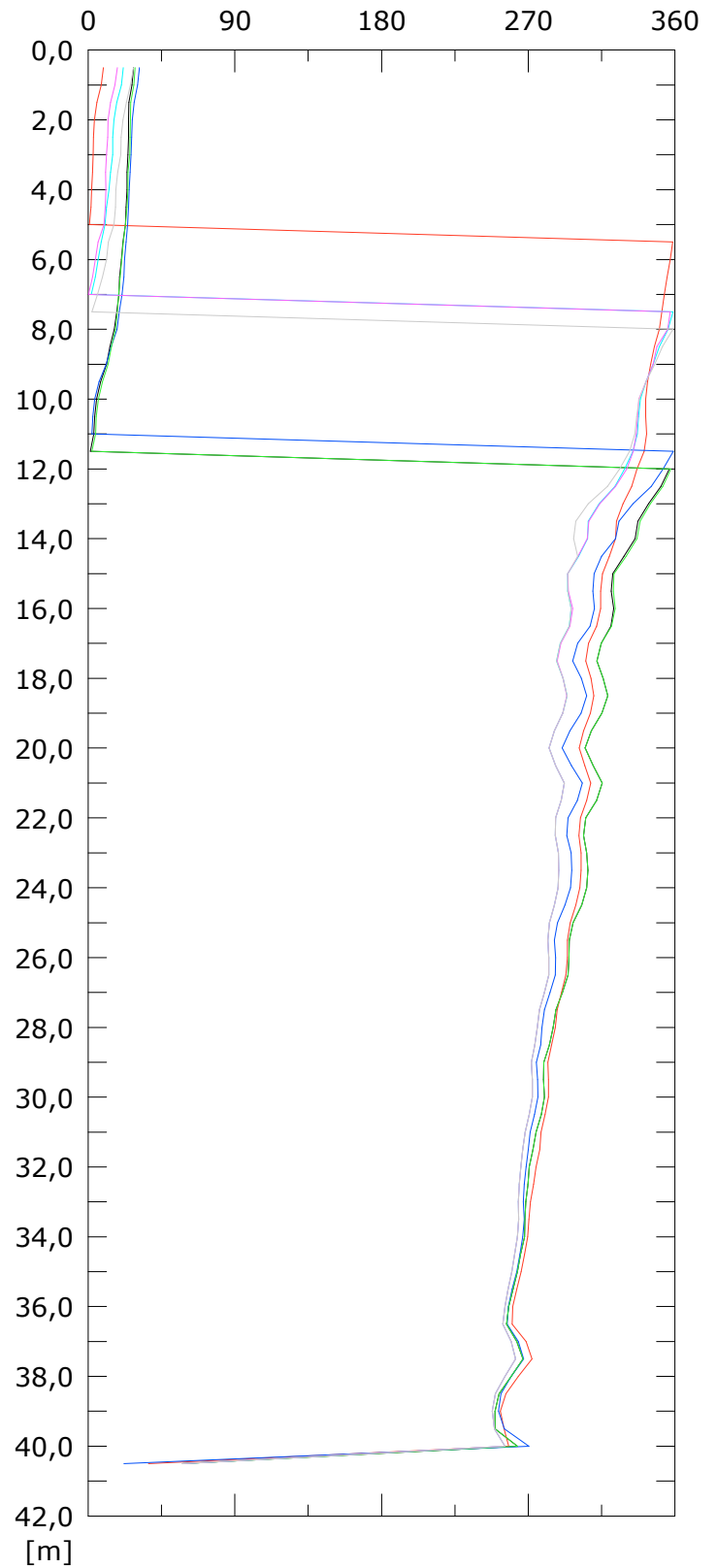
Elaborazione differenziale integrale dal basso

Riferimento 000:30/10/2017

Risultante spost. [mm]



Angolo [gradi]



060:16/08/2019
063:06/09/2019
066:26/09/2019

061:23/08/2019
064:13/09/2019

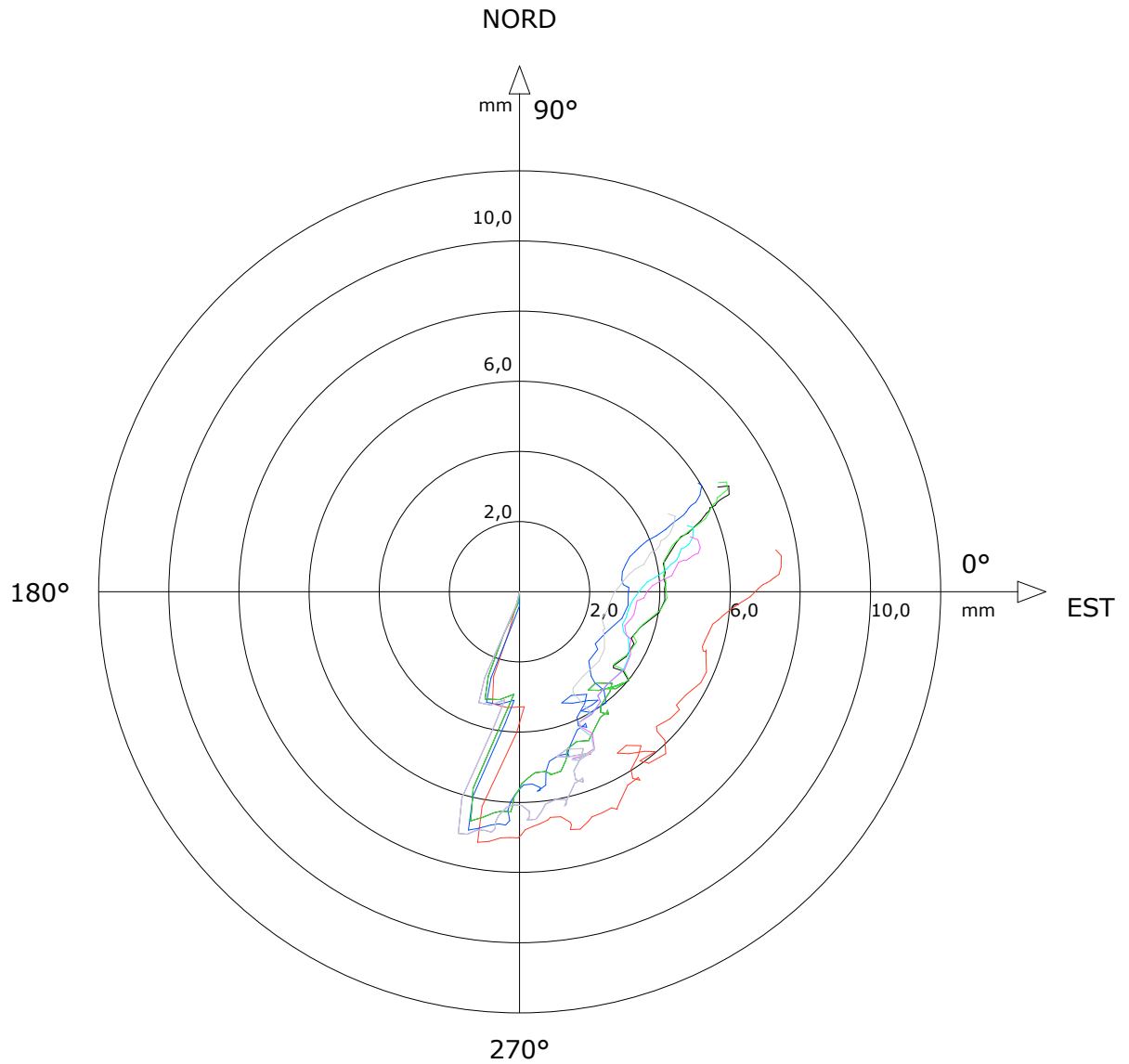
062:31/08/2019
065:20/09/2019

Sito: PMA-FS Tubo: SSI-SP05

Elaborazione differenziale integrale dal basso

Riferimento 000:30/10/2017

Diagramma polare della deviazione



— 060:16/08/2019

— 061:23/08/2019

— 062:31/08/2019

— 063:06/09/2019

— 064:13/09/2019

— 065:20/09/2019

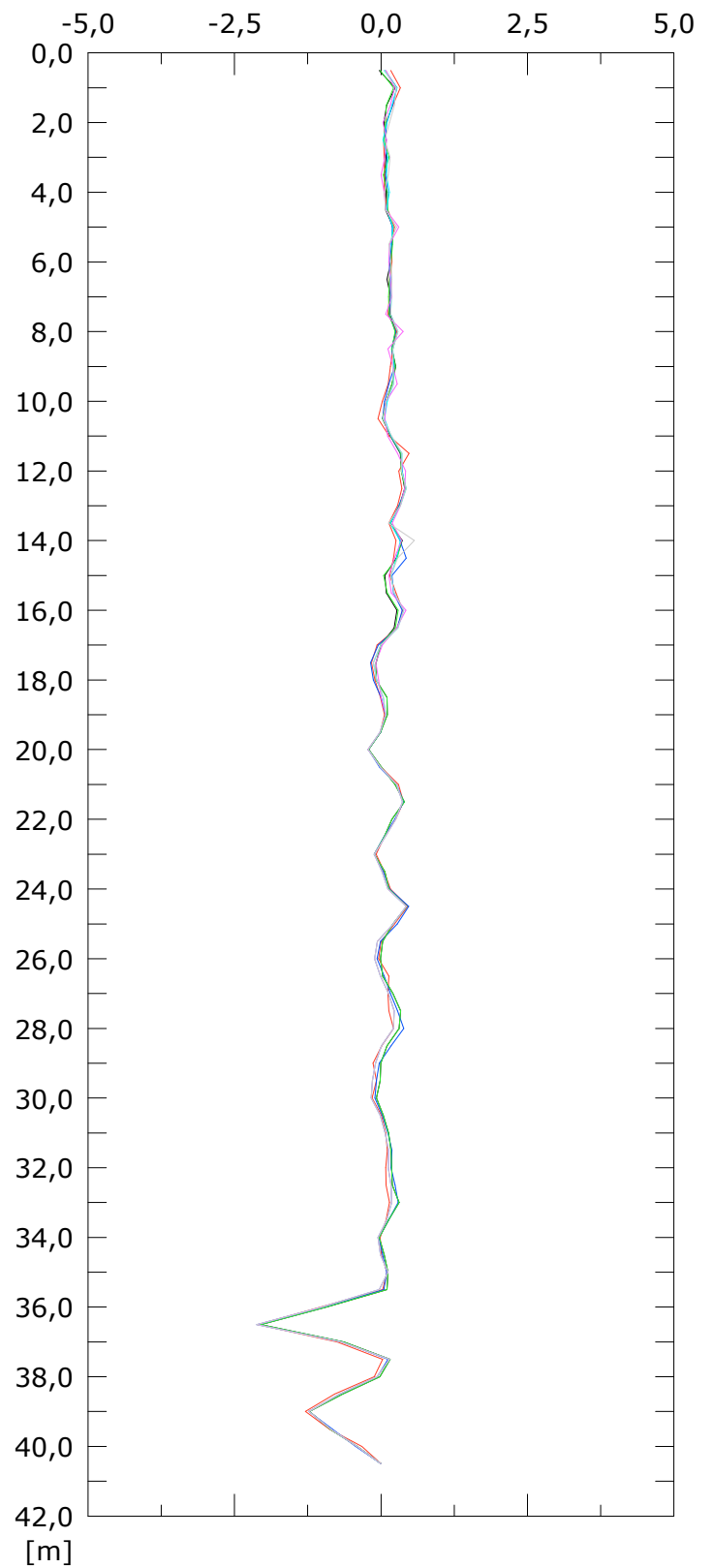
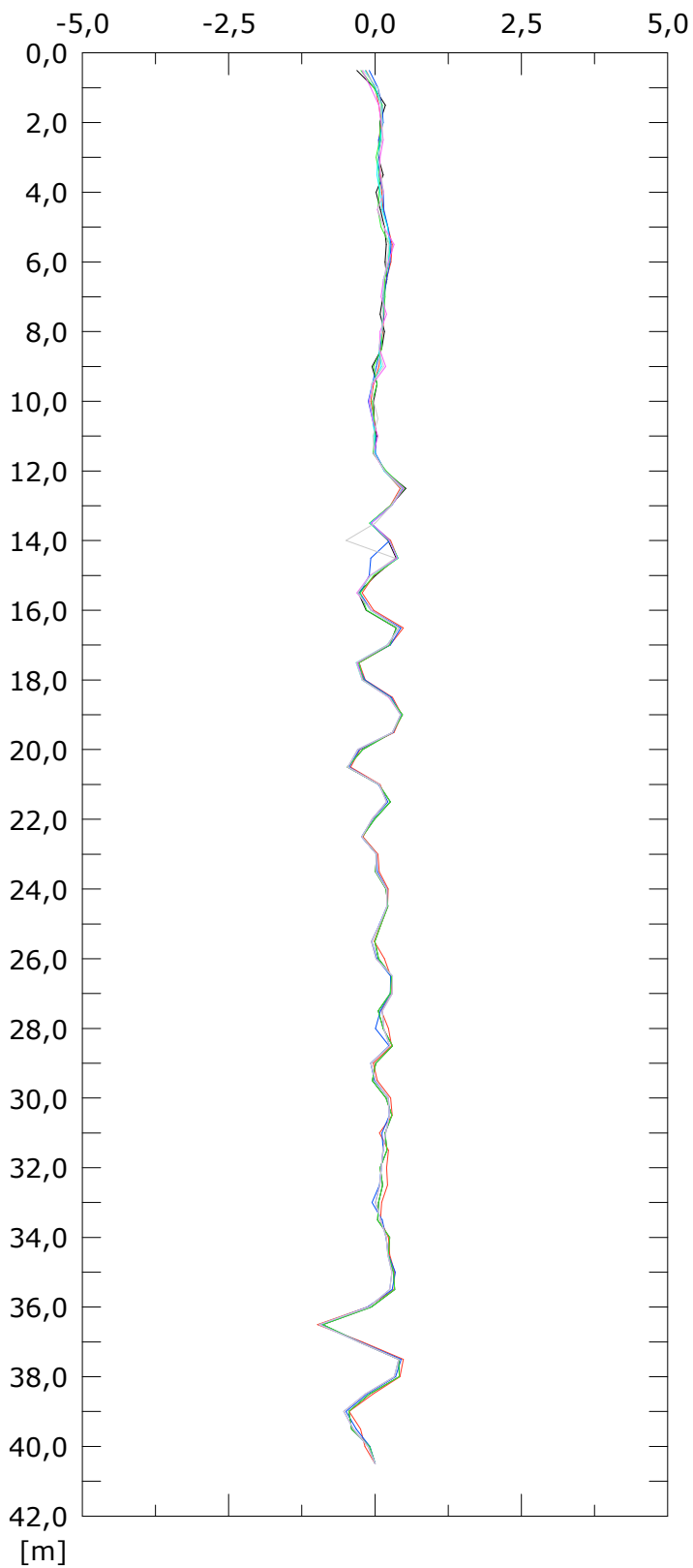
— 066:26/09/2019

Elaborazione differenziale locale dal basso

Riferimento 000:30/10/2017

Spost. EST [mm]

Spost. NORD [mm]



060:16/08/2019
063:06/09/2019
066:26/09/2019

061:23/08/2019
064:13/09/2019

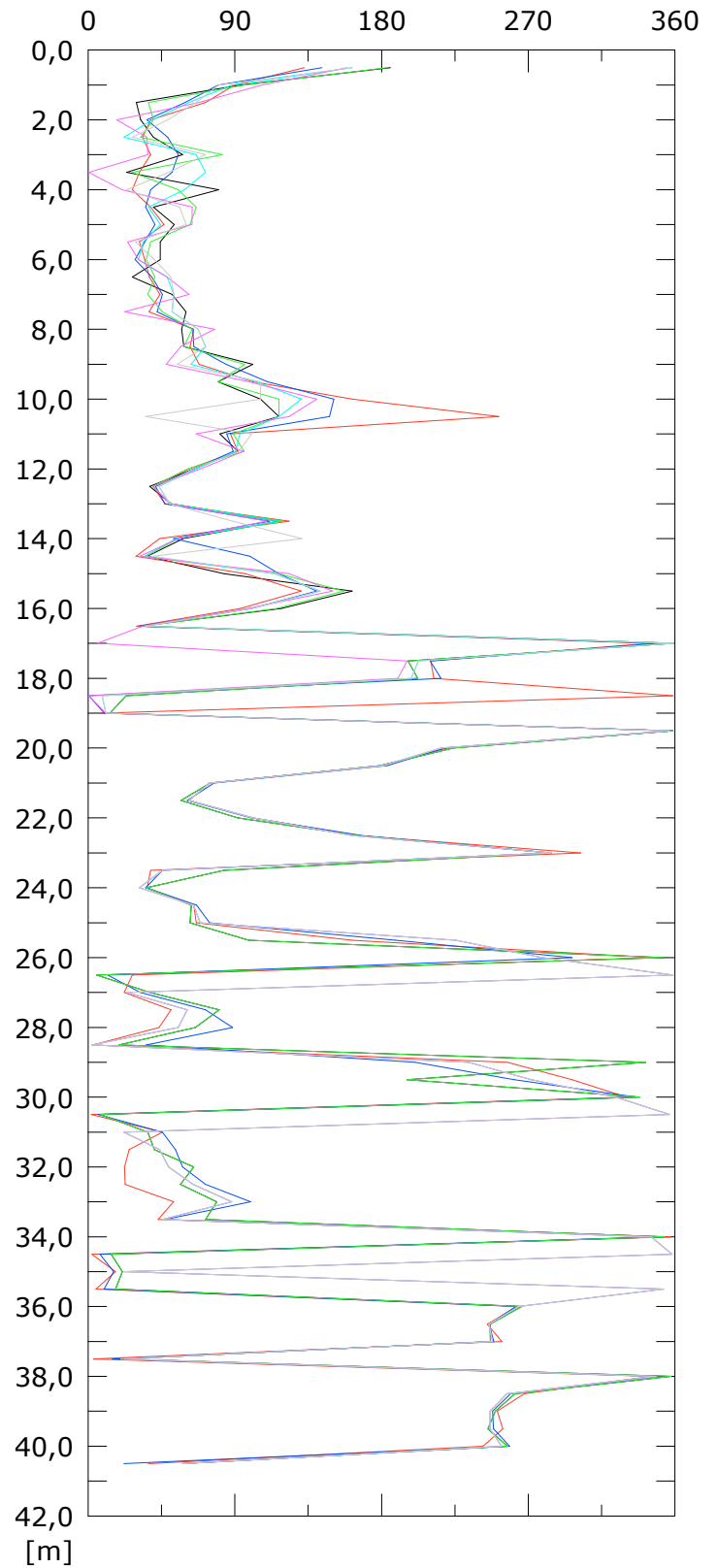
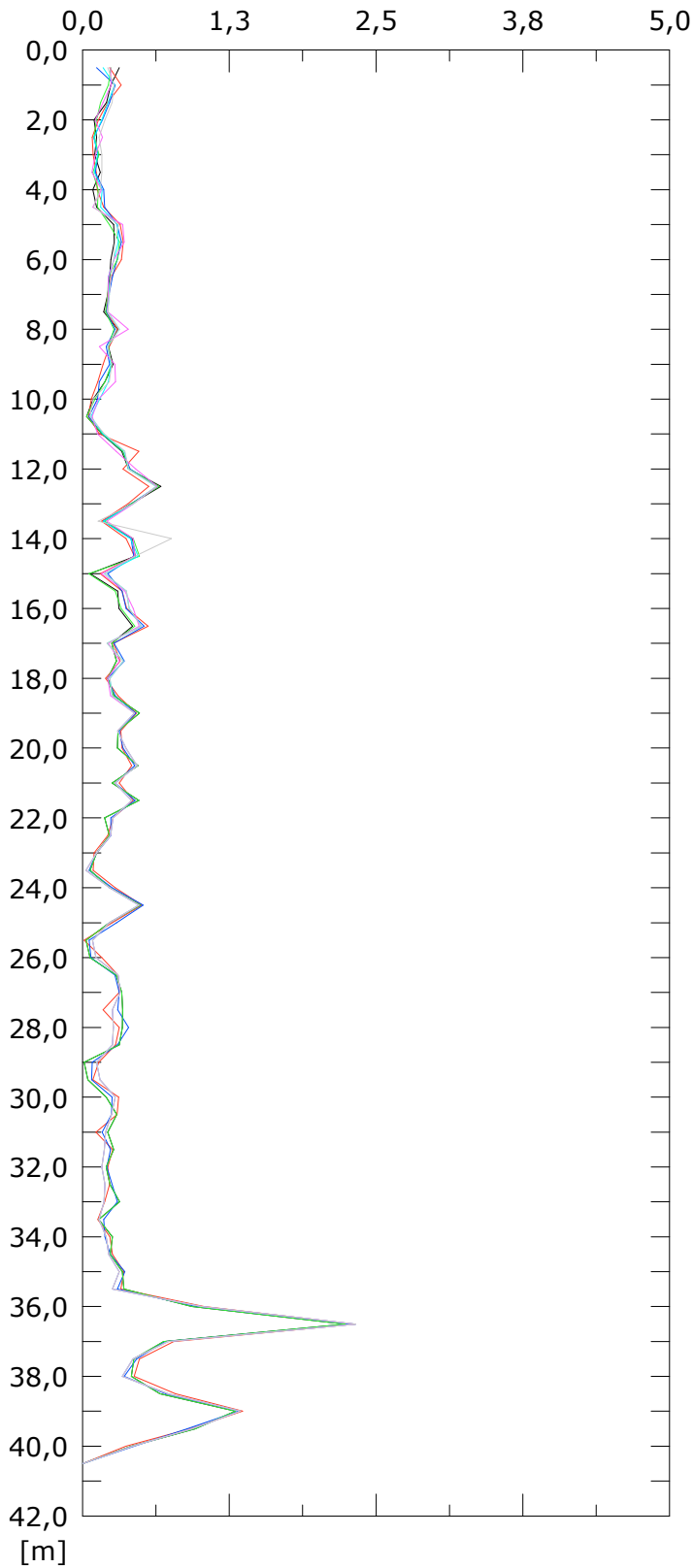
062:31/08/2019
065:20/09/2019

Elaborazione differenziale locale dal basso

Riferimento 000:30/10/2017

Risultante spost. [mm]

Angolo [gradi]



060:16/08/2019

061:23/08/2019

062:31/08/2019

063:06/09/2019

064:13/09/2019

065:20/09/2019

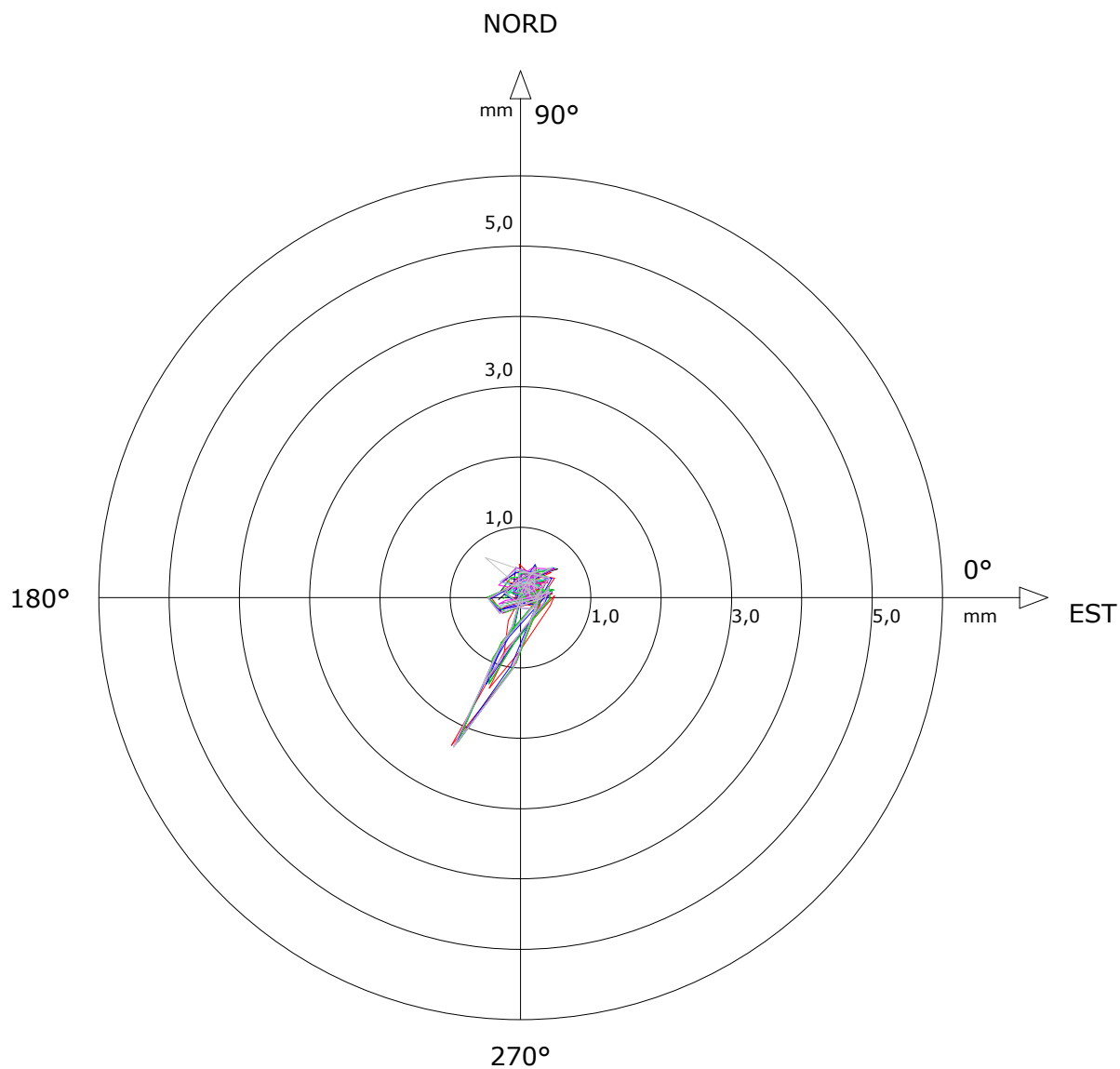
066:26/09/2019

Sito: PMA-FS Tubo: SSI-SP05

Elaborazione differenziale locale dal basso

Riferimento 000:30/10/2017

Diagramma polare della deviazione



— 060:16/08/2019

— 061:23/08/2019

— 062:31/08/2019

— 063:06/09/2019

— 064:13/09/2019

— 065:20/09/2019

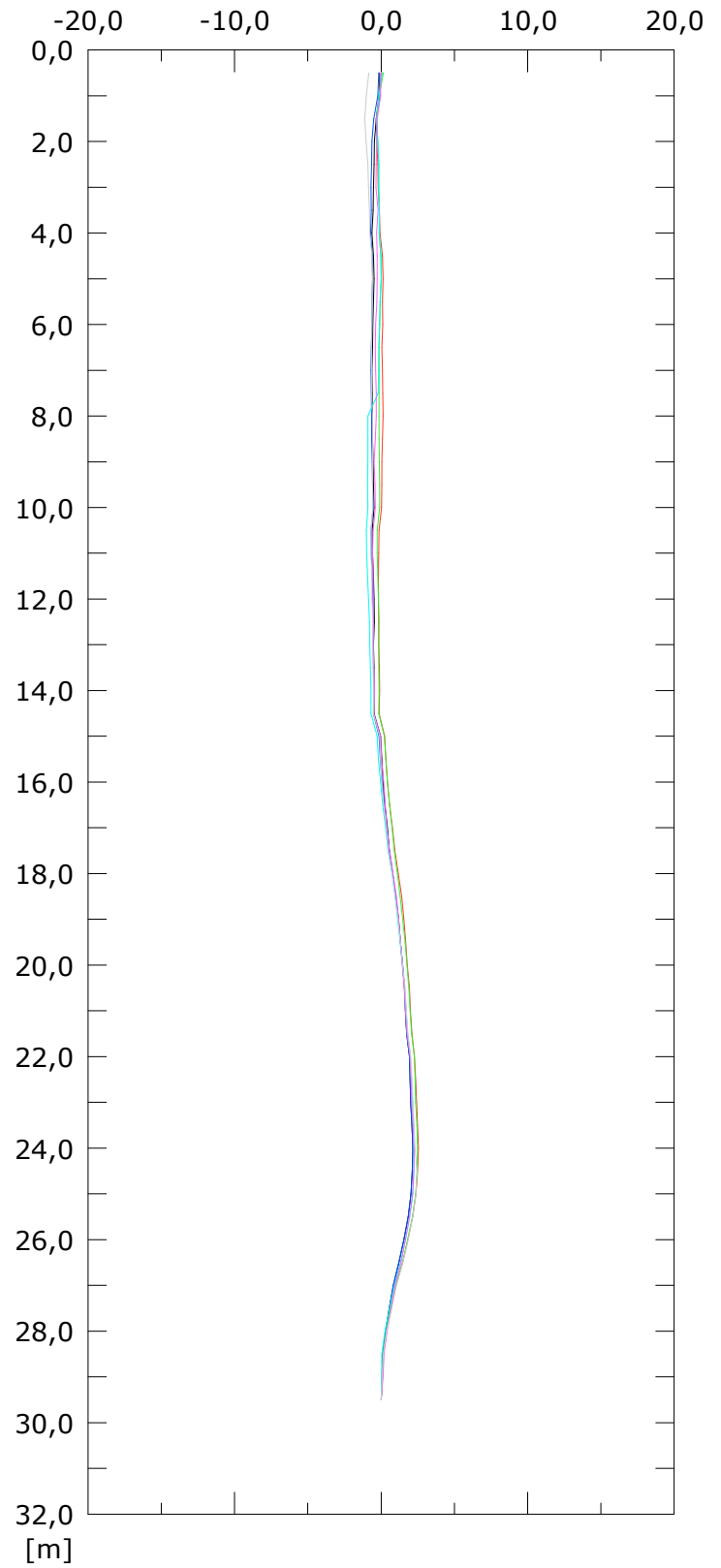
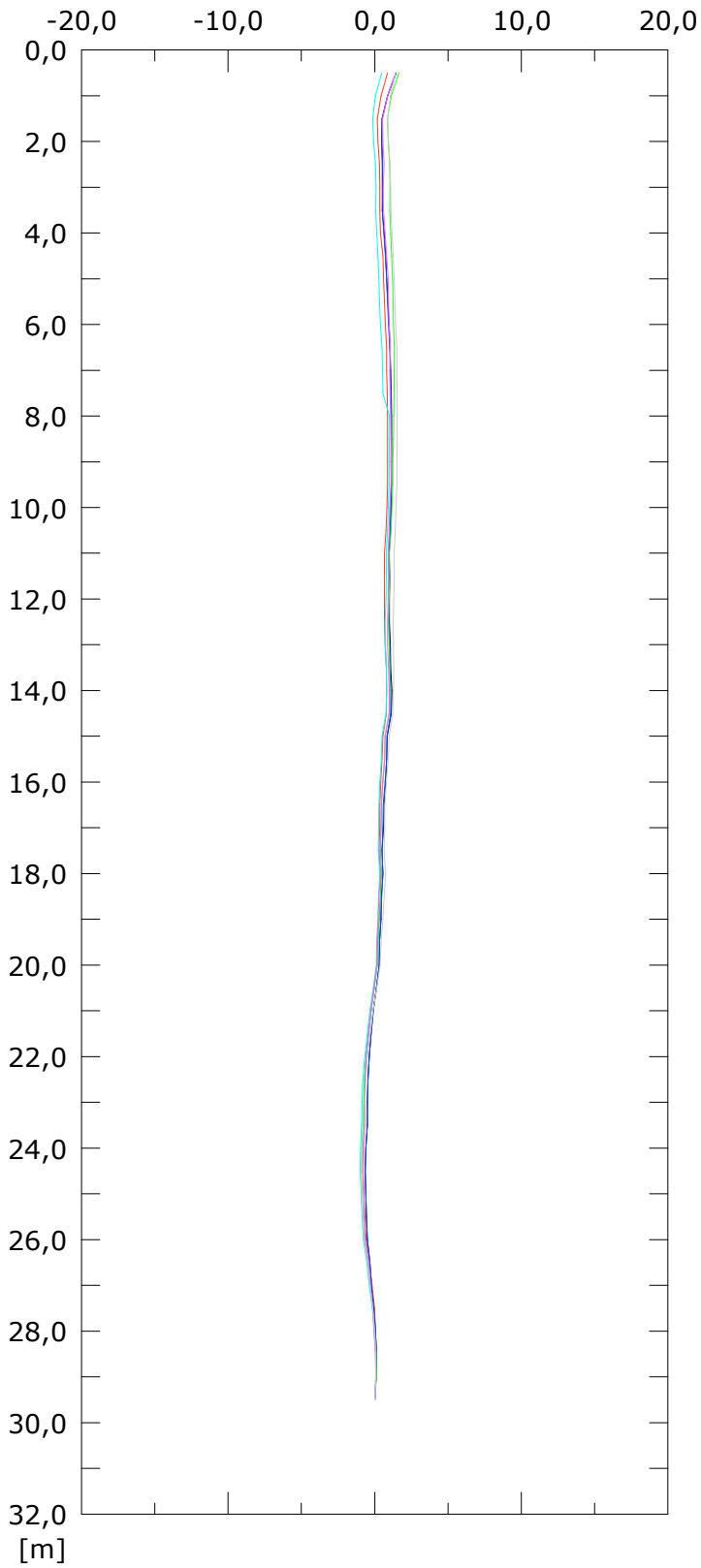
— 066:26/09/2019

Elaborazione differenziale integrale dal basso

Riferimento 000:30/10/2017

Spost. EST [mm]

Spost. NORD [mm]



040:16/08/2019
043:06/09/2019
046:26/09/2019

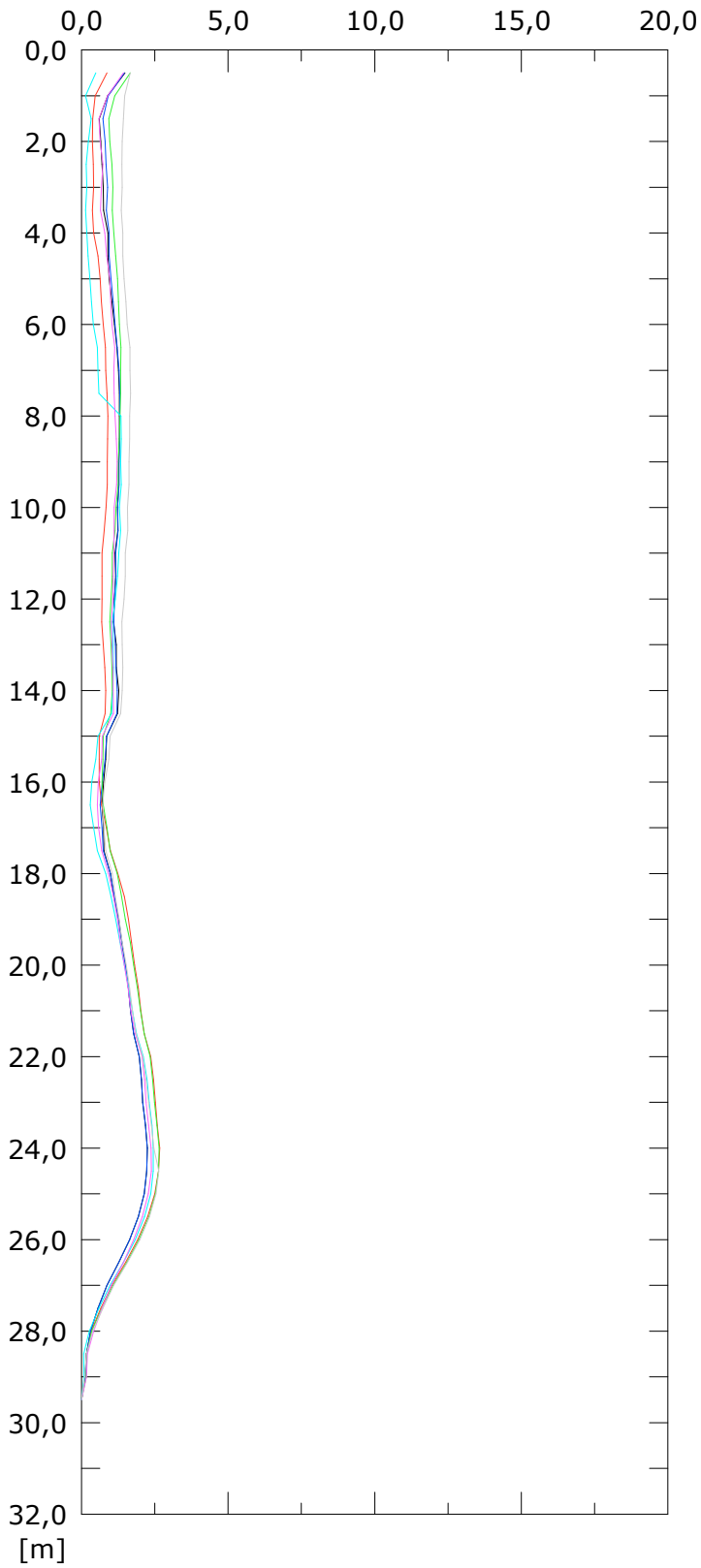
041:23/08/2019
044:13/09/2019

042:30/08/2019
045:20/09/2019

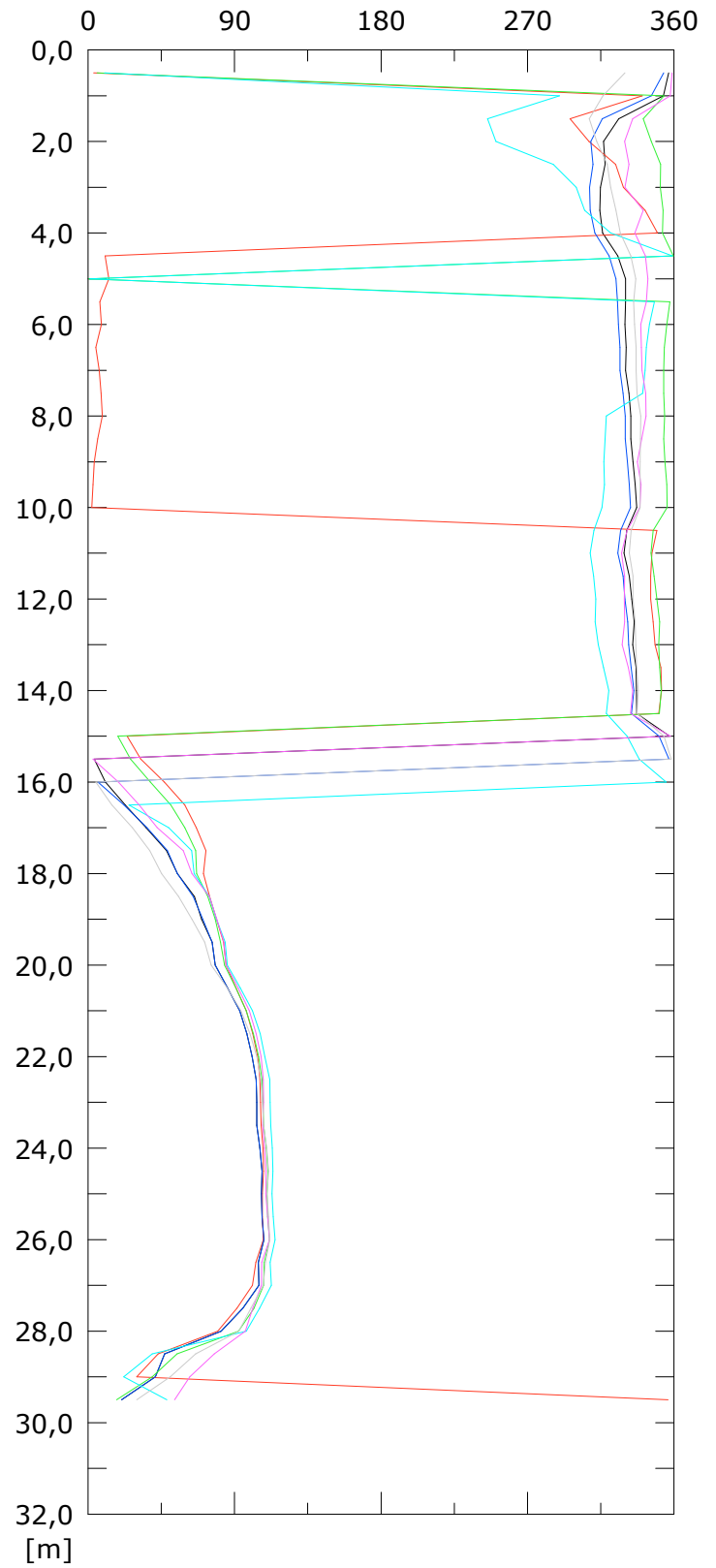
Elaborazione differenziale integrale dal basso

Riferimento 000:30/10/2017

Risultante spost. [mm]



Angolo [gradi]



040:16/08/2019
043:06/09/2019
046:26/09/2019

041:23/08/2019
044:13/09/2019

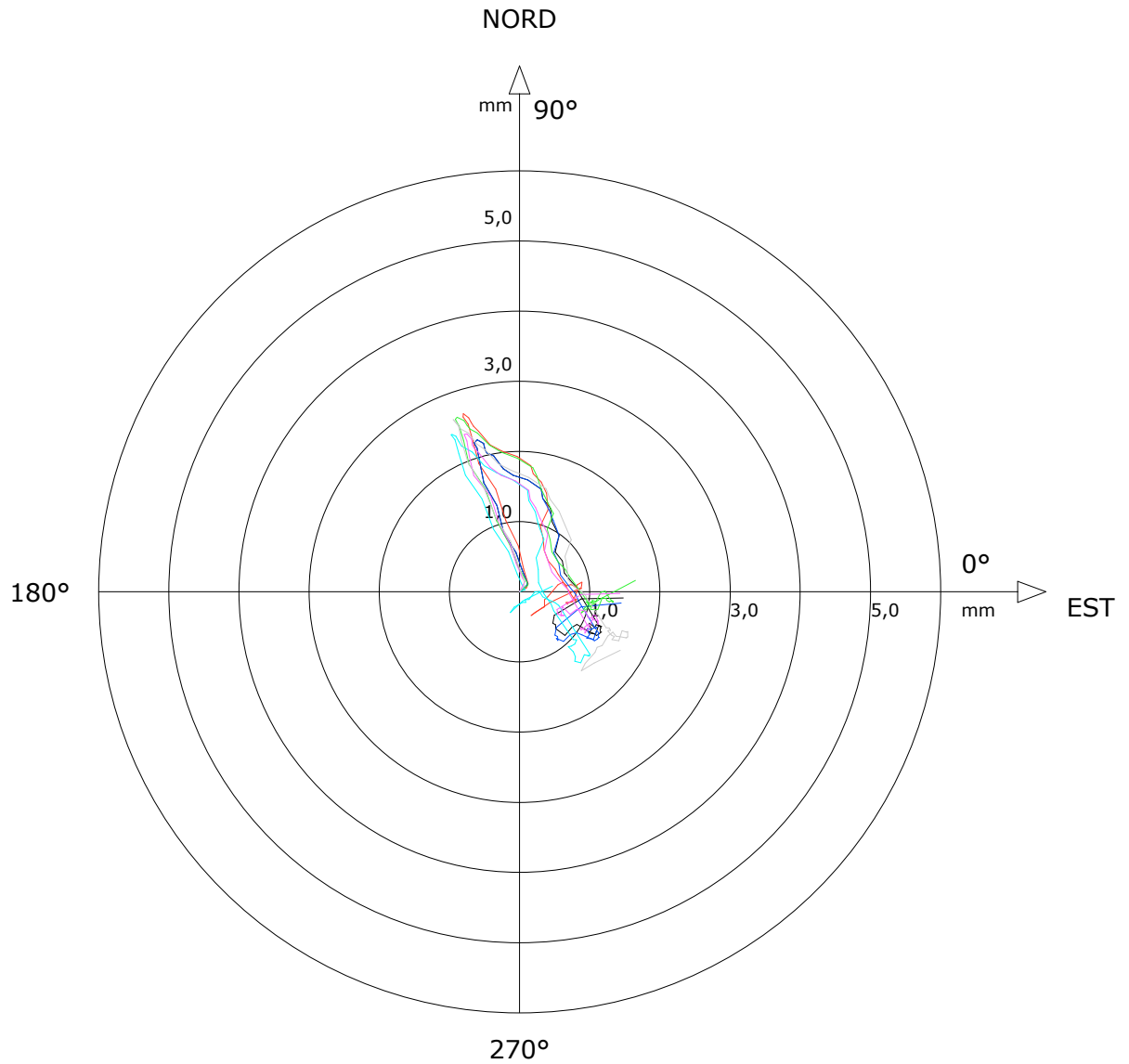
042:30/08/2019
045:20/09/2019

Sito: PMA-FS Tubo: SSI-SP06

Elaborazione differenziale integrale dal basso

Riferimento 000:30/10/2017

Diagramma polare della deviazione



— 040:16/08/2019

— 041:23/08/2019

— 042:30/08/2019

— 043:06/09/2019

— 044:13/09/2019

— 045:20/09/2019

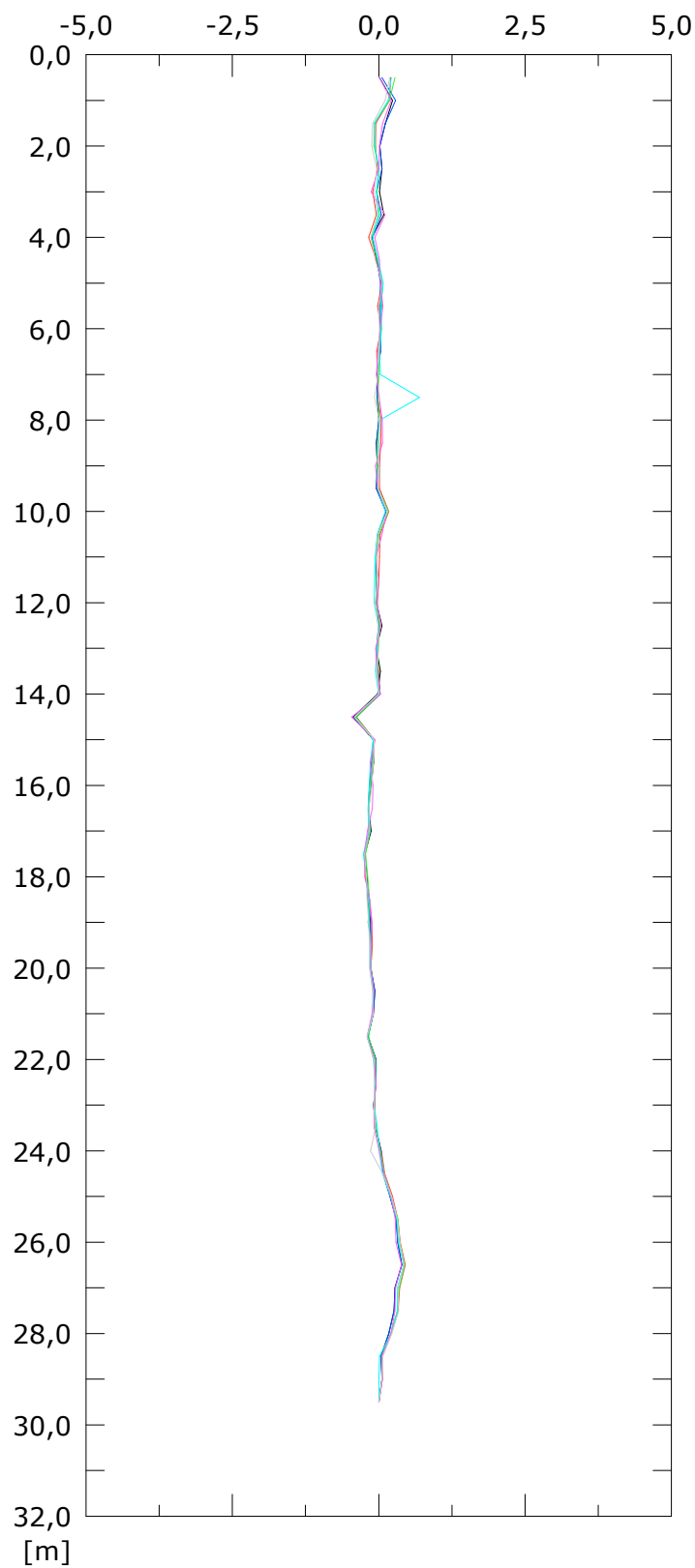
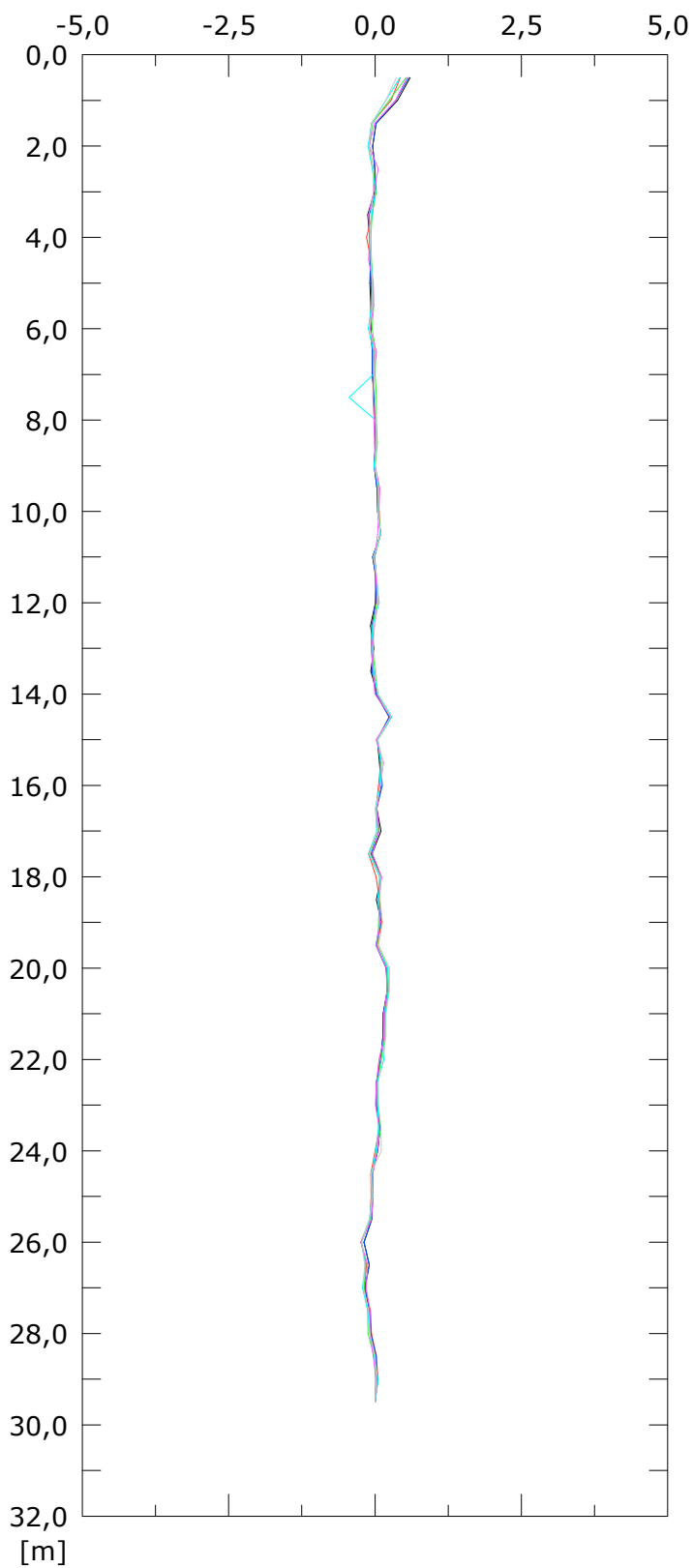
— 046:26/09/2019

Elaborazione differenziale locale dal basso

Riferimento 000:30/10/2017

Spost. EST [mm]

Spost. NORD [mm]



040:16/08/2019

041:23/08/2019

042:30/08/2019

043:06/09/2019

044:13/09/2019

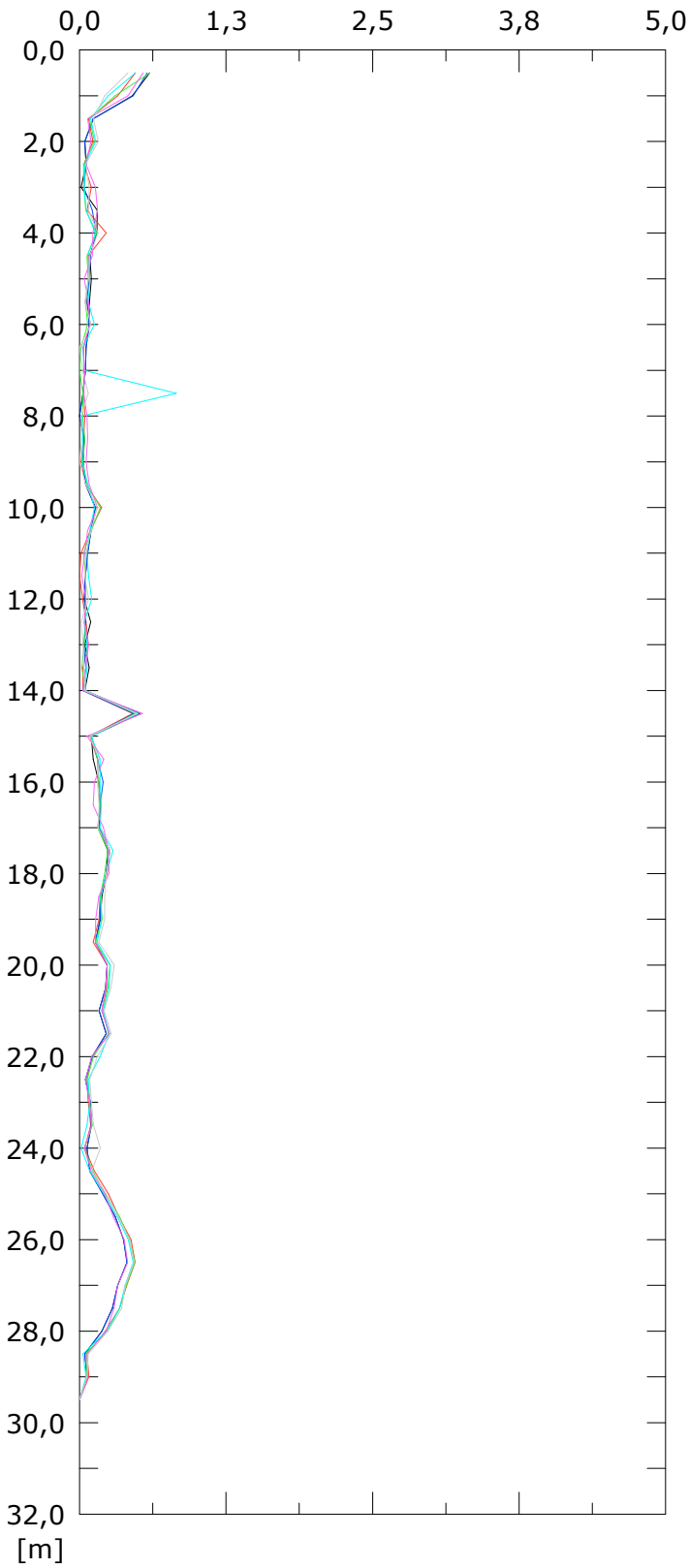
045:20/09/2019

046:26/09/2019

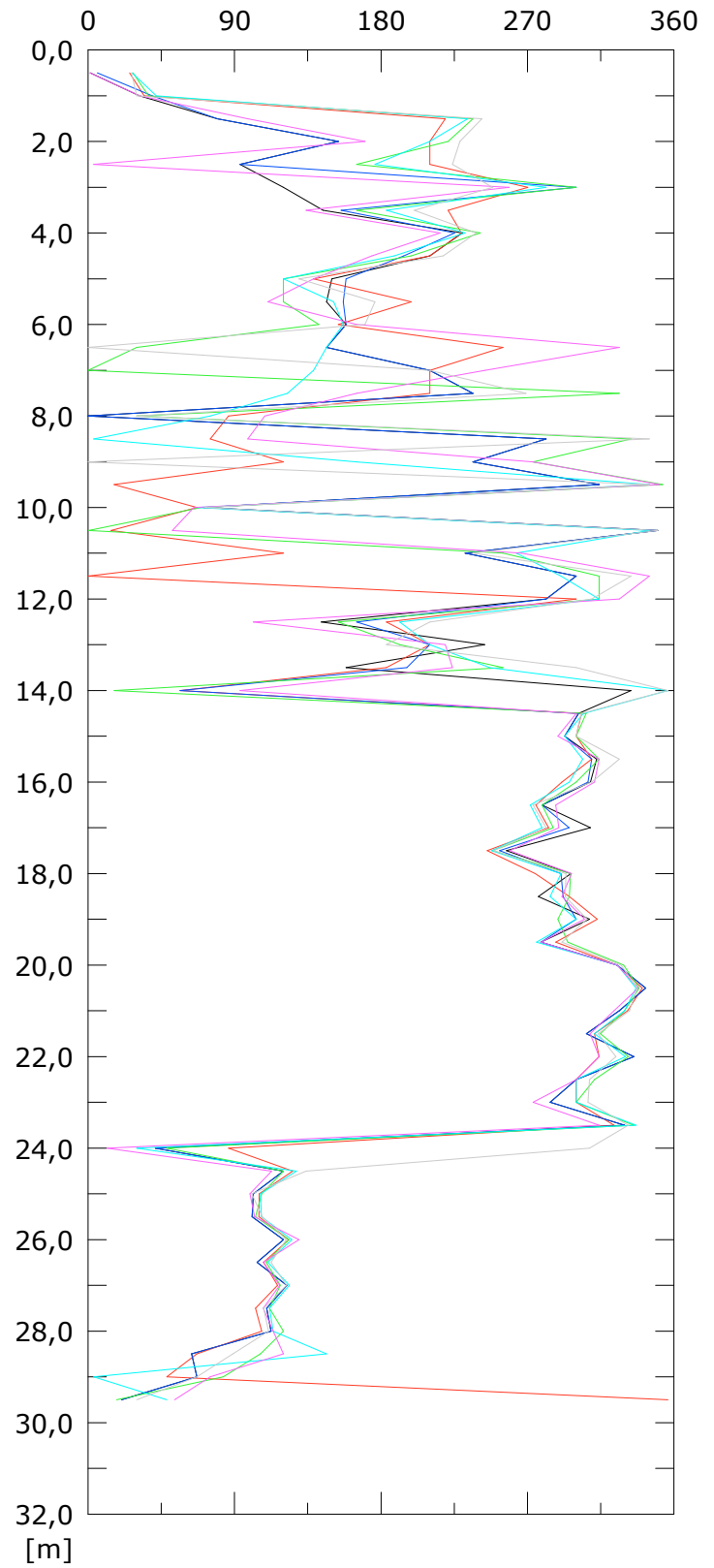
Elaborazione differenziale locale dal basso

Riferimento 000:30/10/2017

Risultante spost. [mm]



Angolo [gradi]



040:16/08/2019
043:06/09/2019
046:26/09/2019

041:23/08/2019
044:13/09/2019

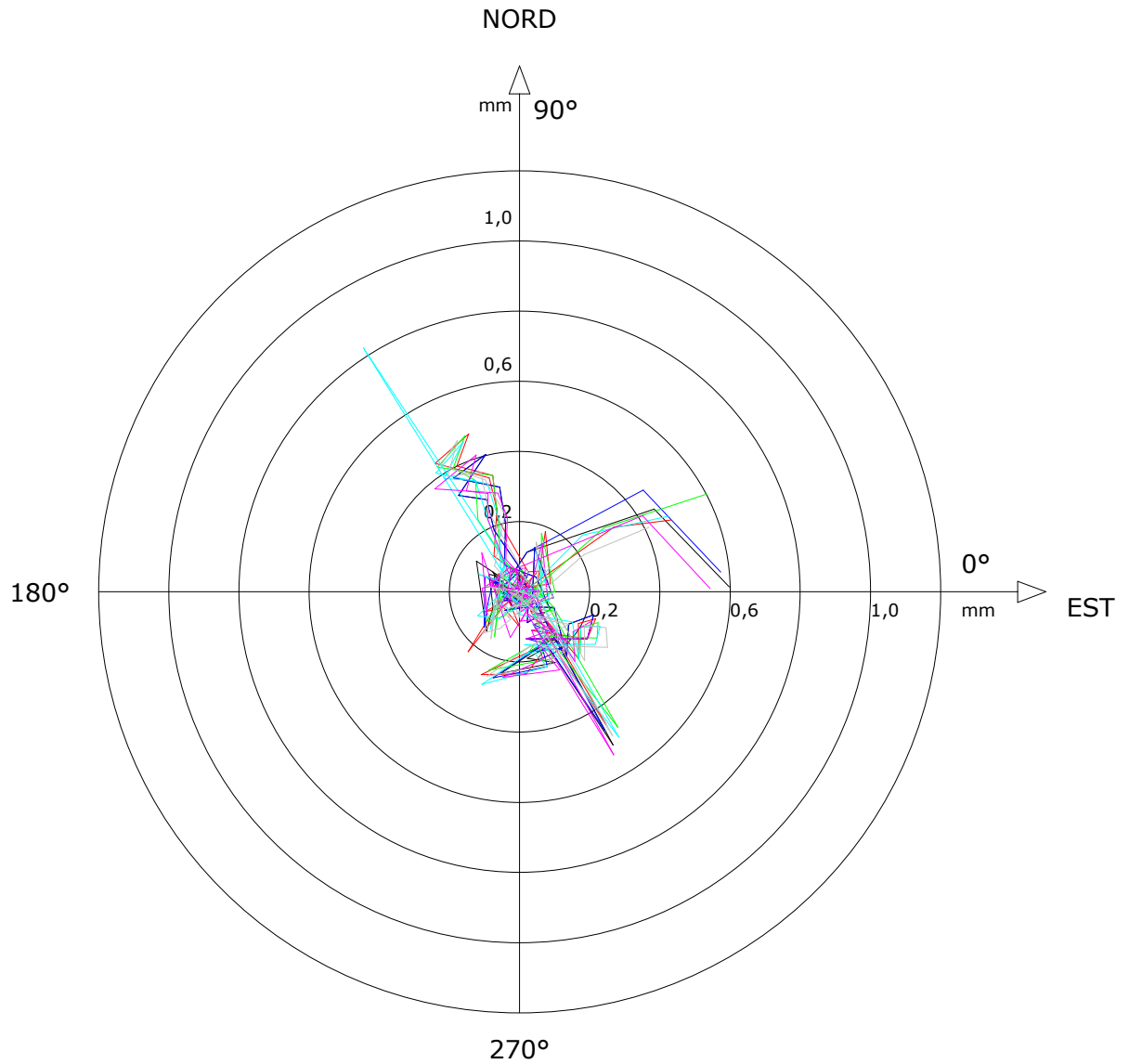
042:30/08/2019
045:20/09/2019

Sito: PMA-FS Tubo: SSI-SP06

Elaborazione differenziale locale dal basso

Riferimento 000:30/10/2017

Diagramma polare della deviazione



— 040:16/08/2019

— 041:23/08/2019

— 042:30/08/2019

— 043:06/09/2019

— 044:13/09/2019

— 045:20/09/2019

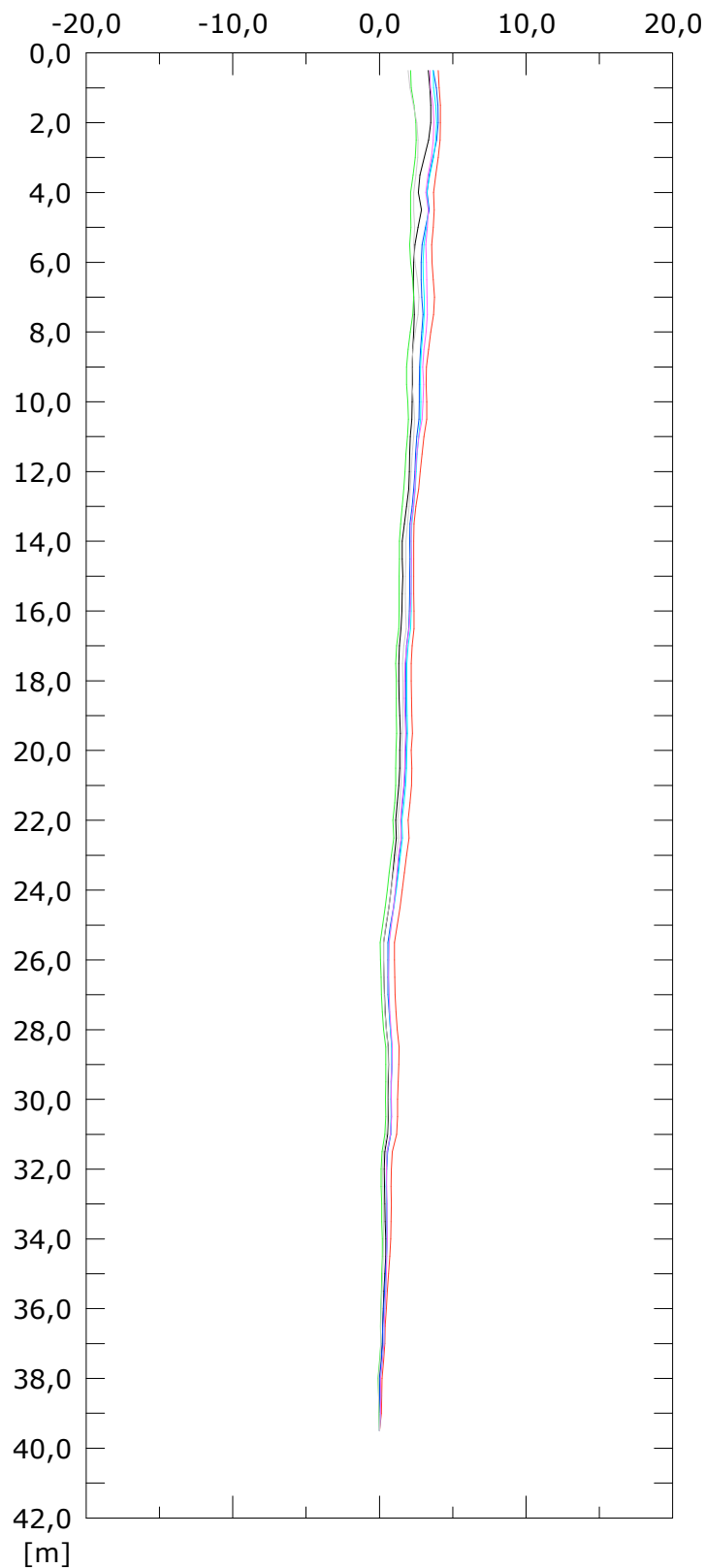
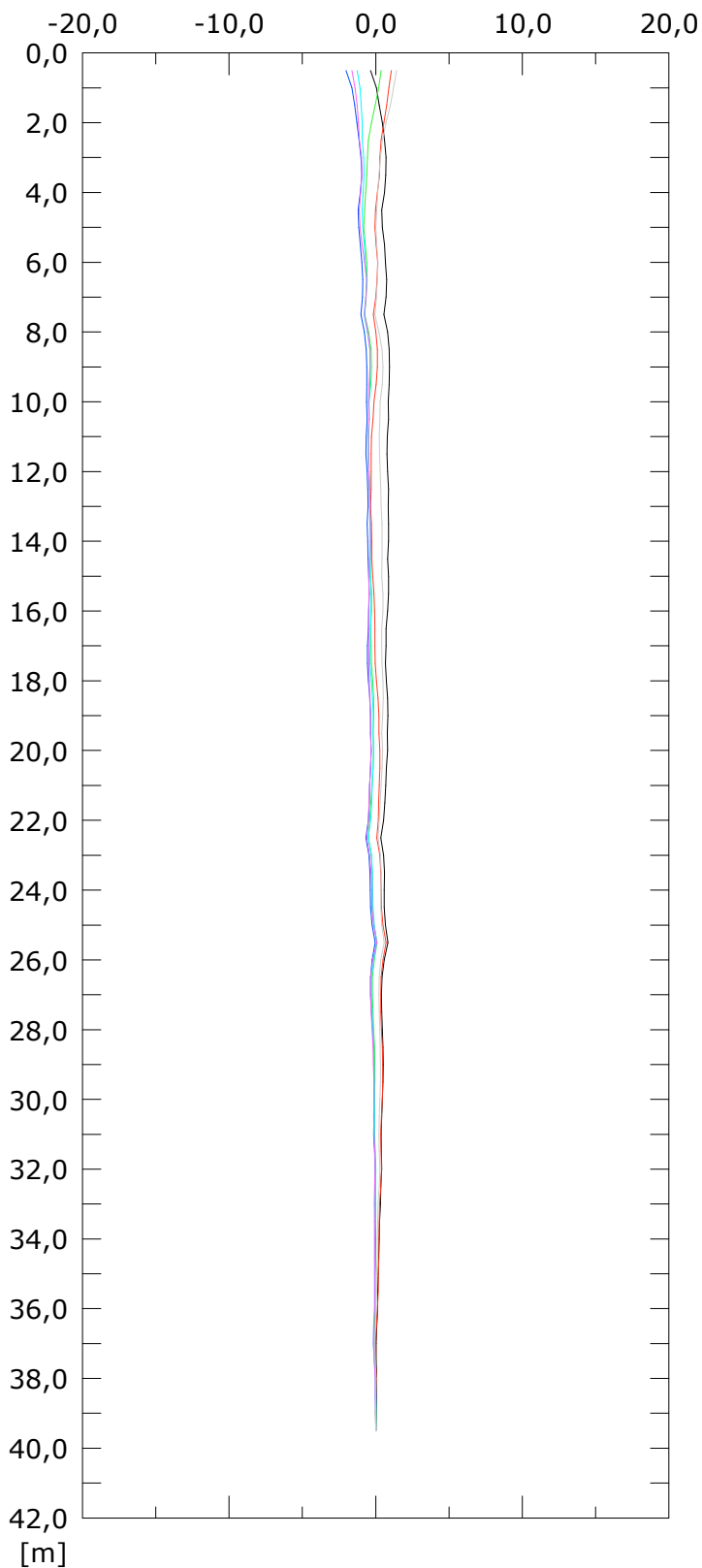
— 046:26/09/2019

Elaborazione differenziale integrale dal basso

Riferimento 000:30/10/2017

Spost. EST [mm]

Spost. NORD [mm]



040:16/08/2019

041:23/08/2019

042:30/08/2019

043:06/09/2019

044:13/09/2019

045:20/09/2019

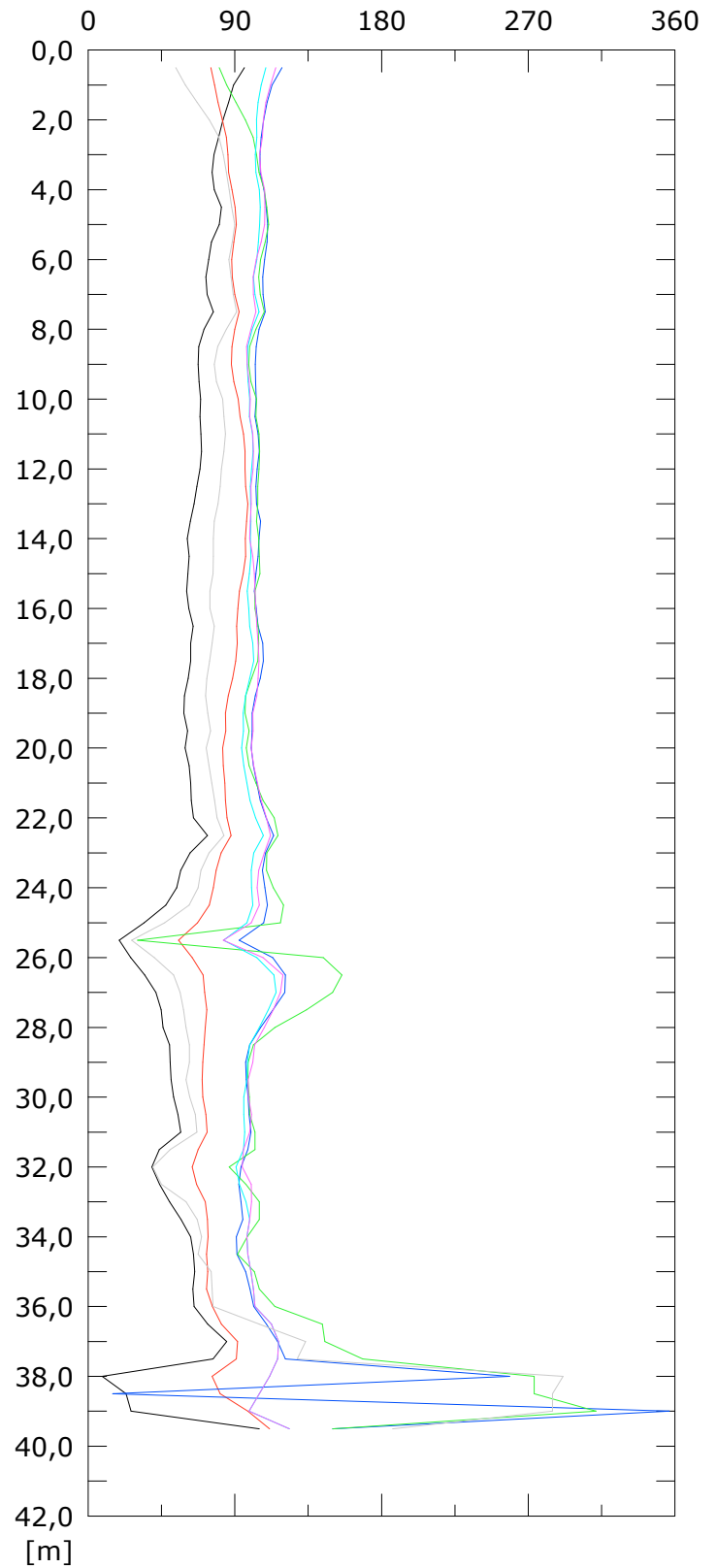
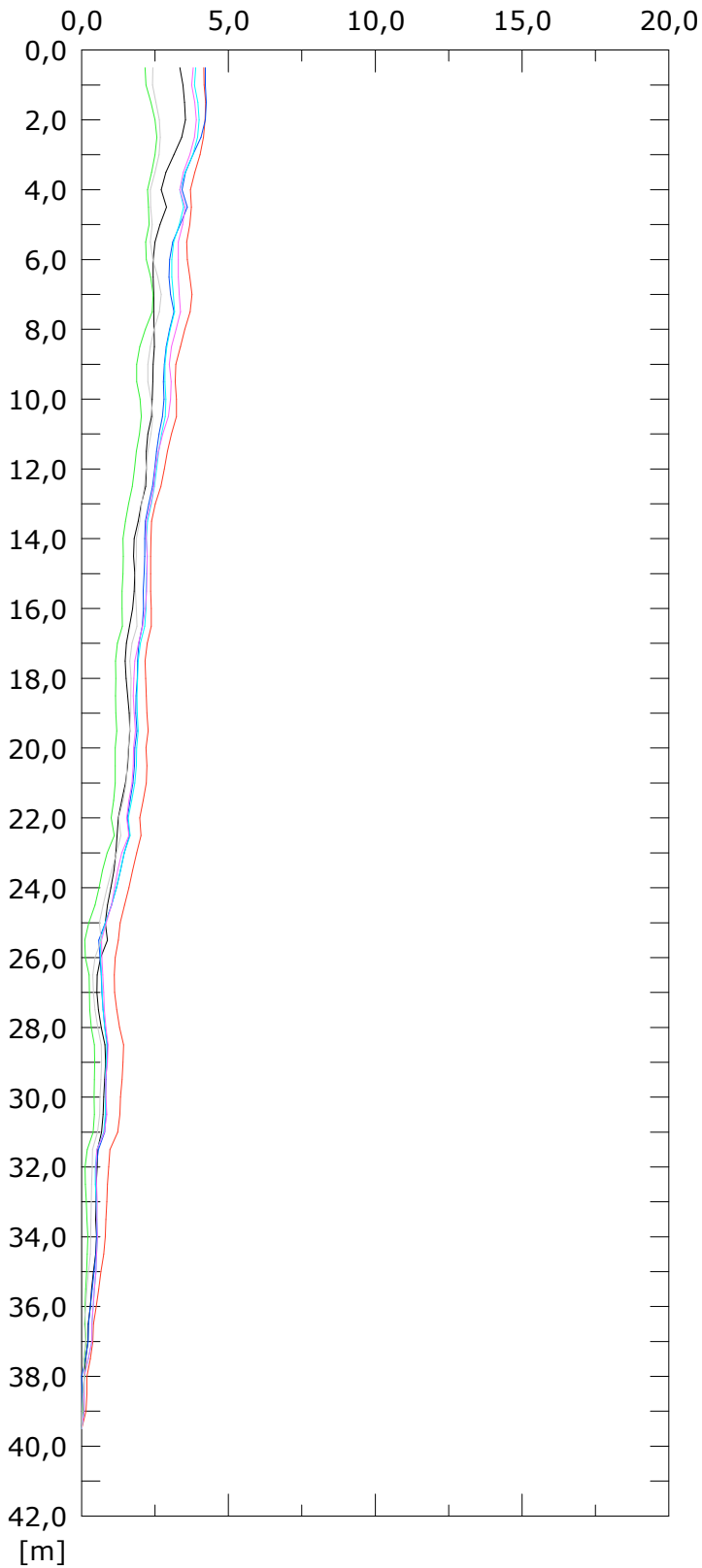
046:26/09/2019

Elaborazione differenziale integrale dal basso

Riferimento 000:30/10/2017

Risultante spost. [mm]

Angolo [gradi]



040:16/08/2019

041:23/08/2019

042:30/08/2019

043:06/09/2019

044:13/09/2019

045:20/09/2019

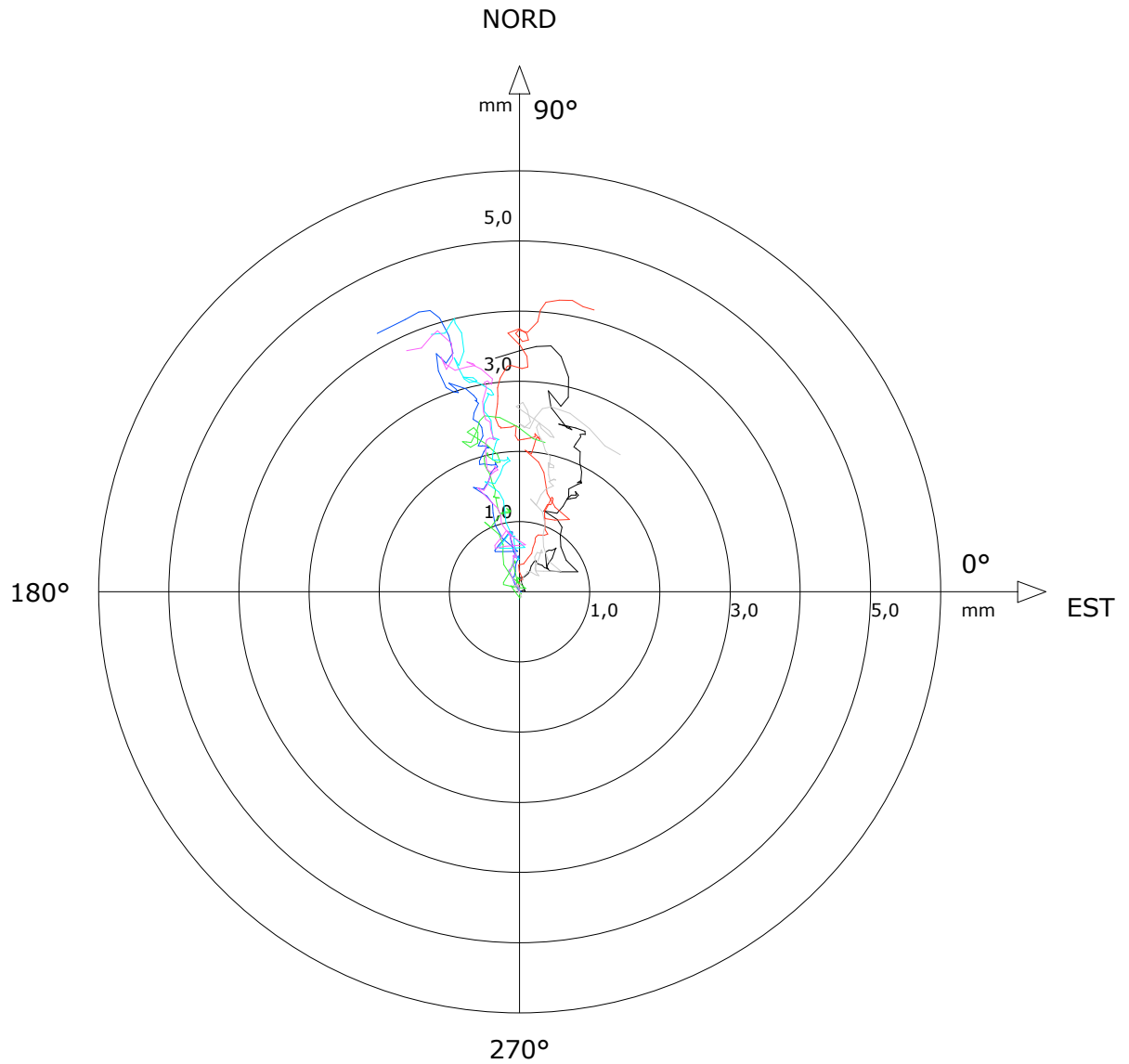
046:26/09/2019

Sito: PMA-FS Tubo: SSI-SP07

Elaborazione differenziale integrale dal basso

Riferimento 000:30/10/2017

Diagramma polare della deviazione



— 040:16/08/2019

— 041:23/08/2019

— 042:30/08/2019

— 043:06/09/2019

— 044:13/09/2019

— 045:20/09/2019

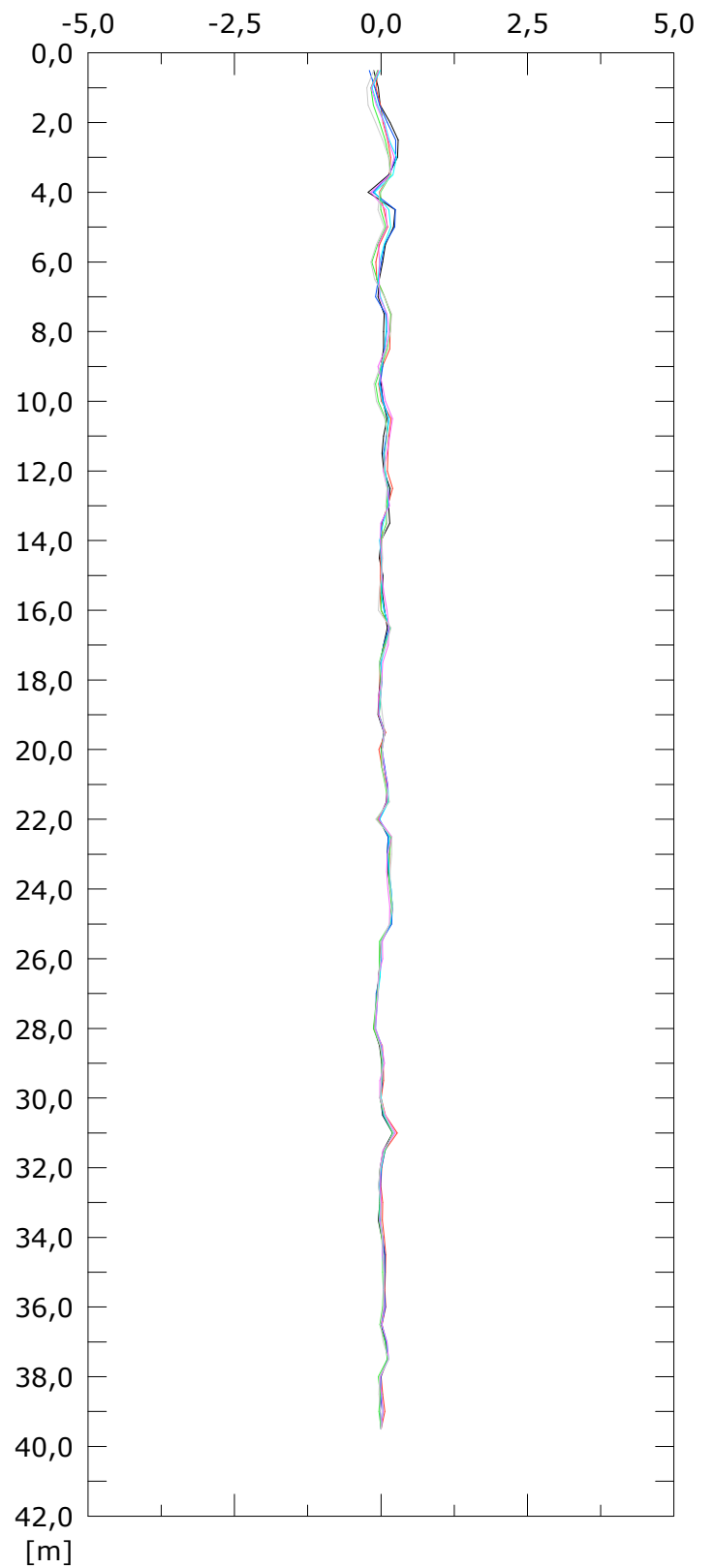
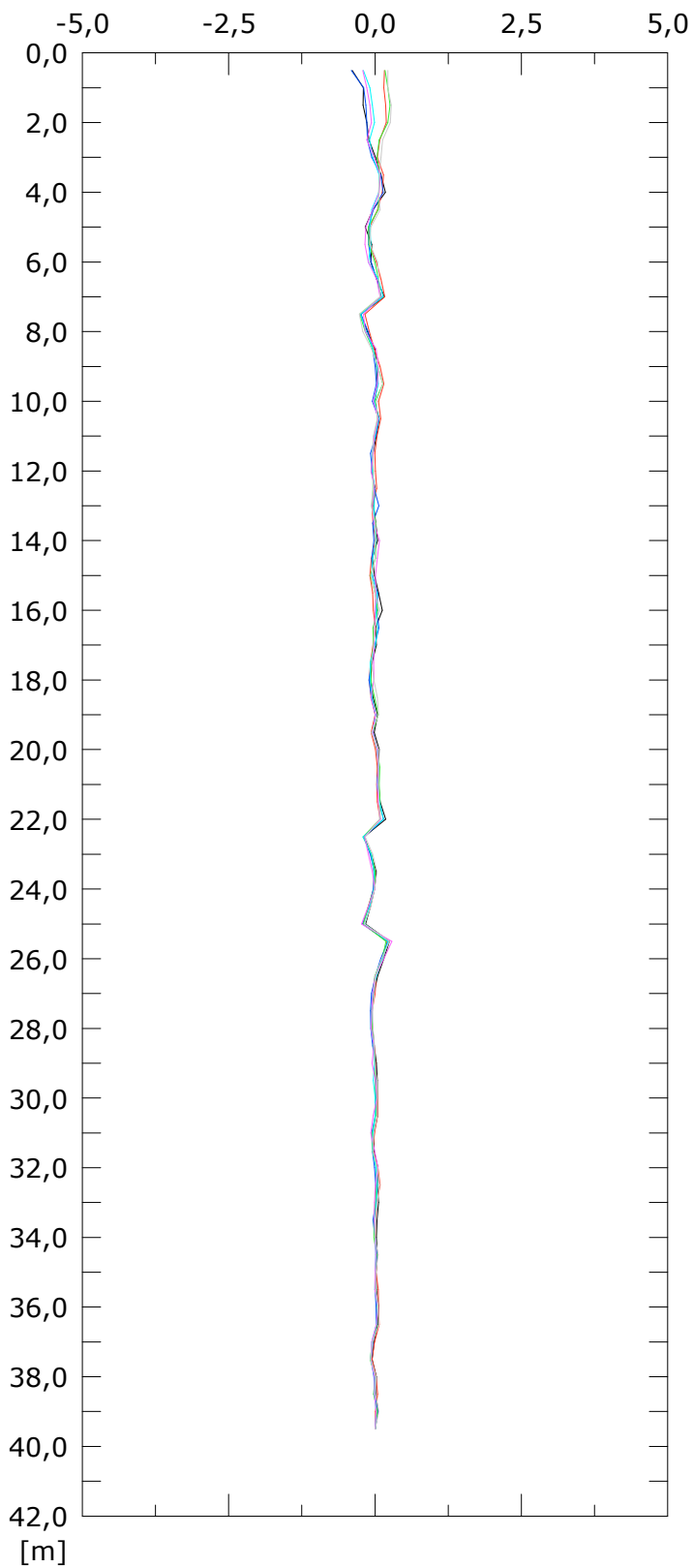
— 046:26/09/2019

Elaborazione differenziale locale dal basso

Riferimento 000:30/10/2017

Spost. EST [mm]

Spost. NORD [mm]



040:16/08/2019
043:06/09/2019
046:26/09/2019

041:23/08/2019
044:13/09/2019

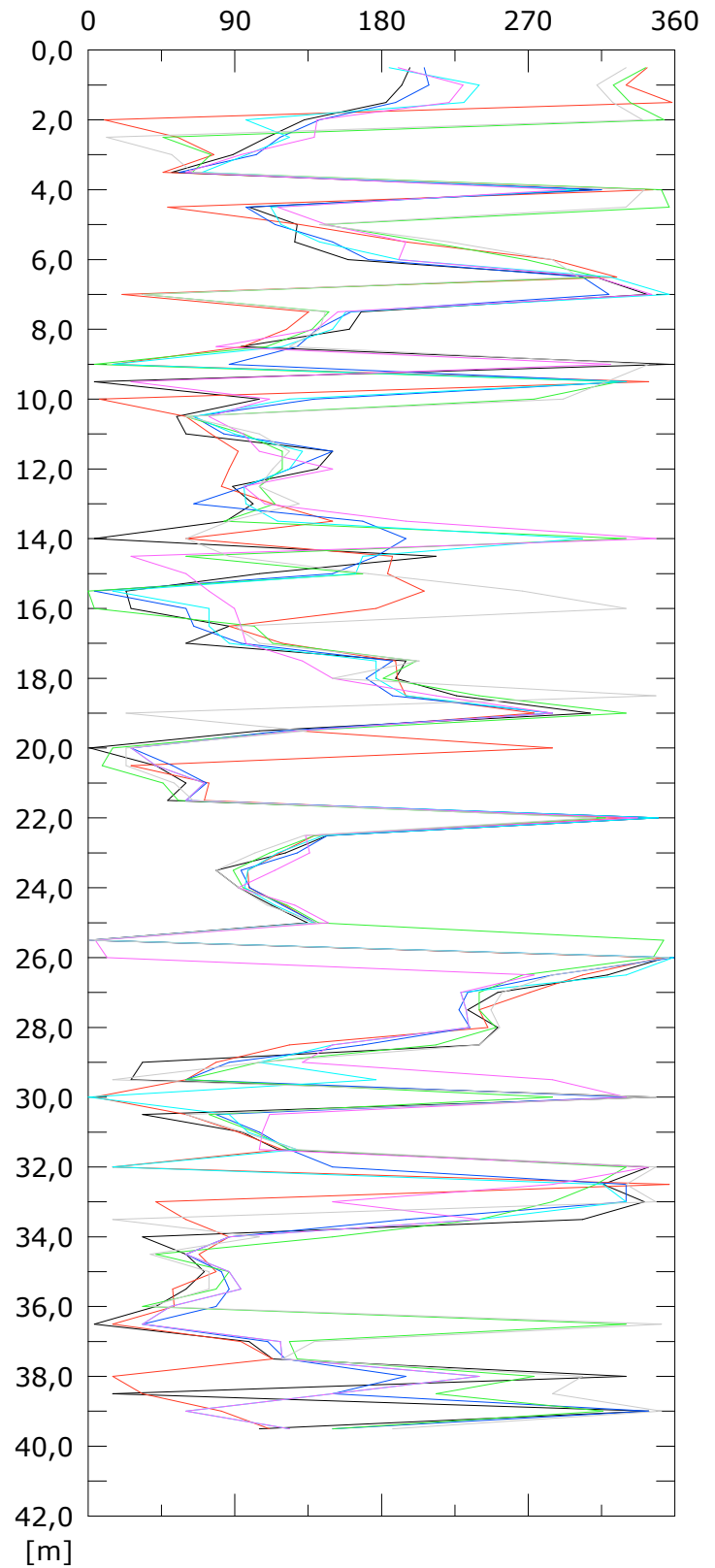
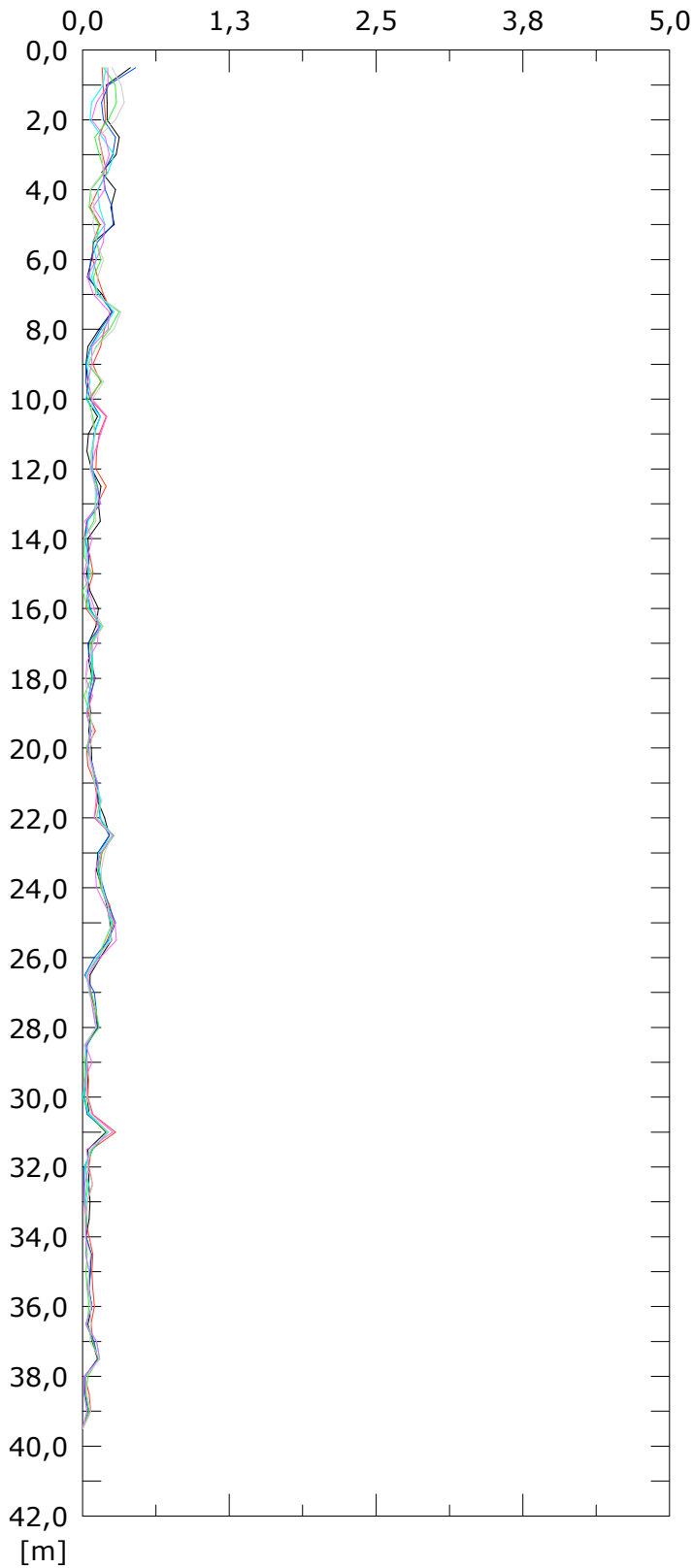
042:30/08/2019
045:20/09/2019

Elaborazione differenziale locale dal basso

Riferimento 000:30/10/2017

Risultante spost. [mm]

Angolo [gradi]



040:16/08/2019
043:06/09/2019
046:26/09/2019

041:23/08/2019
044:13/09/2019

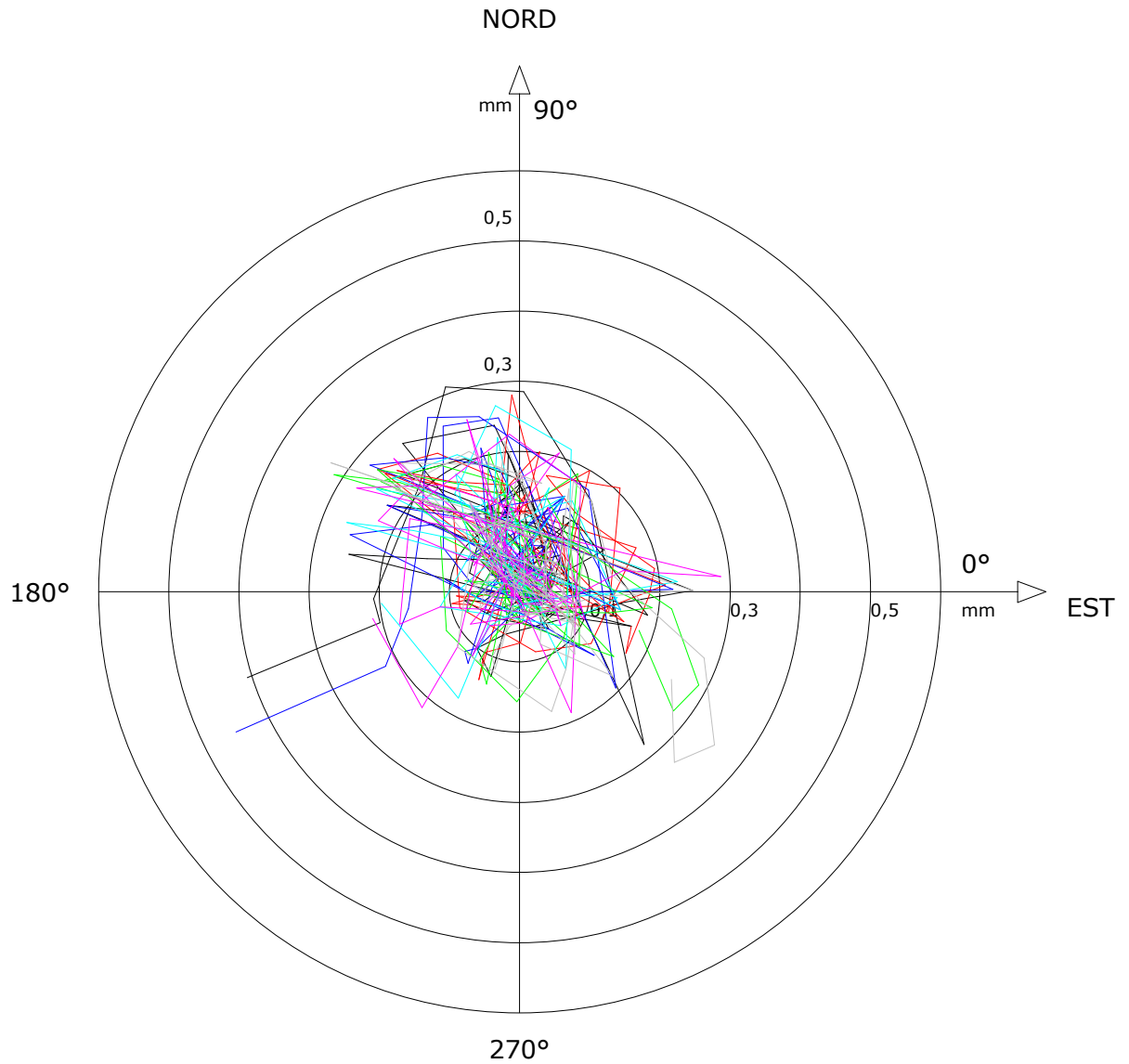
042:30/08/2019
045:20/09/2019

Sito: PMA-FS Tubo: SSI-SP07

Elaborazione differenziale locale dal basso

Riferimento 000:30/10/2017

Diagramma polare della deviazione



— 040:16/08/2019

— 041:23/08/2019

— 042:30/08/2019

— 043:06/09/2019

— 044:13/09/2019

— 045:20/09/2019

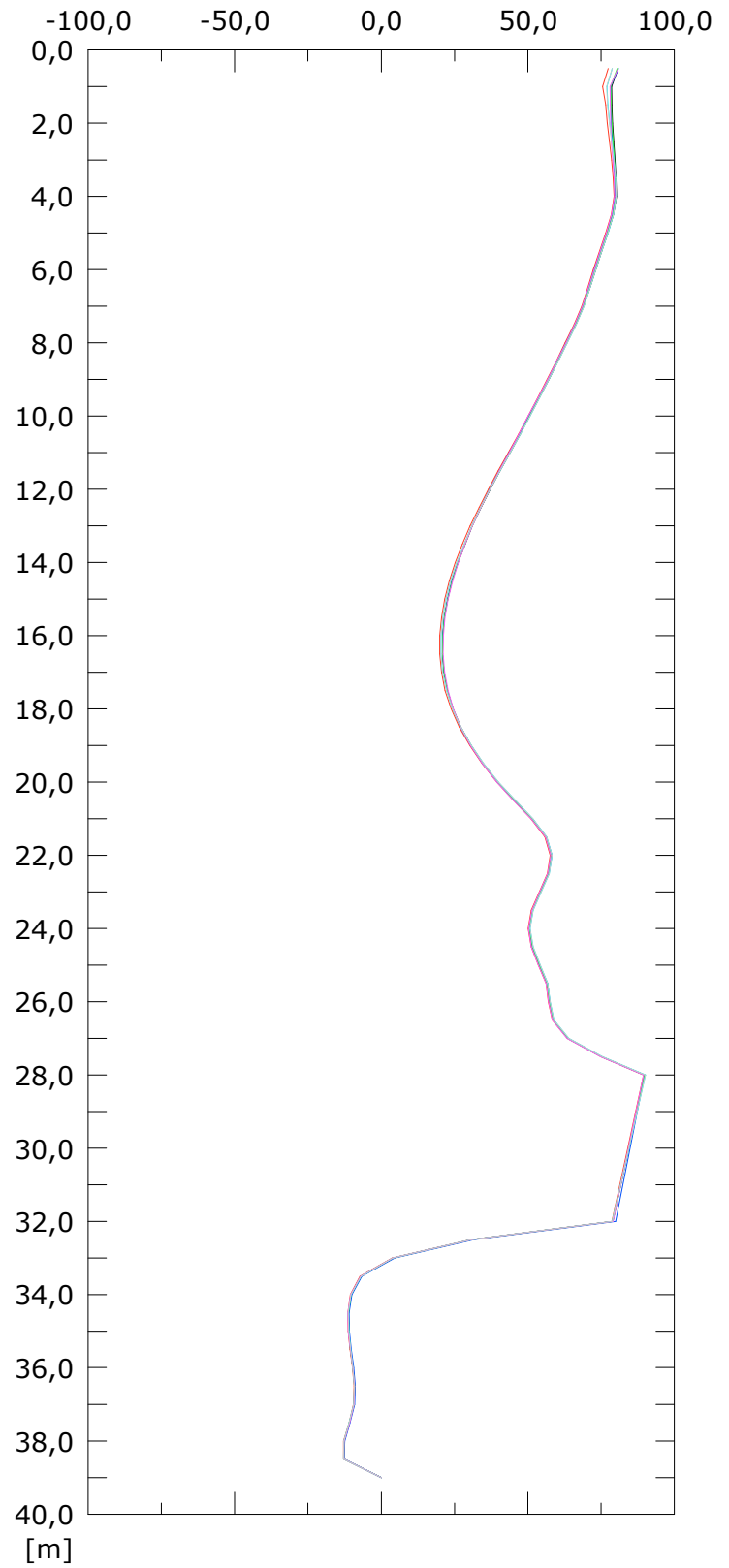
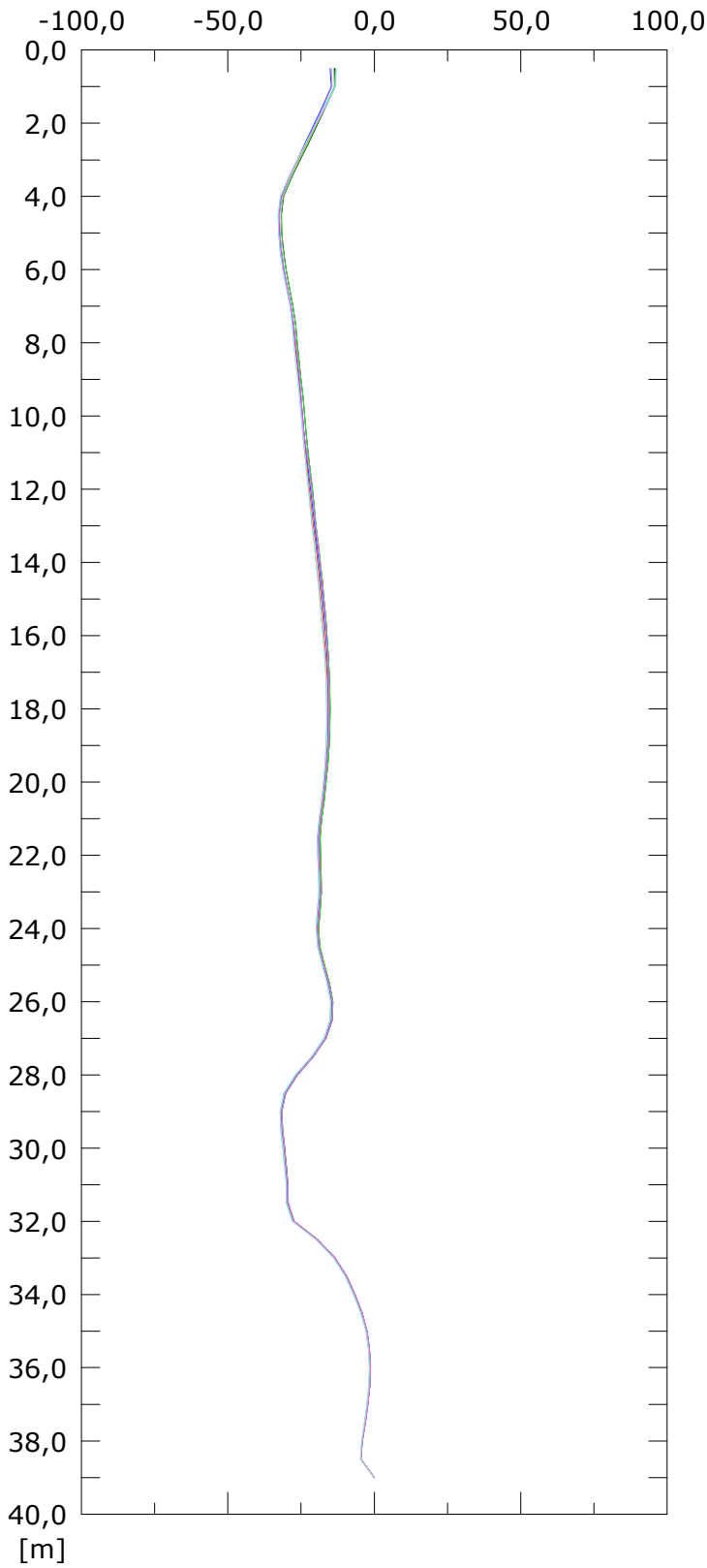
— 046:26/09/2019

Elaborazione differenziale integrale dal basso

Riferimento 000:30/10/2017

Spost. EST [mm]

Spost. NORD [mm]



115:16/08/2019
118:06/09/2019
121:26/09/2019

116:23/08/2019
119:13/09/2019

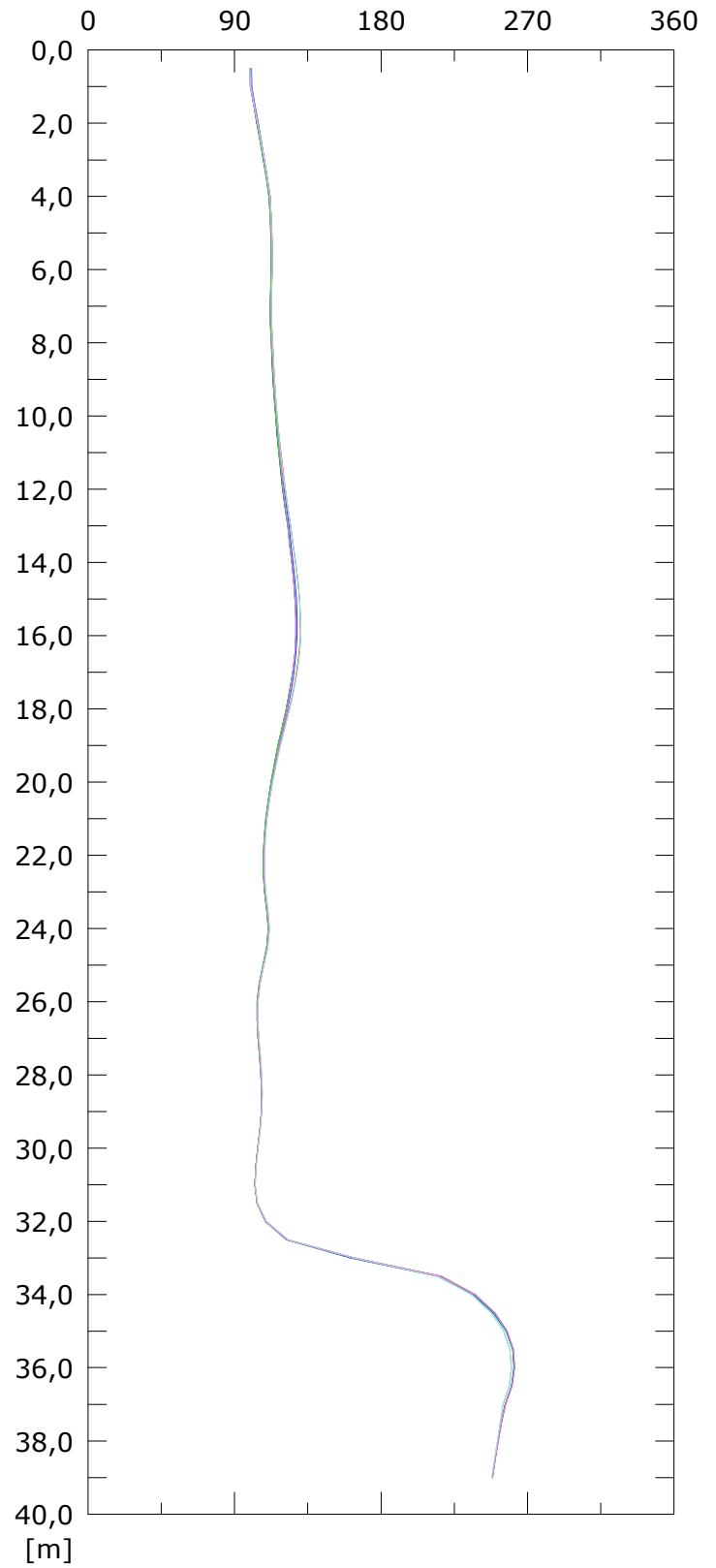
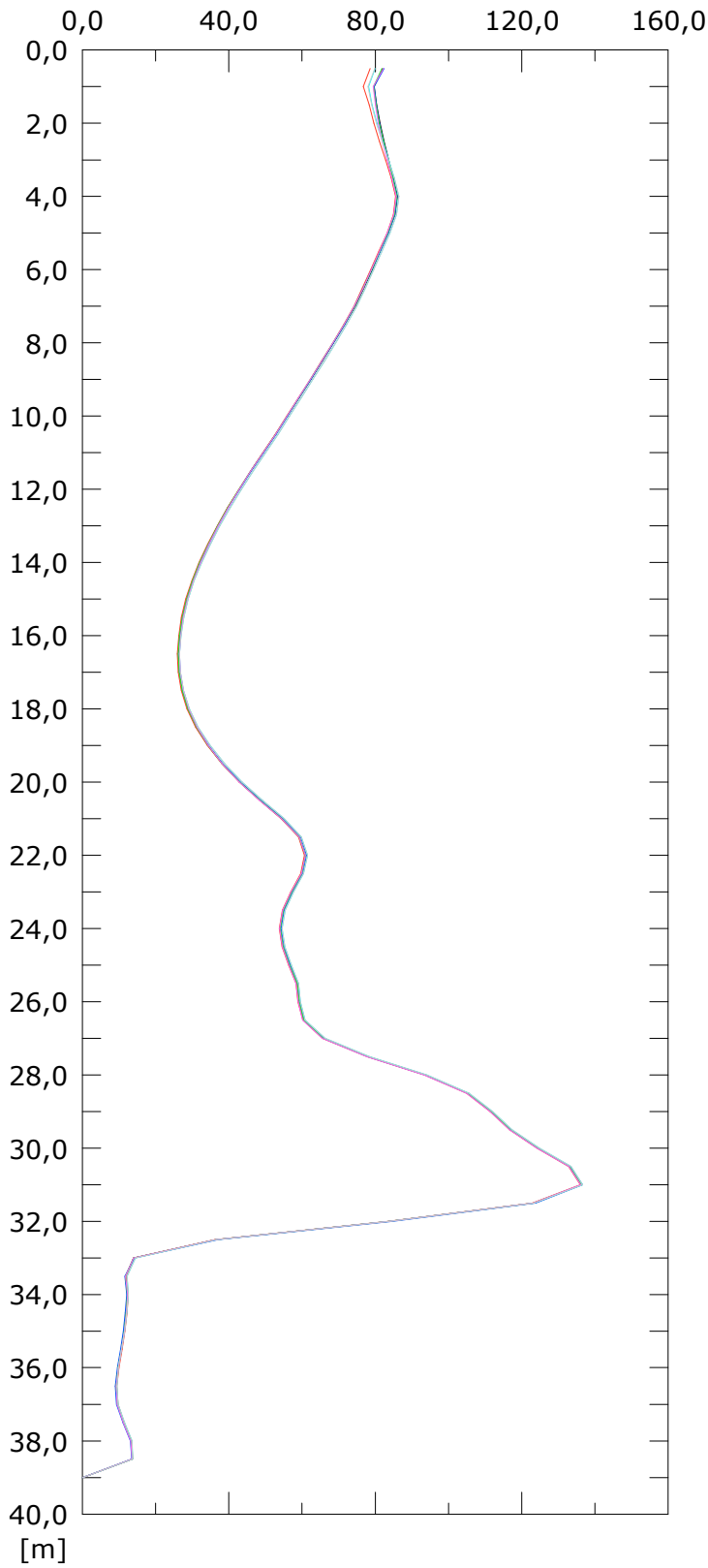
117:30/08/2019
120:20/09/2019

Elaborazione differenziale integrale dal basso

Riferimento 000:30/10/2017

Risultante spost. [mm]

Angolo [gradi]



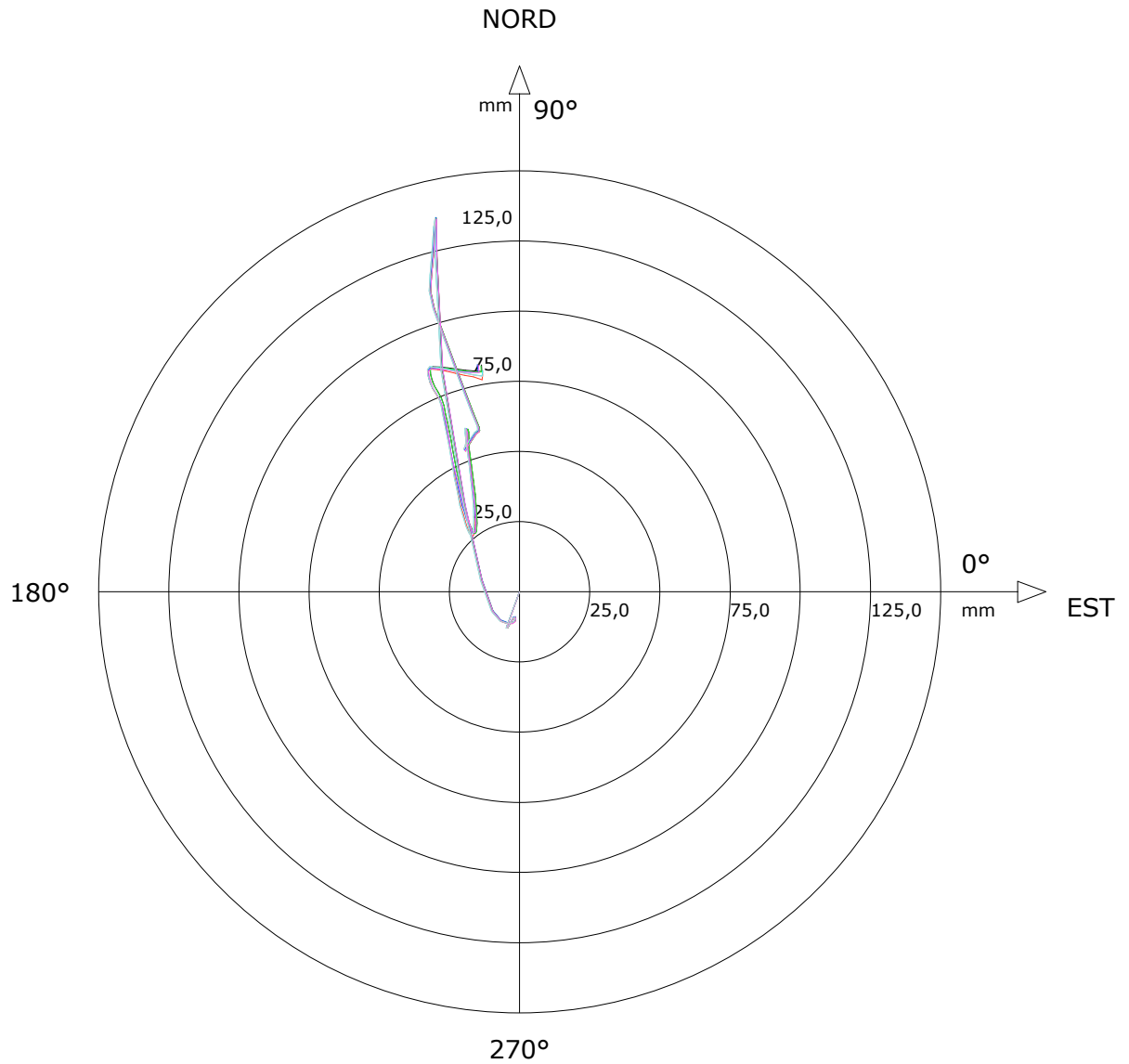
- 115:16/08/2019
- 116:23/08/2019
- 117:30/08/2019
- 118:06/09/2019
- 119:13/09/2019
- 120:20/09/2019
- 121:26/09/2019

Sito: PMA-FS Tubo: SSI-SP08

Elaborazione differenziale integrale dal basso

Riferimento 000:30/10/2017

Diagramma polare della deviazione



— 115:16/08/2019

— 116:23/08/2019

— 117:30/08/2019

— 118:06/09/2019

— 119:13/09/2019

— 120:20/09/2019

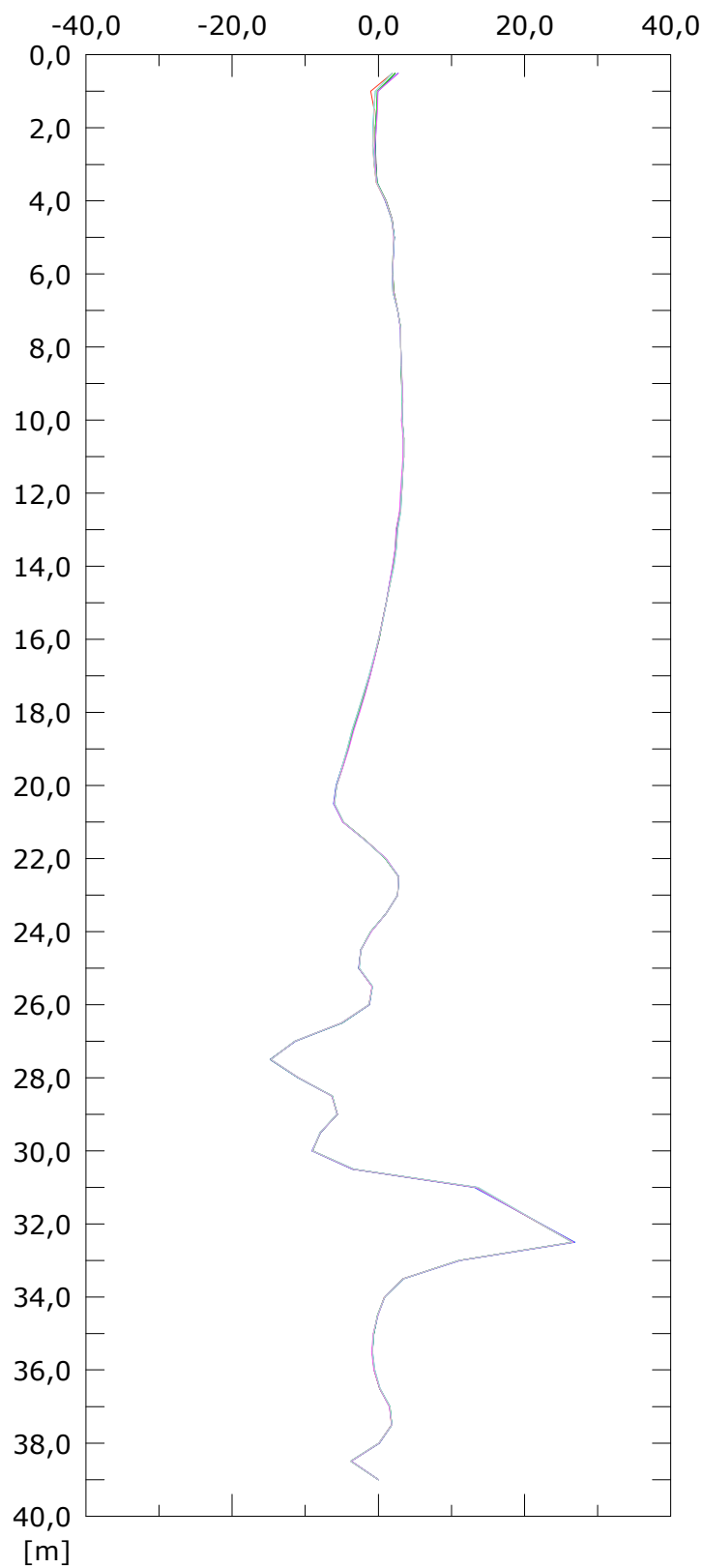
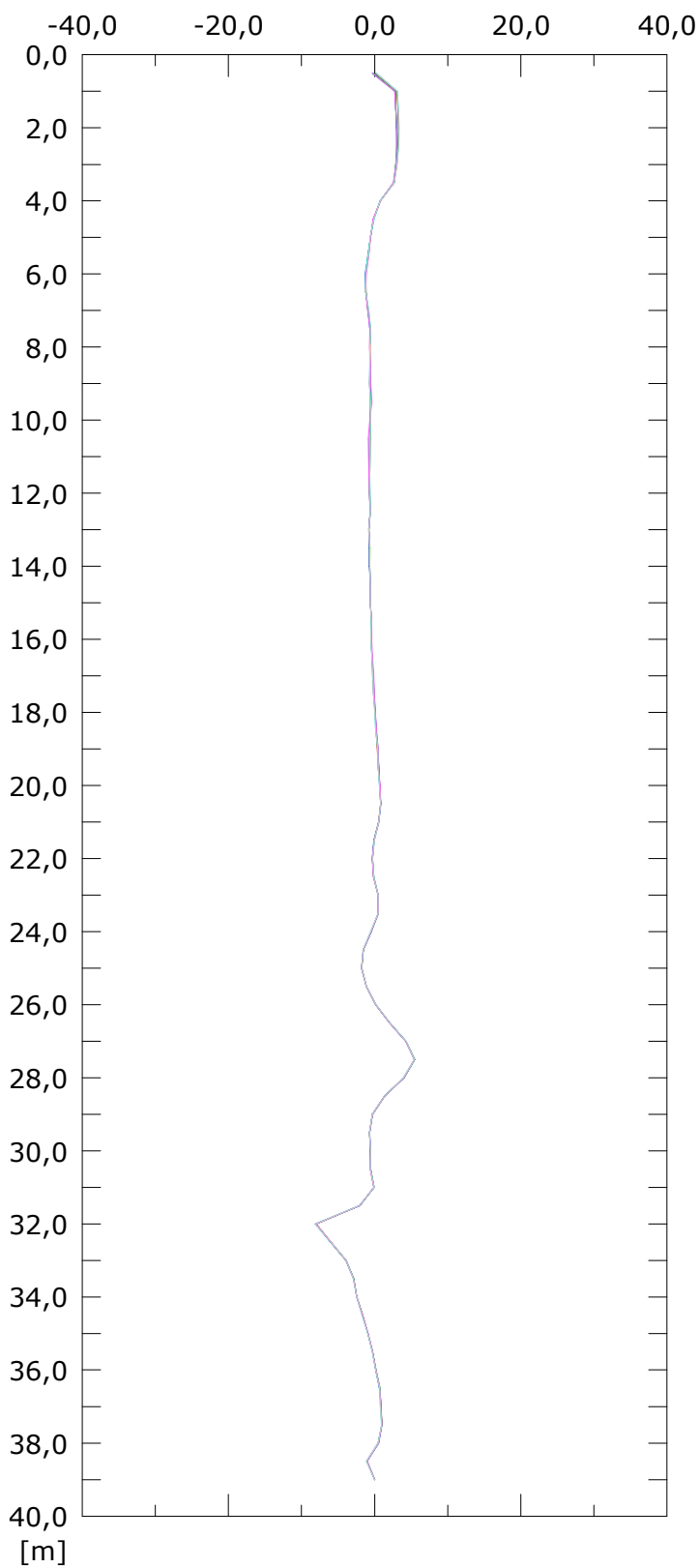
— 121:26/09/2019

Elaborazione differenziale locale dal basso

Riferimento 000:30/10/2017

Spost. EST [mm]

Spost. NORD [mm]



115:16/08/2019

116:23/08/2019

117:30/08/2019

118:06/09/2019

119:13/09/2019

120:20/09/2019

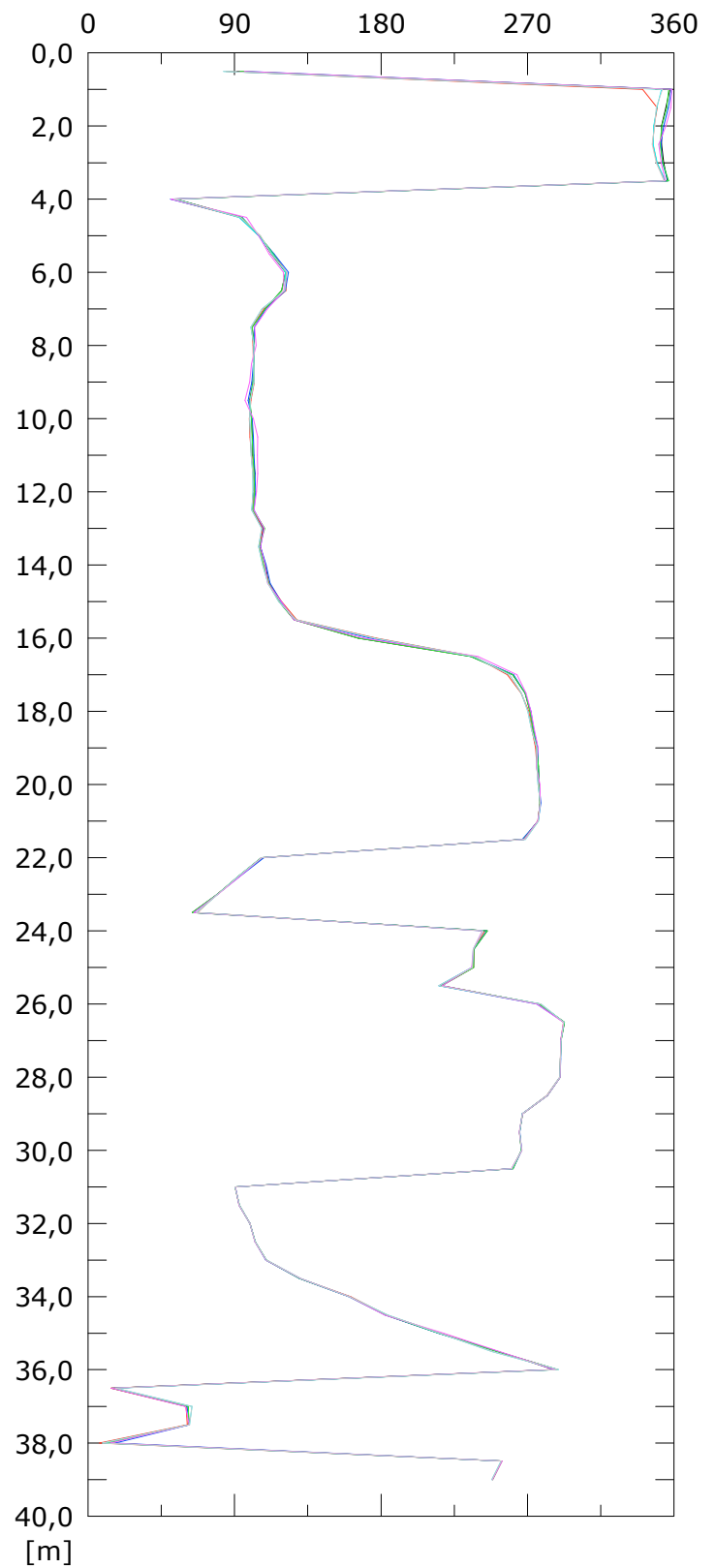
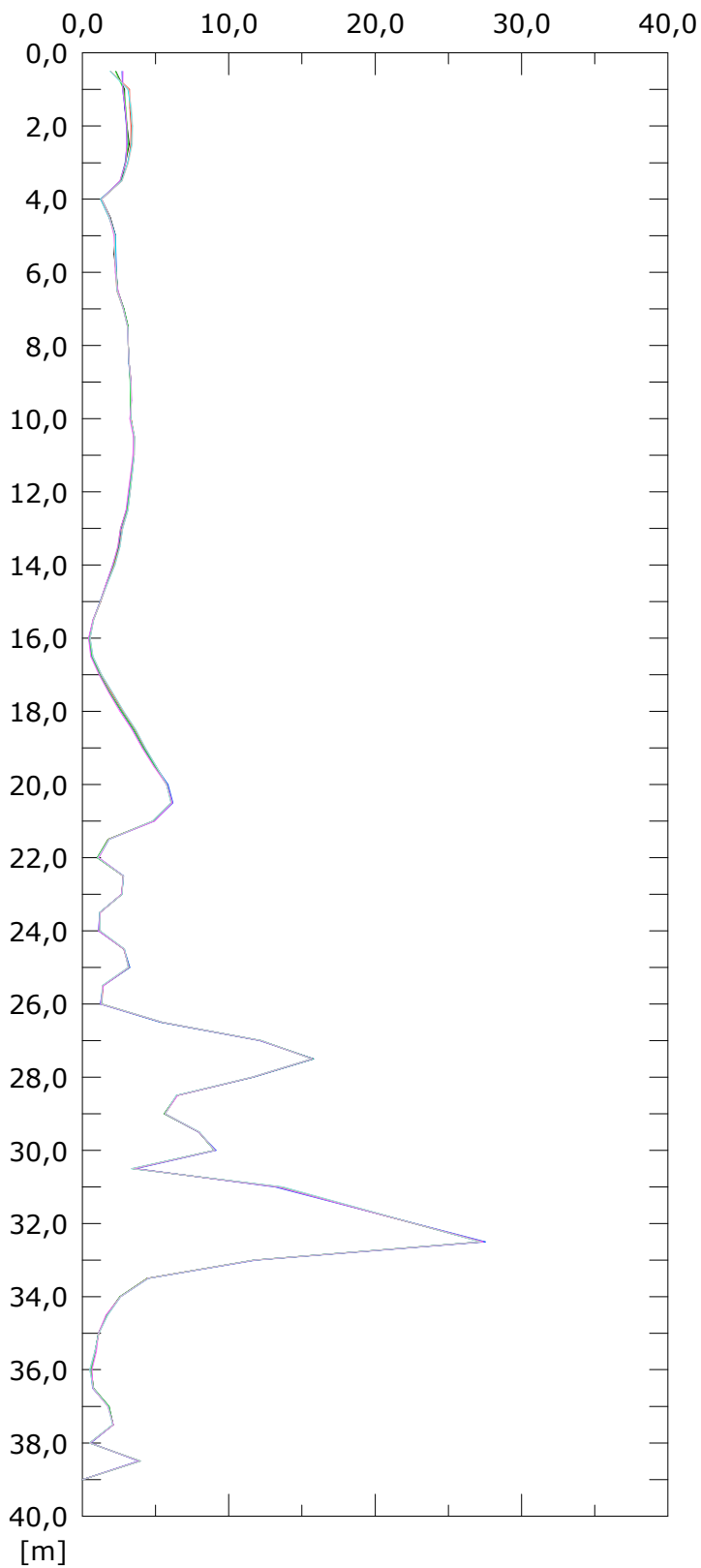
121:26/09/2019

Elaborazione differenziale locale dal basso

Riferimento 000:30/10/2017

Risultante spost. [mm]

Angolo [gradi]



115:16/08/2019

116:23/08/2019

117:30/08/2019

118:06/09/2019

119:13/09/2019

120:20/09/2019

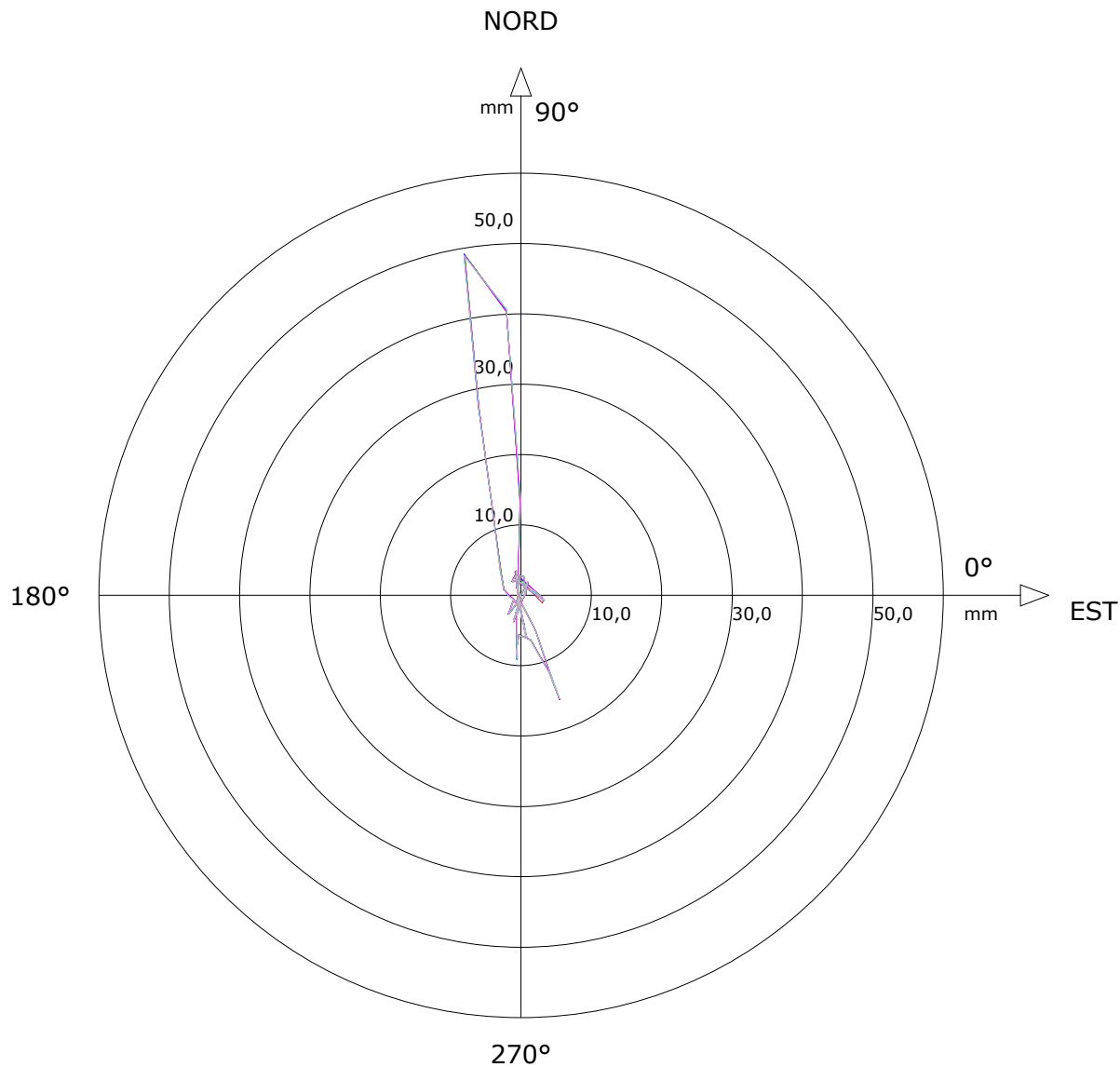
121:26/09/2019

Sito: PMA-FS Tubo: SSI-SP08

Elaborazione differenziale locale dal basso

Riferimento 000:30/10/2017

Diagramma polare della deviazione



— 115:16/08/2019

— 116:23/08/2019

— 117:30/08/2019

— 118:06/09/2019

— 119:13/09/2019

— 120:20/09/2019

— 121:26/09/2019